## 電磁気学討論資料集

1986

日本物理教育学会

## 物理教育資料集の発刊によせて

#### 日本物理教育学会会長

大塚明郎

われわれの日本物理教育学会が物理教育にたずさわるものの研究交流の場として発足してから30余年になる。その間に会員の数もふえたが質も大きく変わった。一口に言ってすばらしく向上した。すべての事は人に依るというように人が変わってそれにつれて学会の活動も変わるが、その間にフェーズラッグがあるのは仕方がない。その遅れを小さくするために「あり方委員会」(委員長 大塚誠造)がつくられはしたが、抽象的に望ましいあり方を考えるにしても、その前に望ましい学会活動が具体的に提案されて、それが推進されるような「あり方」こそが望ましいであろう。

その提案の一つが今回出版されることになった電磁気学通信討論資料集である。ここには特徴が二つあると思う。一つは初めの問題提起がよい(五十嵐)二つは debateの面白さがある。ただし、debateの面白さと物理学の理解にconsistencyが あるのとは別のことである。後者は物理教育としては満たすべき条件だから読者の判断・評価に委ねたいところで筆者は立ち入らないがよいと思う。いいたいことは debateでは論理の展開の仕方が重要で、感情的発言ととられると却ってマイナスに なりうるということである。

序に、といって軽いというつもりはないが、学会は会員の会だから、会の活動に対してはいつも会員のタメになるという評価尺度があると抽象的に言うことは易しいが、実際には難しい尺度である。会員にはいろんな人がいるのでだれにでもタメになるという活動は少ないだろう。会員を大分けすると、理論型と実験型とか、等教育向けとか中等教育向けとかも考えられる。もっと現実的に、現在の教育の政善の範囲内だけを考える人もあろうが、凡そ物理教育とはと理想追及を考える改善あろう。だいたい当てもはっきりしない「タメになる」などいう尺度なんもあろう。だいたい当てもはっきりしない「タメになる」など成果が出たまするにせよ研究者はけっきょう動機こそが重要で「タメになる」など成果が出た後の自己評価の気安めに考えるだけであるともいう。

しかし研究者(とくにその発表者)よりも研究成果利用者の方がはるかに多いのは学会共通の事実であって、その比はおそらく 1/10~1/5 ぐらいだろう。それにしても年会に参加する人はこれまた 1/10~1/5 だろうから、「タメになる人」または「する人」は研究成果利用者の中でも印刷物による人が断然多いと断定してよいだろう。通信討論資料集のレイゾンデートル依って件の如し、しかもこれには研究動機まで書いてあるというおまけまであるのがある。もっともこうした資料集を無料配布できるかどうかは全々別問題であることを付記しなければならない。

## 電磁気学討論資料集発刊の経緯

最近日本物理教育学会誌に電磁気学特にローレンツ力に関連した現象の指導についての新らしい提案、また誤りの指摘があったのに対して支持する立場、批判する立場からの投稿が相つぎました。そのまま会誌上で討論をつづけていると何年かかれば収束するかわからない状態になりましたので、会誌33巻1号72ページ(1985)に公告しましたように編集委員会では電磁気に関し投稿されている論文をすべて保留扱いとし、投稿された方その他数名の参加者との間で通信討論を続けてまいりました。

当初保留扱いとなったのは染谷太郎、勝木渥、三門正吾、平山修各氏の論文で、 最初の通信では、三門、染谷両氏の補足コメントとともに上記4氏の論文が送付されました。

その後交換された論文は以下のとおりであります。

第1回締め切り分

染谷太郎 : 相互誘導起電力の起源を読んで 三門正吾 : 通信による電磁気討論(1)

柴田普平 :コの字形のレール上を動く導体棒の問題に関して

田中初次郎:電磁誘導の実験装置と物理的考察

第2回締め切り分

三門正吾 :電磁場の相互作用(染谷先生の批判に答える) 染谷太郎 :通信による電磁気討論(1)(三門)を読んで

中山正敏 :電磁誘導とローレンツカの関係について

五十嵐靖則:通信による電磁気討論(1)

勝木 渥 :染谷氏の「平行二直線電流間力の検討」に対する見解

第3回締め切り分

五十嵐靖則:通信による電磁気討論(2)

柴田普平 : ローレンツ力による電磁気誘導現象の説明について

三門正吾 :通信による電磁気討論(3)

金城啓一 : 導体を動かした場合の電磁誘導現象について

染谷太郎 :批判に対する反論

霜田光一 :電磁誘導とローレンツカの討論

個々の往復文書は原則として公表しないとの了解の下に始めた通信討論ではありますが、その間交わされた膨大な文書に比べ会誌の特集ではページ数の制限等のため、一般会員に伝えられる情報は極めて制限されることになります。本小委員会ではこの論争で参加者諸氏が真剣に議論した詳しい内容を、なんとかお伝えし今後会員諸氏による評価や議論のより一層の発展に役立てたいと、本資料集を出版することにいたしました。

本資料集に原稿をお寄せくださった先生方、ならびに巻末に掲載した電磁気論文内容別一覧をまとめてくださいました柏木理事にお礼を申し上げます。

電磁気学通信討論小委員会

## 目次

1. 電磁誘導とローレンツ力の討論	霜田光一1
2. ローレンツ力による電磁誘導起電圧の発生機構の説明	五十嵐靖則4
3. 導体を動かした場合の電磁誘導について	金城啓一 13
4. 電磁誘導とローレンツ力について	中山正敏 19
5. ローレンツ力起源の起電力の説明について	柴田普平 29
6.「物理教育」が問題なのだ	勝木 渥46
7. 電磁気学通信討論の要約	染谷太郎 49
8. 平行二直線電流間に働く力について	三門正吾 54
9. 相互誘導起電力の起源についての補足	平山 修58
10.変動する電磁場の相互作用	三門正吾 68
付 錄	

- 1. 「物理教育」電磁気論文内容別一覧
- 2. 「物理教育」電磁気論文一覧

## 電磁誘導とローレンツカの討論

慶応義塾大学 理工学部

霜田光一

教育の現場では、同じ単位のボルトで計られる電圧と電位差と起 電力との相違をことさらにとり上げないで済ますこともある。 し かし電磁気学討論となると、電場、電位、電磁誘導電場などの用語 それぞれのの概念を明確にしておく必要がある。 今回の通信討論 で、その一部が明らかになりつつあるが、この際、これらのまぎら わしい用語と電磁誘導現象の理解に関して筆者の見解を述べる。

物理の教科書や多くの電磁気学の本で、電場と起電力の取扱いに誤りがあったり、不正確で 不十分な記述であったりしている. 筆者は1974年本学会誌で「雷磁誘導の説明の混乱や 誤解について」述べた. しかし,電磁誘導をどのように教えたらよいか,教科書の説明をど う書いたらよいか,などは残された問題である. 今回の通信討論に関連して,筆者の見解を 簡単に述べてみたい.

混乱や論争の多くは、電場(電界)、静電場、誘導電場、放射場、および起電力の定義、解 釈、理解などの不一致や不用意な用法にあって、それに伴う誤解や論点の相違が論争を拡大し たと思う. これまでのたいていの物理教育では、静電気学で電場すなわち静電場を導入し、 後から電磁誘導を扱うが、そのとき電場の概念をどう変えるのか、どう拡張するのか、あいま いなままにしている。 典型的な誤りは

- a) 電場は必ず電位の勾配で表わされる. すなわち.電場が存在すれば電位差がある.
- 電磁誘導は  $V = -d\Phi/dt$  (1) で表わされる. b)
- 電磁誘導は  $\vec{E}_{ind} = \vec{\nabla} \times \vec{B}$  (2) で表わされる. c)
- 電磁誘導は rot  $\vec{E} = -\partial \vec{B} / \partial t$  (3) で書ける. d)
- e) 導体(抵抗体)の内部に静電場はない.

などであって、いずれもある条件の下では正しいが、一般には正しくないものである。 そ の他、問題になるのは

f) 導体内の電子にローレンツ力がはたらくのは、電場の存在と周等である.

という表現であって、誤解を誘発し易い. 静電気現象で電荷Qにはたらく力を下とすると 雷壩は F=F/Q であるとすることには問題はない. 電磁誘導を考えるときに,これ を保存するのか、修正するのか、限定するのかを明らかにしないのが問題である。

これらに対する筆者の回答はほとんど文献1)の結論に含まれているので、下にそのコピ ーをのせるが、この中で、式(1~3)は上記と同じ番号を指す、

起電力のベクトル、すなわち単位電荷にはたらく力子 K (2) が得られる. は、電磁気学の教科書にあるように

$$\vec{F} = \vec{E}_s + \vec{v} \times \vec{B} - \frac{\partial \vec{A}}{\partial t} \tag{9}$$

テンシャルである。 静電場に対してはいつでも  $rot \overrightarrow{E}_{s}=0$  ことはできない。 すなわち、この項は であるから、閉回路の起電力に E. は現われない.

1) もしも回路(積分路)をつくっている物体が動か ないときには

$$V = -\oint \frac{\partial \vec{A}}{\partial t} \cdot d\vec{l} = -\frac{d}{dt} \iint_{C} \vec{B} \cdot d\vec{S}$$
$$= -\frac{d\phi}{dt} \qquad (10)$$

となり、(1) が得られる\*.

2) もしも建束が時間的に変化しないならば、 起電 力は式(9)の第2項で与えられるから、 これから直ち

と表わされる。ただし、 $\vec{E}$ 、は静電場、 $\vec{A}$  はベクトルポ (10) のように 空間積分と時間数分の順序 を入れかえる

$$-\int \frac{\partial \vec{A}}{\partial t} \cdot d\vec{l} = -\int \int \frac{\partial \vec{B}}{\partial t} \cdot d\vec{S}$$
 (11)

としなければならない。これは式 (3) に等しい。 $\overrightarrow{v} \times \overrightarrow{B}$ による誘導電圧はこの場合も式(2)で与えられる。 し たがって、 正しい電磁気学の法則 (9) に相当する結果 を与えるためには、電磁誘導電圧として(2)と(3)の 和をとらなければならない.

回路をつくっている物体が導体の場合だけでなく、 絶縁体

次に、今回の論争に関連して補足説明しよう. 電磁誘導についての誤解を避けるため、 適切な用語の定義と用法を以下のようにしたいと思う、

- 1. 静電場は静電ポテンシャル $\phi_{S}$ をもち、  $\vec{E}_{S} = -grad\phi_{S}$  で表わされる.
- 2. 電流や磁場の時間変化があるとき、速度√をもつ電荷Qにはたらく力(ローレンツカ)

$$\vec{F} = Q \cdot (\vec{E} \cdot s + \vec{V} \times \vec{B} - \vec{A} \cdot / \vec{a} t)$$
 (4)

3. 電流や磁場の時間変化があるとき、時間変化する電場は

$$\vec{E} = \vec{E}_{S} - \partial \vec{A} / \partial t$$
 (5)

4. 回路の誘導起電力は

$$V_{\alpha} = \oint (\vec{v} \times \vec{B} - \vec{A} / \vec{o} t) \cdot \vec{ds}$$
 (6)

とするのがよい. すなわち

電場官にはジ×Bが含まれていないが、誘導起電力Vaには含まれる.

したがって、 $-\partial \vec{A} / \partial \vec{t}$ を誘導電場と呼んでもよいが、 $\vec{V} \times \vec{B} - \partial \vec{A} / \partial t$ は電場でないから、これを誘導電場と呼ばない方がよい、ただし、誘導起電力が誘導電場だけによるものでないことに注意しなければならない。

なお、時間変化が遅い場合に $\vec{E}_S$  は静電ポテンシャル $\phi_S$  で表わされる. ベクトルポテンシャル $\vec{A}$  とスカラーポテンシャル $\phi$ には、ゲージ変換による任意性がある.  $\vec{A}$  とゆをゲージ変換して別の $\vec{A}$  とめに変えても

$$\vec{E} = -\operatorname{grad}\phi - \partial \vec{A} / \partial t \tag{7}$$

は変わらないが、 $\vec{E}_S=-grad \phi$ は変わる。 とくにローレンツゲージを採用すれば、 $\vec{E}_S$ はその時の電荷分布だけで決まるので、 $\vec{E}_S$ を準静的電場と呼び、 $-\Theta\vec{A}/\Theta$ tを放射場ということができよう。 しかし、一般には(よく使われるクーロンゲージなどでは)そのように2つの項を分離して呼ぶのは適当でないと思う。

どのゲージをとっても一般に  $\operatorname{rot} \overrightarrow{\operatorname{l}}_S = 0$  であるから,前述のように誘導起電力には $\overrightarrow{\operatorname{l}}_S = 0$  は関係しない. しかしこのことは,コの字形レールや変圧器の実験などで,いつも $\overrightarrow{\operatorname{l}}_S = -\operatorname{grad} \phi$  が0 であることを意味しない. 磁場の中を運動する導体上の2 点間には電位差が生じる. 閉回路をつくって誘導電流が流れるとき,誘導起電力を生じている所では $\overrightarrow{\operatorname{l}}_S$  は誘導電流と逆向き,誘導起電力のない所では $\overrightarrow{\operatorname{l}}_S$  は誘導電流と同じ向きである. すなわち  $\overrightarrow{\operatorname{l}}_S$  は逆起電力によって生じるということができる.

以上の議論では、相対論的座標変換は考えないことにした。 また、ローレンツ力の反作用には電磁運動量を考えなければならないことについても、ここでは触れないことにした。なお筆者には"放射電場"を考えることの必要性や利点がよく分らないので、放射電場についてはノーコメントである。

#### 文 献

- 1)霜田光一:物理教育 20 (1972)7.
- 2) 霜田光一:物理教育 25 (1977)113,および 198.

# ローレンツ力による電磁誘導起電圧の 発生機構の説明

都立赤城台高等学校

五十嵐靖則

概要 問題の所在は、1.導体中に存在する電場について、 2.誘導起電圧の発生の機構について、 3.ローレンツ力の分力が電子に仕事をしていると考えることについて、である。これらの問題点について、議論を深め、正しい認識を得るようにしたい。

#### 1. 導体棒内に存在する電場について

図1の回路で、磁場B内を一定の速さいで、磁場に対して垂直に運動する導体棒(長さ 1、抵抗 r)内に存在する電場について考えてみる。

話を混乱させないために、観測者は磁場に対して静止しているものとして議論を進める (高校教科書のとっている立場)。

電磁気の基本原理から、導体棒内には、ローレンツ力によって押し動かされた電子の電荷分布の偏りが、導体棒の側壁と棒の両端ABに生じ、この電荷分布の偏りによる電場が側壁間に $E_{H}$ (向きは-x軸向き)と棒の両端AB間に $E_{e}$ (向きは+y軸向き)とが出来

#### る。これらはいずれも静電場である。

導体棒内には、これ以外の電場は存在しない。 観測者が磁場に対して静止しており、又磁場の 強さが一定であるので、誘導電場は存在しない。

この導体棒内に存在する -x 軸向きの静電場 $E_{H}$  の大きさE は論文 $\Pi$  の(4)式に示した様に、

の大きさEは論文
$$\Pi$$
の(4)式に示した様に、 $E = \frac{V_{AB}}{\ell} = (\frac{R}{R + \gamma}) \mathcal{V} \cdot B \ [V/m]$ 

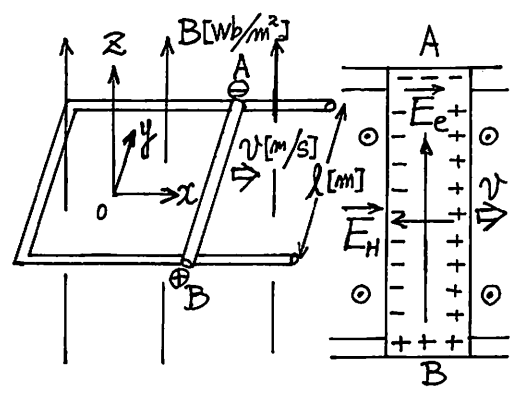


図1

であり、この電場によるAB間の電位差は、けっして、V=V·Bℓ [V] にはならず、

$$V = E \ell = \frac{R}{R+\gamma} \mathcal{V} \cdot B \ell$$
 [V] となり、誘導起電圧  $V_E = \mathcal{V} \cdot B \ell$  [V]を得ることは

出来ない。これは当然のことで、誘導起電圧の原因が静電場ではないからである。

#### 2・誘導起電圧の発生機構について

一見すると、外部回路に対して、導体棒のAB端に生じた電荷の偏りによる電場によって、電流が流れ出て行く様に見えるが、これは、たえまない電荷の蓄積(電荷のくみ上げ)が導体棒AB間にあつてこそ起こることである。導体棒のBからAへ、たえず、静電場 Eに逆らって、電子を押しやる力が働き、電子に仕事をしてやらないと、電荷のくみ上げ は起こらない。即ち、電子を静電場に逆らって、押し上げる仕事をするもの、これが起電 圧の原因となるものである。今の場合は、この力がローレンツ力(正確にはローレンツ力の導体棒の軸方向の分力 f )であったわけである。

3・ローレンツ力の分力が電子に仕事をしていると考えることについて →→ ところで、電子に働いている力は、磁場からのローレンツ力Fと、電荷分布の偏りによ る静電場 $\overrightarrow{E_H}$ (ホール電場) からの力  $\overrightarrow{f_H}$  と静電場 $\overrightarrow{E_e}$  からの力  $\overrightarrow{f_e}$  、そして正イオンとの 衝突による摩擦力 $\overrightarrow{F_E}$  とである。

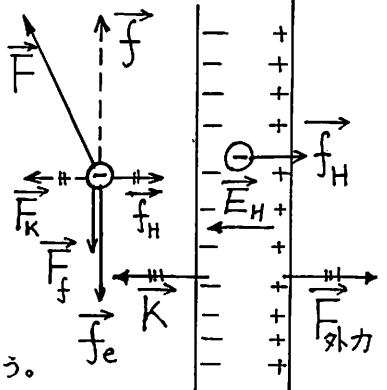
導体棒を動かすために外から加えている力子 は、 電子に直接は働かない。このことに注意する必要が ある。

導体棒に働く力は、導体棒を一定の速さで動かすために外から加えている力 F<sub>M</sub> と電子がホール電場から受ける力の反作用の力の合力、即ち、電子がホール電場に及ぼしている力の合力 K (フレミングの左手の法則の力) とである。

エネルギーの流れ ( 授受 ) を考えると次の 様になる。

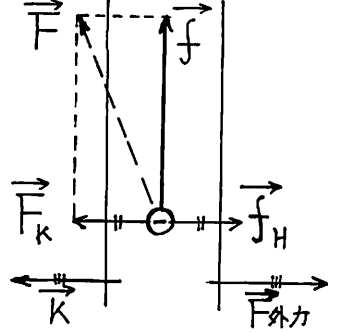
外力 $\overrightarrow{F_{ND}}$  によって導体棒になされた仕事は、電子がホール電場に及ぼしている合力 $\overrightarrow{K}$  (フレミングの左手の力) に仕事をする。この結果として、作用反作用の法則から、電子はホール電場から  $\overrightarrow{f_H}$  の力を

受け、電子集団はホール電場から、等量の仕事をしてもらう。



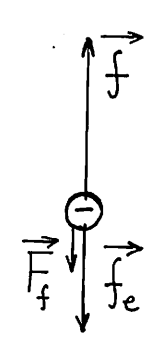
電子に注入されたこの仕事(外力によって注入されたエネルギー)は、ローレンツ力の-x軸方向の分力 $\stackrel{\longrightarrow}{\mathsf{F}}_{\mathsf{K}}$  に仕事をする。 ローレンツ力の分力 $\stackrel{\longrightarrow}{\mathsf{F}}_{\mathsf{K}}$  は、力  $\stackrel{\longleftarrow}{\mathsf{f}}_{\mathsf{H}}$  によって、電子に注入されたエネルギを吸収すると同時に、ロー

レンツ力の他の分力 f (導体棒の軸方向、即ち、 + y 軸向きの分力) は、それと等量の仕事を電子に 行い、電子の x 軸向きの運動を、+ y 軸向きの運動 に変換している。即ち、ローレンツ力は、外部から 注入された x 軸方向の運動に伴うエネルギーを、そ



れと垂直な向きの+y軸方向の運動に伴うエネルギー に変換している。

この様にして、ローレンツ力の分力 f は、摩擦力F や 静電場による力  $f_e$  に打ちかって、電子に正の仕事をし、 電荷をくみ上げ、起電圧を生み出している。



#### 参考文献

- (1) 五十嵐靖則、物理教育 VOL. 31 (1983) 158 (NO・3) 「ローレンツ力による電磁誘導現象の混乱や誤解について」
- (2) 五十嵐靖則、物理教育 V O L・32 (1.984) 194 (N O・3)
  「ローレンツ力による電磁誘導現象の説明」 ローレンツ力は真に仕事をしないか-
- (3) 五十嵐靖則,物理教育VOL・34(1986)(NO・1)「電磁誘導起電圧の発生機構とローレンツ力」

### ローレンツ力による電磁誘導現象の説明の 混乱や誤解について

五 十 嵐 靖 則\* (1983 年 6 月 10 日受理)

本年度より使用されている 高校物理 の多くの 教科書で、以下に示すような誤りや混乱があるようなので、それを指摘し、読者睹先生方にど議論を頂き、電磁誘導の正しい理解に役立てて行きたいと類うものである。尚、以前に、霜田先生より「電磁誘導の説明の混乱や誤解について」」の議論がありましたが、ここで話す内容については、触れられていませんので、敢えて紹介させて頂きます。

図 1 に示すような、磁束密度  $B[Wb/m^2]$  の一様な磁場内を、長さ l[m] の導体器 AB が、磁場に垂直に、一定の速さ v[m/s] で運動するとき、導体器 AB の両端には、よく知られているように、誘導起電圧(起電力) V が、V=vBl[V] 発生する。

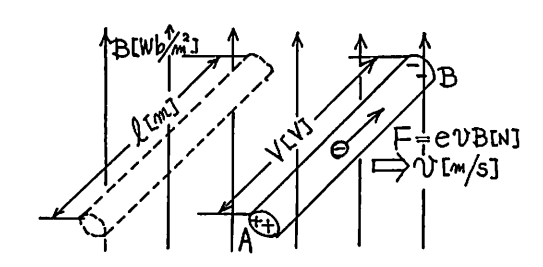


図 1 一様な磁場内を導体棒が運動する場合

との起電圧が発生する原因を、ローレンツ力によって 説明しようとする部分に、誤りがある.

している.

この議論は本末転倒もはなはだしく、何のためにローレンツ力によって、起電圧の発生を説明しようとしたのか、まったく意味をなしていない。そればかりでなく重大な誤りをおかしている。電荷に力を及ばすのは、電場のみであるときめつけている点に混乱と誤解の原因がある。電場が存在しなくても、電荷が磁場内を運動すれば、この電荷には力が働く。この力こそがローレンツ力ではなかったのか。

導体棒に V=vBl [V] の電圧が発生することを、電場を用いて、 $V=E\cdot l$  として導こうとすることにむりがあり、混乱をまねく大きな原因になっているように思われる。コの字型の $V-\nu$ の上を導体棒が運動している場合

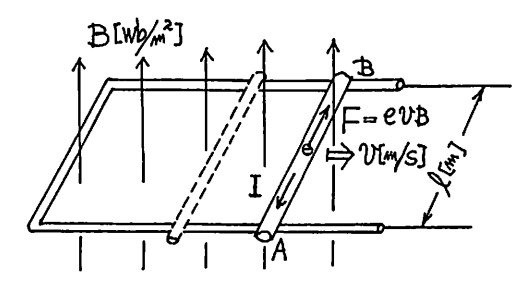


図 2 コの字型のレールの場合

(図2参照) にも使える説明の仕方は、 以下のようにすればよい。

導体内の電子にローレンツ力が働くために、電子はA端からB端へ移動する。このとき、ローレンツ力が単位電荷当りにする仕事が、AB間に生ずる起電圧Vであるとすれば、混乱も誤解もなくなり、説明の主旨通り、起電圧発生の原因をローレンツ力によって説明できたことになる。

即ち、 $V=W/e=F\cdot l/e=evB\cdot l/e=vBl[V]$ .

尚、磁場が一定で、観測者が磁場に対して静止している限り、導体棒が一定の速度で運動しても、導体棒を含

<sup>\*</sup> 東京都立赤城台高等学校

めた空間には、静電場は存在しても(導体棒内ではAからBの向き、コの字型の閉回路の場合には、棒 AB内には静電場も存在しない)、 動電場は存在しないことを確認しておくことが大切である。 観測者が運動する場合を含めて、参考文献 2 に詳しく述べられているので、参考にして頂きたい。

てとで取り上げた誤りの例は、 高校教科書 だけでなく、電磁気の専門客でも見掛けることがあるので、注意したい。

#### 参考文献

- 1) 新田光一:「電磁誘導の説明の混乱や誤解について」、物理教育学会誌, 20 (1972) 1, p.7.
- 2) Edward M. Purcell: 「electricity and magnetism」 berkeley physics course Vol. 2 Macgrawhill, p. 228. バークレー物理学コース 2, 電磁気, 飯田修一監訳 (丸善), p. 281.

  David Halliday and Robert Resnick「Physics」 Part 2, Chap. 35-7. p. 783 (3 d edition). John Wiley & Sons (1978).

#### 付 2・物理教育 第32巻 第3号 (1984)

## ローレンツ力による電磁誘導現象の説明 ---ローレンツ力は真に仕事をしないのか?---

#### 五 十 嵐 靖 則\* (1984 年 6 月 14 日受理)

本誌の談話室に私が投稿した論文<sup>1)</sup> に、金城、青野両 先生から意見が寄せられ<sup>2)</sup>、 この問題に対して、強い興 味と関心を持って頂けて大変有りがたく思って おりま す. また、須藤先生にも問題として取り上げて頂いた<sup>3)</sup> ことに感謝しております.

私の論文にも、紙数の関係で十分意を尽した議論ができなかったこともあり、一部不正確な個所があり、金城先生から御指摘を頂きましたが、金城先生、青野先生の御議論の中で、誤解をなさっている所がありますので、次の点に重点をしばって議論を深めておきたいと思います。それは、『一様な磁場内のコの字型レール上を一定の速度で運動する 導体棒に 誘導される起電圧』について、であります。

図1に示す様に、磁束密度 B [wb/m²] の一様な磁場内に、面を磁場に垂直に向けたコの字型のレールを固定し、このレール上を、辺 CD に平行に導体棒 AB を乗せ、一定の速度 v [m/s] で図の矢印の向きに運動させるときの、①導体棒 AB に誘導される起電圧  $V_s$  及び、②導体棒 AB 間の電圧  $V_{AB}$ ,及び③導体棒 AB 内に生じている(静)電場Eの大きさと向き、等を議論し求めてみたい。ただし、観測者は磁場に対して静止しているものとし、またコの字型のレールの抵抗 (BCD.4 間の全抵抗)は R [ $\Omega$ ]、導体棒 AB の抵抗は r [ $\Omega$ ] であるものとする.

#### (1) 導体棒 AB に誘導される起電圧

回路に一定の大きさi [A] の電流が流れている定常状態を考える。この状態で、電子に働く力は、ローレンツカデ と、導体棒の両端AB に生じた電荷分布の偏りによる電場(向きはBからA)からの力  $f_{a}$  と、衝突によって生ずる抵抗  $f_{b}$  及び、導体棒 AB の側壁に生じた電荷分布の偏りによる電場(向きは、向って左向き、ホール電場)から受ける力  $f_{a}$  の4種類で、これらの力の合

力は零となっている (図2及び図3参照).

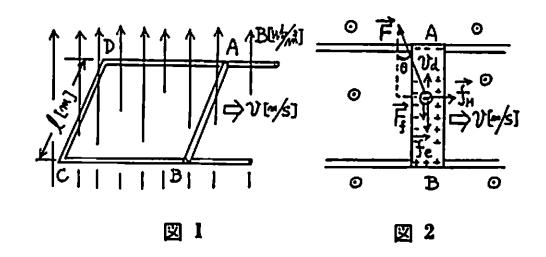
このとき、導体棒内の電子をB端からA端へ向けて移動させている力は、 $\neg - \nu \rightarrow \neg F$ の棒の軸方向の分力  $\neg F$ である。  $\neg F$ は図から、 $\neg F = -e\vec{v} \times \vec{B}$ . 電子はこの力  $\neg F = -e\vec{v} \times \vec{B}$ . 電子はこの力  $\neg F = -e\vec{v} \times \vec{B}$  での合力が零の状態となる)流動速度(ドリフト速度)  $\neg F = -e\vec{v} \times \vec{B}$  で、 $\neg F = -e\vec{v} \times \vec{A}$  で、 $\neg F = -e\vec{v} \times \vec{A}$  で、 $\neg F = -e\vec{v} \times \vec{A}$  で、 $\neg F =$ 

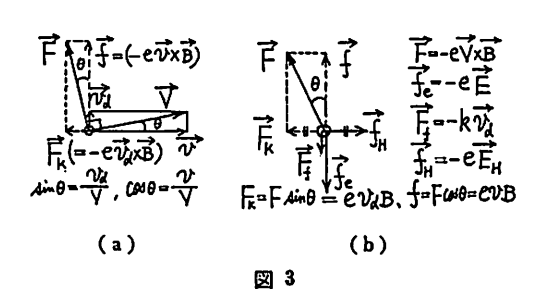
従って、ローレンツカ $\vec{F}$ が電子をBからAへ移動させて行くときの仕事Vは、 $W=F\cdot l\cos\theta=f\cdot l=evBl$  [J]. 誘導起電圧  $V_{\epsilon}$  は、ローレンツ力が単位電荷当りにする仕事に等しいと考えると $^{1.4}$ 、

 $V_L = W/e = F \cdot l \cos \theta/e = f \cdot l/e = evB \cdot l/e = vBl$  [V] (1) を得る. この起電圧は、当然のこととして、ドリフト速度  $v_d$  には無関係である<sup>5)</sup>.

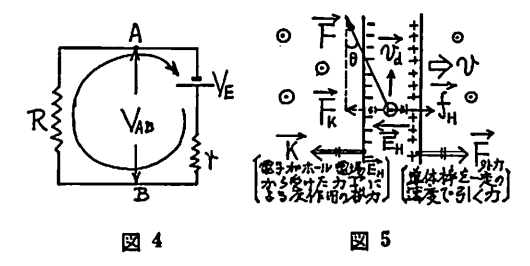
#### (2) 導体棒 AB 間の電圧

図1で考えた回路は、図4に示すような回路図に置き





<sup>\*</sup> 東京都立赤城台高等学校



換えて考えることができるので,回路を流れる電流iが, $i=V_{\mathcal{E}}/(R+r)=vlB/(R+r)$  [A] (2)と求まり, 導体棒AB 間の電圧 $V_{AB}$  は,

、 $V_{AB}=V_{\mathfrak{E}}-ir(=iR)=vlBR/(R+r)$  [V] (3) と求まる・

#### (3) 導体棒 AB 間に生ずる電場

導体棒 AB 間に生じた、B から A向きの電場 をは、ロ、 ーレンツ力によって移動させられた電子が作る、電荷分 布の偏りによるものであるから、静電場であり、次の様 に求めることができる。即ち(3) 式から、

$$E = V_{AB}/l = \frac{vlBR}{R+r} / l = \frac{R}{R+r} \cdot vB \text{ [V/m]} \quad (4)$$

導体棒 AB に抵抗 r が存在するときは(電子の流動速度  $v_d$  を考えるときは), 金城先生が議論され導かれた結果 (E=vB) とはならない.くどい様であるが,『電場 E の向きは,決して,多くの教科書に 書かれている様な,電流が流れている向き(起電圧の向き,A からB向き)ではなく,B から A の向き』である.

導体棒 AB 間の抵抗が零の場合を仮に考えると、このときの電場は、B から A の向きに、大きさ E=vB [V/m] となる。また、外部回路の抵抗R が仮りに零の場合  $(r \div 0)$  は、(2)、(3) 式から、 $V_{AB}=0$  となり、導体棒 AB に沿っての電場 E は零となる。このことは、不十分ではあるが、論文 1) で私が述べたことである。

#### (4) フレミングの左手の法則とローレンツカ

電子に働くローレンツカ  $\vec{F}(=-e\vec{V}\times\vec{B})$  の導体器 AB の軸に垂直な方向 (導体器の運動の方向) の分力  $\vec{F}_{K}$  は、大きさ  $F_{K}=F\cdot\sin\theta=eVB\sin\theta=ev_{d}\cdot B$  で、向きは導体器の運動の向きと逆向きである (図3及び図5参照).

このローレンツ力の分力  $\vec{F_K}$  は、導体棒の側壁に電子を押しやり、両側壁に電荷分布の偏りを生じさせる。 この電荷分布の偏りによって、新しい電場  $\vec{E_M}$  (先に述べておいた、ホール電場)が、ローレンツ力の分力  $\vec{F_K}$  と釣り合うように生ずる。ホール電場  $\vec{E_M}$  は次の様に求まる。

即ち、
$$\vec{f}_H + \vec{F}_R = 0$$
  $\therefore (-e\vec{E}_H) + (-e\vec{v}_d \times \vec{B}) = 0$   
 $\therefore \vec{E}_H = -v_d \times \vec{B}$  (5)

てのホール電場から、各電子は $\overrightarrow{f_H}$  の力を受け、その 反作用として、電子は導体棒を左向きに押し返す。この とき、導体棒全体に働く左向きの力 $\overrightarrow{K}$ の大きさは、次の 様に求まる。 即ち、 $K=e\cdot nsl\cdot E_H=ensl\cdot v_dB=ensv_d\cdot lB$   $=i\cdot lB$  [N]. ただし、n は電子数密度、S は断面積である。

これは、フレミングの左手の法則による力に他ならない。従って、フレミングの左手の法則に従う力は、ローレンツ力 $\vec{F}$ の導体棒の運動方向の分力 $\vec{F}_K$  ( $F_K=eVB$ ・ $\sin\theta$ ) が原因であると考えることができる・

#### (5) ローレンツ力は仕事をしている

夢体棒内の電子は、v→dの合成速度で磁場内をする。 電子に働くローレンツカは、この運動の向きに垂直であるから、一見すると、ローレンツ力は電子に仕事をしない様に思えるが、そうではなく、これまでの議論からわかる様に、ローレンツカは電子に仕事をしない様に思えるが、マッカはなく、ではその力がの向きに動かされたの分力がはよって、電子はその力がの向きに動かされたの分力がは電子に下す。 はましてある(ローレンツカの分力がは電子に下す。 はましている)・一方、ローレンツカの他の分力がよける。 ローレンツカの他の分力を生み出し、外から仕事をしている)・ローレンツカの他の分力を上まっている(ローレンツカの分力がより、に打ち勝をしてもらっている)・に打ち勝って、よの仕事と等量の仕事とする。

とのとき、外からのエネルギーの注入は、導体棒を一 定の速度で引く力 (外力) によってなされていることは 言うまでもない。

との様なわけで、一見すると仕事をしないかに見える ローレンツ力は、磁場内を自由に運動することを制限されている導体棒内の電子に、正の仕事をすることがある のであり、また同時に、等量の負の仕事をもしているの である。

このとき、ローレンツ力の全仕事量が零となっている からといって、ローレンツ力は仕事をしないんだと決め つけることは、危険であり、十分慎重に議論されねばな らない。

以上のことから、一見不思議な振舞いをするローレンッ力が、力学的なエネルギーを電気的なエネルギーに、変換する重要な働きをしていることがわかる。この意味で、「電磁誘導が存在するならば ローレンッ力 が働く」のである云々の議論<sup>6)</sup> は、 必ずしも正しくはない と思う。

霜田先生が以前に議論された"ように、電磁誘導現象

は、 $\cot \vec{E} = -\partial \vec{B}/\partial t$  からすべて説明できないし、また、 ローレンツ力だけでも説明できない<sup>6)</sup>. 両者の考えがあって初めて、いろいろな場合の電磁誘導現象が説明できるのであるととを再確認しておきたい.

終りに、私の論文<sup>1)</sup> が出た後すぐに、東京医大の和田 義正先生から貴重な御議論を寄せて頂きましたことを記 し、先生に感謝の御礼を申し上げます。

#### 参考文献

1) 五十嵐靖則: 物理教育 Vol. 31 (1983) 158 (No.

3).

- 2) 金城啓一: 物理教育 Vol. 32 (1984) 40 (No. 1). 诗野修: 物理教育 Vol. 32 (1984) 40 (No. 1).
- 3) 須藤喜久男: 物理教育 Vol. 32 (1984) 80 (No. 2).
- 4) KBGK 物理, 基礎輻, 第8章, p.195~196, 朝 倉書店
- 5) 金城啓一: 2) に同じ.
- 6) 背野修:2) に同じ.
- 7) 稻田光一: 物理教育 Vol. 20 (1972) 7 (No. 1).
- 8) ファインマン物理学, II, 電磁気学, 第 17 章, p. 212, 岩波む店.

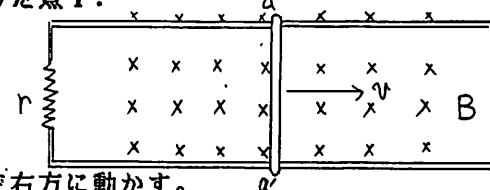
## 導体を動かした場合の電磁誘導について

春日部女子高等学校

金城啓一

大部前に、この辺りの問題について五十嵐先生と同じ問題を感じ、勉強し、幾度 か研究会に報告したことがあるがその頃は殆ど関心を示していただけなかった。今 回、五十嵐先生の問題提起でこれが諸先生方に真剣に考えて戴けるようになりこれ でこの手の問題の取り扱いも改ってゆくことと思います。

(問題集に見る問題点)...問題を感じた点1.



長さ」の導体棒を一様磁界中をVの速さで右方に動かす。

(イ) 回路に i = vBl の電流が流れる。 a → a に向う向き。

電流、特に導体棒は反進行方向のローレンツ力を受ける。

春の動き

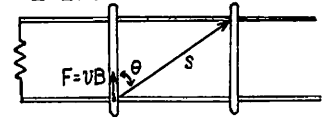
#### 問題を感じた点2

この現象でr(それは局部的でも全体的でもよいのですがともかく回路の抵抗)がどんな値であっても、起電力はv B 1 であり、起電流は  $\frac{v$  B 1 です。(ここに v は導体権の速さです)。

すると、rの値が小さいほど電流は大きく、従って電荷の流速は速くなります。 しかしそれによって起電力は全く変化しません。要するに、電荷が導体中で受ける 力は、電荷の速度に関係ないという不思議なことが起こっています。 (導体の速度 だけで決まる意)。

導体棒中で電荷は何者によるかは別にしてともかく流速には関係なくvBの力を 受けるために長さ1でその仕事がvBlの起電力ということは確かです。(J/coul)

Work =  $\mathbf{F} \cdot \mathbf{s} \cos \theta = \mathbf{v} \mathbf{B} \mathbf{1}$ 



これはこれまでの討論で殆ど問題にされていませんが私の最も悩んだ問題なのです。なぜなら、電荷の速度に関係なく一定して働く力は磁界によるものではなく、電界によるものだからなのです。

(私はバークレー教科書に語られているように $\vec{F} = q\vec{E} + q(\vec{v} \times \vec{B})$  を同時に  $\vec{E}$ と $\vec{B}$ の定義式と考えています。)

\*なおここに式から q を略させていただいていますが、それで叱らないで下さい。 また、導体中の抵抗も(いはば内部抵抗ですが)それも本質的ではありませんか らここではまだ考慮の外にします。

#### 問題を感じた点3.

極めて単純に、Vをレールに対して静止した観測者から見ての電荷の速度としたとき、

Work by Lorentz's Force=  $(\overrightarrow{V} \times \overrightarrow{B}) \cdot \overrightarrow{V} = 0$  という点です。(それまで私はローレンツ力による仕事を考えてましたので)この指摘を生徒から問いつめられまして大変困りました。

私はWorkの定義はあくまで下・sと考えております。

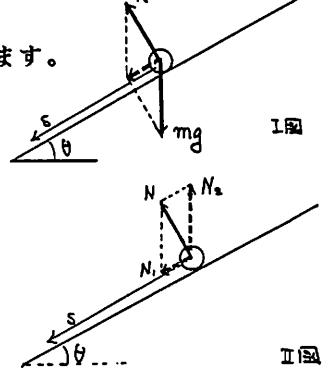
簡単な例で斜面上の物体の受ける仕事を考えてみます。

Work by  $N = \vec{N} \cdot \vec{s} = 0$ 

Work by  $mg = mg \cdot s = mgsin \theta \cdot s$ 

と教えています。 N がないと斜面に沿った方向にいかないがN は仕事の面では役割をしていない。と

これを右II図のように、Nにだけ目を向けて「mgだけでは横方向の運動は生じない。Nがあるからこそ横方向の運動を生じるのだから、Nの存在こそ大切でNの成分N1が仕事しているのです。もちろんN1はmgとの



合力でありましてmgが仕事をするのは言うまでもありません。mgが仕事をすると言うことと、Nの分力が仕事をするというのは、手を打ったときに右手で音がしたと言いはるのに似ています。」と教えて生徒は納得してくれないと思います。

Work by  $N_1+$  Work by  $N_2=0$  だからと言ってNは仕事しないと言えないのでしょうか?

#### 問題解決のヒントとなった疑問点

簡単な回路を考えます。(電池の内部抵抗や導線抵抗は問題としてゆくことに本質と思われませんのでOとします。)

問題を抱きましたことはab間で電圧降下O(同様にa'b'間で電圧降下O)という不思議です。これは言いかえるとab



この問題は答えは言われてみればわかるのですが自力ではどうにもなりませんでしたが、その頃ちょうど、岩波から、富山小太郎先生の「電磁気学」が出ましてそこにこの問題についていろいろ詳しい論議が展開されていました。私はこの富山先生の説を信じています。

それによると、どこも一様に電流が流れるように、電界を回路内に形成するように、回路中に電荷が分布するということでした。例えば上図では b 点に + が b '点に - が適切に分布し、 b b '間に電界を形成するというものです。

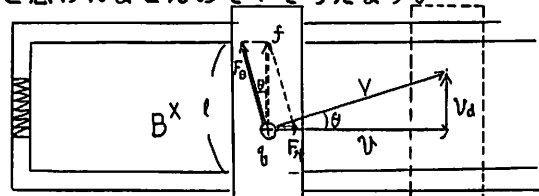
また導体(低抗体)が曲がる部分では、例えば右図のように表面電荷が現れ、電荷に法線力を与える。といったものです。言はば導体とは、この様なしくみで導線に沿った電界を形成してしまうものと考えられるでしょう。



#### 私の理解.

重要な問題点は一.v B力は磁界による力かそれとも実際に電界が形成されてくるのか。

二.ローレンツ力が仕事をするのか。(と無理矢理考えないとだめか)ですので、ひとまずそれには本質的と思われない内部抵抗、導線抵抗は0と考えて論じます。また+か-かも本質的と思われませんので+で考えます。\_\_\_\_



棒を(中の電荷を)vの速さで引く。このとき、 $\overline{v_a}$ を付加するように $v_a$ 方向の力が形成されているはずである。(f)この力が回路の起電力につながるわけですが、それは引く力から及んできたF とローレンツ力FBの合力です。(BがなくFBがOなら、 $v_a$ を付加するような力fは生じてきません。F をのみ受け、導体と共にqは等加速度運動をするだけでしょう)

さて f が図の方向に向くためには

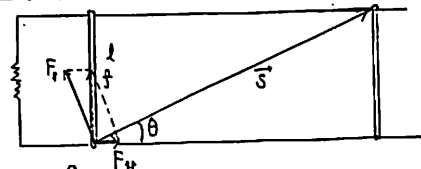
 $F_{n} = F_{B} \sin \theta$ 

でなくてはなりません。即ち、

 $F_{\theta P} = q V B \sin \theta = q B V_d$  $f = q V B \cos \theta = q B V$ 

そして

ですから長さ」について電荷のなされる仕事は



$$= qB \cdot v \cdot 1$$

$$= p \quad vB \mid [J/coul]$$

これで回路の起電力がvBlになることは示せたと考えます。仮に内部抵抗があったとしてもここまでは何ら変わらないでしょう。

#### \* エネルギーの収支

電荷の線密度をn [½/m] とします。導体棒中でこうした力を受けて移動する電荷の数はn1 [½] です。

さて導体はこれら電荷に作用を及ぼす( $F_{\gamma\gamma}$ )ため、その反作用を受けます( $F_{\gamma\gamma}$ )にあ、その反作用を受けます( $F_{\gamma\gamma}$ )にはないでしょう。ですから、このとき、導体棒を引いてゆくために外力のPowerは

Power =  $F_{7h} \cdot n \cdot 1 \cdot v = q \cdot B \cdot v \cdot a \cdot n \cdot 1 \cdot v$ 

ここでq va·n は電流値に他なりませんので i としますと、

Power by 引く力=ilBv "

一方消費される電力は i×起電力=ivBl です。

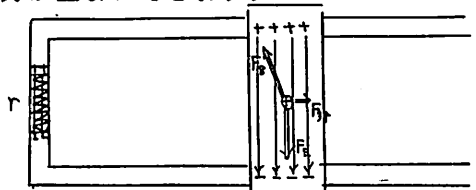
何がここで言えるのかと申しますと、棒を引くのに力が必要となるのはなにも電流が受けるローレンツ力とする必要はありませんので、1pにあげました(イ)(ロ)のように同じ電荷が同じ磁界から独立の二つのローレンツ力を受けるという気持わるい(矛盾)を使わなくてよいことになります。

#### \* 同路内でのエネルギー消費の問題

自由電子モデル(古典的)を使うか否かにかかわらず平均流速 vaは図の上端と下端で変らないと言えましょう。(むりやり棒の太さを不均一にすればべつですが)そこで考えられることは両極端に言って2つあります。

第一は電荷が加速されてはぶつかりそのエネルギーが熱運動に帰してしまう場合 (ただし棒の中で受ける仕事を全て熱に帰してしまったなら外部回路に電流を流せ ませんのでこれほど極端なことは不可能です)

第二は、fを打ち消す力が働くことです。この力の可能性は、もはや磁界から考えることはできませんので富山先生流の考え方が生まれてきます。\_\_\_\_



図のように導体棒とレールの接するところに電荷分布が生じ静電場を形成してくる

ことです。棒が一様なら電界も一様でEとすると、

 $f = F_R$ 

ということから、

q v B = q E

従ってここに

E=vB 電界が形成される

その作る電位差は、外部の抵抗rにおよんできまして回路には

の電流が流れると考えられます。 (殆どの学習問題では外部抵抗 r に比して内部抵抗や導線抵抗の無視できる場合が問題にされていますので前回もここにとどめましたが、それではだめという指摘がありましたので、この両極端の中間を論じてゆきます)。

中間の場合、(内部抵抗がrに比し、無視できないと)

$$f > F_R'$$

となり力は打ち消されない。

このとき電荷は導体棒中で

$$(f - F_B')$$
 l

の仕事を熱に帰してしまうでしょう。これをqVRとおきますと、

$$(q \vee B - q E') l = q \vee_R$$

$$E'l = vBl - V_R$$

と上下端の電荷分布は減ってしまい。外の回路にはE'の電界がかかってまいりま す。そして流れる電流は

$$i = \frac{v B 1 - V_R}{r}$$

となります。ところでふつうこうした場合  $V_R$ は内部抵抗  $\Gamma$  'での電圧降下として捉えられますので

$$i = \frac{v B 1 - r' i}{r}$$

$$i = \frac{v B 1}{r + r'}$$

とごくあたりまえのことになります。

#### \* vBは電界が磁界が

ここでいずれにしても注目すべきことは、多かれ少なかれ、棒の両端に電荷分布が生じそれが回路に静電場を与えていることです。その静電場の作る電位差が

$$vB1(-r'i)$$
  $rac{a}{b}$ 

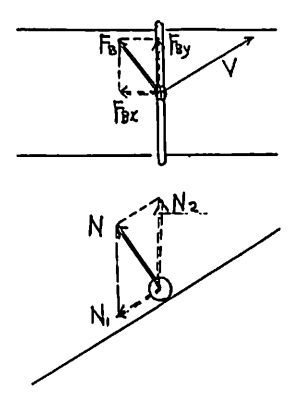
そしてこのように考えますと電荷の流速に関係しない(従ってそれは電界が生じている)ことが解決されます。これは(私にはよくは読み取れなかったのですが)知人がPlanckの電磁気の中に非常にはっきりと動く導体中に生じるのは磁界ではなく電界であると書かれており、その真意がわからず悩んでいると聞かされたことから長時間かけて得た解釈です。

この点を図にしまして電流の小さいときと大きいときとを比較しますと、

といった具合に電流が大きくなりますと、ローレンツ力は増し、引く力も増さなくてはなりません(周知のとうり)が合力 f は v が同じなら同じになってしまい( $\theta$  が増すためローレンツ力が棒に対して大きな角をなすため結局 f は変らない)。それに応じて形成される電界も同じになる。(本質的に v B 1 が同じ意)

#### \* 補足

ここで一つの考え方としてローレンツ力の二つの成分FBxとFByとを考えてFBxを外力が打ち消すからFByが仕事をしているという、即ち仕事しているのはFBだとそしてFByはVaによらないだけですと叱られそうな気がします。しかしそうした言い方はふつうしていないのではないでしょうか。斜面で抗力の分力N2をmgが打ち消してくれるのでN1が仕事できる。ですから仕事しているのは抗力に他ならなりませんという解釈はしないと思うのです。



そしてそのことにも増して棒の両端に電荷分布が形成されそれが回路にPotentialを形成することはまちがいないと思うのです。

ですので教科書の記述に関しての五十嵐先生の問題提起は賛成なのですが実はやはりvBの電場ができると思われるのです。そこでどうしてもメカニズムの問題に ふれなくては生徒が納得しないなら別ですが、この場合もファラディ流に

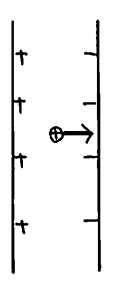
貫く磁束の変化率に等しい起電力

という言い方でよいと思うのです。ちなみに手当たり次第、大学の教科書をひっくり返してみたのですがローレンツ力から計算している本は中山先生著の一冊で他はdΦ/dtによっているようです。ローレンツ力との関連や相対論との関連に触れているのはFeynman、Planckに見ましたが。

#### \* 側面の分布電荷について

(この問題は重要な問題点からはずれますが)

Fnは電荷に手から直接働きはしません。導体中のどの電荷にも等しく働くのですから、それは複雑と思われますが結局は電気的な力を受けいる以外ないでしょう。電荷は一様に分布していると思われますのでマクロには表面電荷の分布で電界が形成されているこれから力を受けていると考えてよいのではないでしょうか。もちろんそれは静電分極の場合と似たようなミクロには大変複雑なものと思います。



なおこの点は、冒頭にかかげた問題点には直接かかわりませんので蛇足として見て下さい。

(私の申したいことは柴田先生が非常に簡潔・適確に述べられているようにおもいますが違うでしょうか。)

## 電磁誘導とローレンツ力について

九州大学 教養部

中山正敏

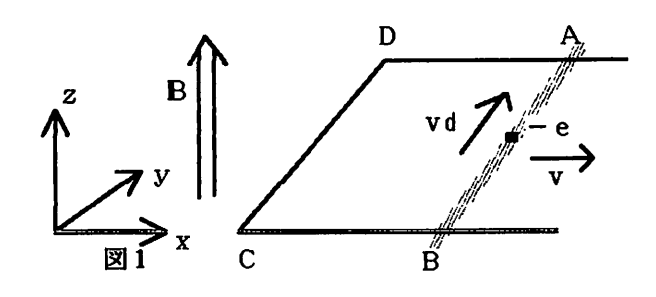
[概要] 導体棒が動く場合の電磁誘導起電力とローレンツ力との関係について考察する。問題を正しく理解する鍵は、起電力は非静電気的な作用により生じるということにある。今の場合、起電力はローレンツ力の導体棒方向の成分によって与えられる。棒の両端に生じる電位差は、起電力の結果であって原因ではない。ローレンツ力は、全体としては仕事はしないが、棒の移動方向の電子運動エネルギーを、棒に沿っての運動エネルギーに転換する役割をしている。ホール電場が起電力の原因であるという考えを批判する。この場合の、電磁誘導における位置づけ、相対論との関連の取扱いについて意見を述べる。以上の事に基づいて、教案と教科書としての記述について、私案を述べる。

#### § 1. はじめに

五十嵐康則氏の問題提起<sup>1</sup>〉に始ったこのテーマをめぐる通信討論に、私は途中から参加した。ローレンツ力が仕事をするか、という金城啓一氏<sup>2</sup>〉や青野修氏<sup>3</sup>〉による疑問については、五十嵐氏の第2論文<sup>4</sup>〉により解答が与えられている。しかし電磁誘導をどう教えるかという事については、私もずっと関心をいだいて来たので、考えを述べておきたい。また、通信討論の中でもいろいろな問題が提起されており、誤解もあるので、この機会に私考を述べて参考に供したい。

#### 8 2.問題の所在

まず私なりに論点を整理しておきたい。五十嵐氏による問題 提起は、そもそも、多くの教科 書に見られる電磁誘導の"説明" の誤りの指摘であった。以下、 図1のように、一様な磁場に垂 直な面内に置かれたコの字形の



導体枠の上を、導体棒ABが磁場に垂直に移動する場合を考える。面ABCDを貫く磁束は棒の移動につれて増大するので、A→B→C→Dの向きに電流を流す起電力εが発生する。これは電磁誘導の1例で、εは

$$\varepsilon = \frac{d\Phi}{dt} = -vB1 \tag{1}$$

となる。負符合は電流がA→B→C→Dの向きに流れることを表す。

ところで教科書には、よく次のように書かれている。

「導体内の電子にはローレンツ力F=evBがB→Aの方向に働く。この結果、電子はB→Aと移動して行く。これは、あたかもA→Bの向きに電場が存在しているのと同じである。この"電場"によって起電力vBlが生じる。」

五十嵐氏による指摘の中心点は、以下の事だと私は理解している。今の場合、磁束線は静止しているから、いわゆる誘導電場は生じない(この点、導体が静止し磁束が動く場合の電磁誘導とは異なる)。それなのに、上のような記述をすれば、ローレンツ力は誘導電場と同じであるという錯覚を与えかねない。これは少なくとも適切な記述ではない。もし、この電場が本当に生じているとするならば、明かに誤りである。

私も、大学初年級の物理学の講義をして来て、大学の教科書にも同種の誤りが見られることに、以前から気付いていた。たとえば、小出昭一郎氏の「物理学」 5) は、いろいろな点でよく書かれている本だが、電磁誘導のところでは次のようになっている(本稿に適合するように、記号を一部書変えた)。

「この力(注・ローレンツ力)は、正電荷に対しては $A \rightarrow B$ 、負電荷に対しては $B \rightarrow A$ の向きに働く。どちらも $B \rightarrow A$ の向きの電場E'によって表わされる。その強さはvBに等しい。」

この記述も、著者の気持ちとしては、ローレンツ力と同等な働きをする電場で、を考えるとすれば、それはB→Aの向きで強さはvBである、という意味であろう。しかし、学生がこれを読めば、じっさいに電場で、が存在する、と思うであろう。そうして、ローレンツ力は常に電場で置き換えられるのかとか、一体磁場による力と電場による力とをどう区別するのかとか、思い悩むことになろう。さらに、磁束線が動く時に生じる誘導電場とどう違うのか、混乱してしまうであろう。このように学生を惑わす文章は、教科書としては適切とは言えない。それなのに、同種の記述の教科書が他にもある。そこで、とにかく納得の行く説明をしてみようと思い立って、私は小著「電磁誘導」を書いた。 6) その後、この通信討論を知り、参加した次第である。

#### 8 3. 起電力

図1のように導体が動く場合、説明のポイントは起電力という概念をどう理解するかにある。五十嵐氏が第一論文<sup>1)</sup>で指摘しているように、AB間には誘導電場は存在しないが、ローレンツ力

$$F_{v} = e v B \tag{2}$$

が電子に対して働いている。起電力εは、電子がB→Aと移動したときにローレンツ力がした仕事を単位電荷あたりで計算して

$$\varepsilon = F_v 1 / - e = -v B 1 \tag{3}$$

となる。

ここで大事な点は、起電力は静電気力以外の機構によって与えられる、ということである。起電力は、電流をA→B→C→D流し続ける働きを持っている。しかし、どのような電荷分布によるものであろうとも、静電場は閉曲線に沿って一周積分すれば0となるのだから、電流を流し続けることはできない。そこで、静電気力以外の機構が必要になる。電荷に働く力は静電気力だけではない(重力だって働く)。また、力ではなくても、電流を生じさせる機構は、濃度や温度の勾配などたくさんある。電子やイオンの濃度差があると、拡散による電荷の流れが生じる。これを利用したのが化学電池である。そういう機構の一つとして、すなおにローレンツ力を認めれば十分であるのに、電磁気の章だから電荷に働く力はすべて電場によるとした方が分かり易かろうと余計な親切心を働かせたところに、あのような誤り易い記述ーあたかも電場が存在する一の根がある。

次に大事な点は、起電力がAB間にあると、AとBとの間に電位差が生じるが、これは起電力の結果であって、原因ではない、ということである。この点もよく誤った表現を見受ける。たとえば、上に引用した教科書では、すぐ続いて次のように書かれている。

「仮に針金ABだけが動いているとすると、この電場(前述のE')のために自由電子がB→Aの向きに動いてAに溜まるので、これによってB→Aの向きの電場Eを生じ、これがローレンツ力による電場E'とちょうど打ち消し合うようになったところで電子の移動は止む。電子がAの側にたまればAはBより低電位になる。すぐわかるように、AとBの電位差は

$$V_B - V_A = V B 1 \tag{4}$$

である。この電位差はローレンツ力が作り出したものである図2...したがって、 誘導起電力はvBlである、ということができる。」

回路が開いているならばAB間に

$$E_{v} = v B \tag{5}$$

という電場が作られ、これがローレンツ力(式(2))を打消すことは正しい。しかし、上の説明自体が述べているように、まず電子をAの方へ動かすようにローレンツ力が働き、それによって電荷がたまったために電位差が生じたのであって、その逆ではない。Aには負の電荷、Bには正の電荷が生じるが、一これを端電荷と呼ばう一端電荷が作る電場は静電場であって、すでに述べたように起電力を与えることはできない。それどころか、電流がA→B→C→D→Aと流れるとき、AB間では電場は電流とは逆向きである。このことは、電池の場合にも成り立っている。したがって、式(4) は起電力を測定する手段として電位差を利用できることを示すものであっても、逆に電位差から起電力が生じることを示すものではない。

これを別の角度から示したのが、五十嵐氏による次の議論である。 4) 電流が流れている場合を考える。このとき、外部抵抗(B-C-D-A)をR、内部抵抗(A-B)をrとすると、電位差は簡単な計算から

 $V_B-V_A=[R/(R+r)]vB1$  (6) となる。すなわち、電位差はRとrとの比に応じてどのようにも変わり得る。これに対して、起電力 $|\epsilon|$ は常に一定である。このことは、電位差と起電力とが独立のものであることを端的に示している。

AB間では電荷は電場に逆らって動く。そのためには外から電荷に対して仕事を

しなければならない。その仕事を単位時間あたりで表わしたものが起電力である。 その定義からして単位はボルトであるが、電位差とは別物である。以上のことがふ つうの電池による直流のところではっきりと説明されていれば、そのような外から の働きの一つとしてローレンツ力を受容れることには何の抵抗もないだろう。なお、 起電力があるとして、これにつないだ導線に電流が流れるからくりを問題にする議 論があるが、これは電池の場合にも考えるべき別個の問題である。電磁誘導の理解 とは関係がないから、ここでは触れない。

#### 8 4. ローレンツ力は仕事をしない?

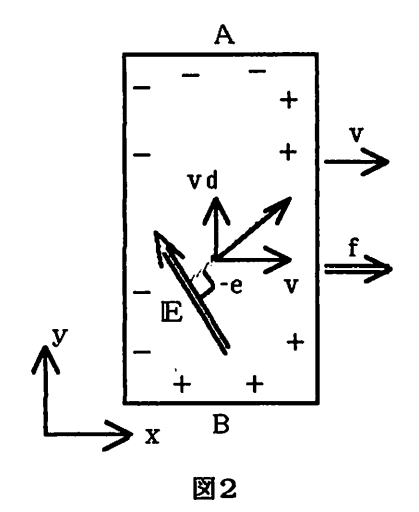
以上の考え方に対して、金城氏と青野氏から、ローレンツ力は電荷の速度に対して常に垂直に働くので仕事はしないはずである、それなのに起電力の原因となるというのはおかしい、という異議が出された。<sup>2・3)</sup>

特に金城氏は、次のように論じた。 $^{2}$ x方向に速度  $^{2}$ v で動いている導体棒に沿って電子が $^{2}$ y方向に速度  $^{2}$ v  $^{2}$ で動いていると、ローレンツ力は $^{2}$ x 成分

$$F_{x} = -e v_{d} B \tag{7}$$

を持つ。このため、電子は棒の x 方向の側面にもたまり、面電荷が表われる - この電荷を側面電荷と呼ばう(図2)。側面電荷が作る電場(ホール電場)が

$$E_{x} = -v_{d}B \tag{8}$$



となったところで、x方向の力は打ち消し合って、x方向の速度vが一定に保たれる。この力の反作用力が側面電荷に働くので、棒の速度vを一定に保には外力fをx方向に加えねばなら

ない。外力fがローレンツ力と導体の性質の働きを借りて電流を流す仕事をしている。以上が金城氏の議論である。しかし、氏はそれ以上立ち入った分析はしていない。特に、静電場と起電力との関係については、あいまいである。

五十嵐氏の第二論文 $^4$ 〉は、金城氏のコメントを批判的に摂取したものといえる。以下、少し計算を補って紹介しよう。ローレンツ力は全体としては仕事をしない。しかし、電子が $B \to A$ と移動するとき、ローレンツ力の $y - \pi$ 分 $F_y$ は正の仕事をする。時間 $\Delta$  t の間には電子はy方向に $v_a \Delta$  t 移動するから、全体でN 個ある電子に対しては、 $y - \pi$ 方向になされた仕事は仕事率を $W_y$ として

 $W_y \Delta t = F_y v_d \Delta t \times N = N e v v_d B \Delta t$  (9) である。一方、 $F_x$ は負の仕事をする。同じ $\Delta t$ の間に電子はx方向に $v \Delta t$ だけ動くから、この方向の仕事率を $W_x$ として

 $W_{x}\Delta t = F_{x}v\Delta t \times N = -Nev_{a}vB\Delta t$  (10) となる。電子が導体中に一様に分布しているとすると、 $\Delta t$ の間にaを通る電荷  $\Delta q$ は

$$\Delta q = (N/1) e v_d \Delta t = I \Delta t$$
 (11)

であるから、式(10)は

$$W_{\mathbf{v}} = -I B I \mathbf{v} \tag{12}$$

とも書ける。Iは電流である。IBIは電流線分ABに働くローレンツ力であるから、この式はフレミング左手の法則にしたがう力がした負の仕事率を表している。 x方向に導体棒を一定の速度vで動かすには

$$f = I B I \tag{13}$$

の外力を加えねばならない。この外力のする仕事率 $W_e=fv$ は、ちょうどー $W_x$ に等しい。また、式(9) と(10)から分かるように、 $W_x$ と $W_y$ の大きさは等しい。すなわち

$$W_{e} = -W_{x} = W_{y} \tag{14}$$

が成り立つ。こうして、ローレンツ力は力学的仕事を電気的仕事に変換するという 重要な役割を演じている。

この説明で本質的な点は尽きている、と私は考える。しかし、通信討論の中では なお異論が出されているので、いくつかのことを続けて述べておく。

ローレンツ力のx成分が負の仕事をし、y成分が正の仕事をするという表現に違和感を感じるという意見がある。たとえば、金城氏は次のように言う。??滑らかな斜面に沿って物体が辷り落ちるとき、垂直抗力ベクトルから重力ベクトルを引いた残りの力が仕事をしているとはふつうは言わないではないか、と。しかし、不運動が起こることに着目して、鉛直方向に働く重力でどうして水平運動が起こるから全体として、鉛直方向に働く重力でどうして水平運動が起こるから全体としては仕事をしない。しかし、鉛直方向の運動のエネルギーを水平方向の運動でよれば、運動をx方向からy方向へと転換するものとないである。の向心力の働きを、運動をx方向からy方向へと転換するものとは、大切なことである。これらの場合に共通していることは、全体としては仕事をしないからといって、何もしないとは限らないということである。では仕事をしないからといって、何もしないとは限らないということである。やの方向を転換させるという重要な働きをしている場合が力学の中にも沢山ある。だから、ローレンツ力の役割をそのようなものとして説明することは、学生にとっても決してなじみのないことだとは思えない。

#### 8 5. 非定常の場合

これまでの議論は、x方向も含めて速度が一定の場合であった。しかし、電磁誘導現象はなにも v が一定の場合に限られない。 v が時間的に変化していても、その瞬間の v の値を式(1) に代入すればその時の起電力が得られる。このような非定常の場合を考えてみよう。定常条件では力がつり合っているために、力や仕事をさまざまに表すことができ、そのためにかえって事の本質を見失う恐れがある。たとえば、天井から糸で錘を吊り下げたとき、錘を落ちないようにしているのは家の土台を支えている地面であるというような議論も、値だけを見ていると成り立ち得るからである。これまでの通信討論の中にも、そのような議論が無きにしも非ずであった。

さて、導体中の電子の運動方程式は

$$m \dot{v}_{x} = F_{x} + G_{x} = -e B v_{y} + G_{x}$$
 (15)

$$m \dot{\mathbf{v}}_{y} = \mathbf{F}_{y} + \mathbf{G}_{y} = \mathbf{e} \, \mathbf{B} \, \mathbf{v}_{x} + \mathbf{G}_{y} \tag{16}$$

と書ける。 $F_x$ と $F_y$ はローレンツ力、 $G_x$ と $G_y$ はそれ以外の力である。 $G_x$ 、 $G_y$ としては、式(5),(8)で求めた電場による力、電子を導体の中に閉じこめておく力、正イオンによる力、電気抵抗を与える抵抗力、などなどいくらでも模型を複雑に取っておくことができる。式(15),(16)から、x,y方向の運動エネルギー

 $K_x = m v_x^2 / 2$ ,  $K_y = m v_y^2 / 2$  について

$$\dot{K}_{x} = e B v_{x} v_{y} + v_{x} G_{x} \tag{17}$$

$$\dot{K}_{\nu} = e B v_{\nu} v_{\nu} + v_{\nu} G_{\nu} \tag{18}$$

が成り立つ。2つの式から分かるように、ローレンツ力は常にKxとKyを相互転換する働きをしている。多数の電子については、平均をく>で表して

$$W_{x} = N \langle K_{x} \rangle = -N e B \langle v_{x} v_{y} \rangle + \langle v_{x} G_{x} \rangle$$
 (19)

$$W_{y} = N \langle \dot{K}_{y} \rangle = -N e B \langle v_{x} v_{y} \rangle + \langle v_{y} G_{y} \rangle$$
 (20)

が成り立つ。今考えているような場合には、vxとvyはたがいに独立である。したがって

$$\langle v_x v_y \rangle = \langle v_x \rangle \langle v_y \rangle = v_u$$
 (21) となる。こうして、ローレンツ力による $W_x$ ,  $W_y$ への寄与は式(10), (9) と同じに

となる。こうして、ローレンツ力による $W_x$ ,  $W_y$ への舒子は丸(10), (9) と同じになる。以上のことは、 $G_x$ と $G_y$ が $V_x$ ,  $V_y$ を独立にするような衝突機構を含むかぎり、その細かい様子には依存しない。また、 $E_x$ ,  $E_y$ が式(8), (5)とは異なっていてもよい。

このように、運動は定常でなくても、たとえば棒がx方向に初速度を持って動いていれば、外力がなくて静止に到るまでの間は誘導起電力が生じる。したがって、外力の存在は電磁誘導にとって本質的ではない。大事なことは、x方向に運動エネルギーがあり、それがローレンツ力によってy方向の運動エネルギーに転化することである。

#### 8 6. ホール電場原因説について

前節の議論と同じようなことが、定常運動の場合には $G_x$ ,  $G_y$ についても言えることになる(式(15),(16)=0と考えれば)。特に、静電場 $E_x$ =- $v_a$ B,  $E_y$ =  $v_a$ Bのなす仕事として起電力を説明しようとする議論がある。これについては、 $S_y$ 3で述べたように、静電場は起電力の原因となり得ないことに注意すれば、答えとしては十分であろう。 $E_y$ については、さらに別の議論も紹介した。ここでは、だめ押しとして、 $E_x$ (ホール電場)について、次の点を指摘しておこう。

 $E_x$ ,  $E_y$ が式(8), (5)のようになるのは、電子だけが運動できる簡単な場合のことである。多価金属・半金属・半導体などでは、負電荷の電子とともに正電荷の正孔も電流を運ぶ場合がある。このような両者が電流に寄与する場合の $E_x$ は、x方向に全体として電流が流れないという条件から求められるが、その符合は電子と正孔の密度と移動度に依存して、正にも負にもなりうる。ある場合にはOとなることもある。一方、式(1)の誘導起電力はどんな導体についても成り立ち、このような細かな物質の特性には依存しない。このことから、 $E_x$ は2次元的な量であって、起電力の原因でないことが分かる。

なお、静電エネルギーの変化によって起電力を説明しようとする染谷太郎氏の説について述べる。<sup>8・9)</sup>氏は次のように言う。図2の場合を考え、導体内には自由電子と正イオンがあるとする。正イオンは導体に束縛されており、導体とともに移動

できるだけであると考える。式(8)、(5)のEx、Eyが生じている。さて、まず正負 両電荷は導体内に一様に分布し、全体として中性であるから、それが作る電場は無い。次に、電子の運動方向は、端・側面電荷が作る官に垂直であるから、その静電 気エネルギーは変わらない。これに対して、正電荷はx方向のみに動くので、その静電気エネルギーは増加する。これをAB間の移動電荷あたりで計算すると起電力が得られる、というのである。

#### § 7. 電磁誘導とは何か

ここでもう一度出発点に戻ろう。五十嵐氏や私がなぜ "電場" という記述にこだ わったかと言えば

- (A)磁束線が静止し導体が動く場合
- には、誘導電場は生じないということを、正確に学生に伝えるべきだと思ったから である。電磁誘導にはこの他に、
  - (B) 導体が静止して(電) 磁石が動く場合
- (C) 導体も電磁石も静止しているが、電磁石を流れる電流が変化する場合がある。コイルの自己誘導は(C) の特殊な場合と考えればよい。
- (A),(B),(C)の3つの場合について、ファラデーによって研究がなされたことはよく知られている。ファラデーは、このすべての場合にあてはまるものとして、「磁束線と導体とが相対的に、導体が磁束線を横切るように運動するとき、磁束線の方向と運動の方向とに垂直な方向に起電力が発生する」という法則を得た。電磁誘導を学ぶにあたって何よりも大切なことは、(A),(B),(C)3つの場合があること、それがファラデーの考えによって統一的に説明されること、ないのと把握することである。それは、ファラデーの歴史的業績をまず追体験して行う、というようなことではない。それはそれとして意義のあることではあるが、電磁誘導に関するかぎり、上記のことの中に現象の本質は尽されているからであるこの段階を第1レベルとでも呼んでおこう。この当たり前過ぎることをわざわざれてのは、ともするとこのレベルをすっぽかしていきなり「高級」な説明に入って

行く傾向が、教科書にも見られるからである。

さて、(A)の場合には、これまで述べて来たように、ローレンツ力による説明をすることができる。しかし、これは、ローレンツ力から電磁誘導(の一部)を導き出した、というよりは、むしろローレンツ力と電磁誘導との関係を示したというように捉えておく方がよいと考える。というのは、引き続いて(B)、(C)の場合をローレンツ力から導き出すことはできないからである。この説明を第2レベルと言ってもよいだろうが、同じレベルの説明を(B)、(C)について行っている教科書は少ない。

このように言うと、(B)の場合は磁束線とともに動く座標系に立って考えれば良いではないか、という意見があるだろう。その座標系から見れば、磁束線は静止し導体は動く(A)の場合になる。ここで観測された起電力は元の座標系でも観測されるはずだ、というのである。しかし、この最後の議論は相対性原理を仮定してとになる。どちらの座標系においても起電力が観測されるか否かは、物理としては自明ではない。それは実験によって答えられるべきことである。そこにこそ、ファラデーの発見の意義がある。したがって、(B)を説明するのではなく、(B)の事実を受容れた上で、ではどのようにして起電力が発生しているのかを考えることになる。この場合、導体が静止しているのでローレンツ力は働かない。そこではいう関係が分ると、それによって(C)の場合も理解できる。こうして第2レベルの理解が完結する。

ここまで来ると、電束線の運動によって磁場が生じるという関係と併せて、電場・磁場の相対性ということも見えて来る。マクスウエル方程式のローレンツ変換不変性とか、ローレンツ力の変換性を経て、特殊相対性理論とのつながりも分かって来る。こうして、電磁誘導は相対論的現象の一つとして捉えられる一これは第3レベルの理解である。このレベルで議論すれば、電磁誘導についてもいろいろな説明ができる。たとえば、マクスウエル方程式中の発散則部分・ローレンツ力・相対論的力学を組合せて、電磁誘導のすべての場合を説明することもできる。18)相対論から出発して書かれた電磁気の本もいくつかある。

しかし、物理教育の問題として考えると、まず第1・2レベルの理解があって、次にその先へ進むことを考えるべきではないだろうか。相対性理論は、学生もし、映を持ち、またそれによってきれいな説明ができるので、使いたくなる。しかしたくなる。しかの変換性や物理法則と座標系との関係は最初から自明なことではなく、実験事実によって一つ一つ確かめて行くべきものである。その手続なしに相対性原理とものである。その手続なり方は、少中でよりないの通信討論の中では、ののような議論の中には思えない。高級」なものを見受けかりに、そのような議論を高校や大学初年級の教育の場でどうとからのだろよべ、理を勉強して来ているため、正直にいって電磁誘導をのしては、の理解すら完全にできているとはいえない。そこで、私は、ないの理解すら完全にできているとはいえない。そこで、私は、なにも高校物の理解すら完全にできているとはいえない。そこで、私は、なにも高校物の理解すら完全にできているとはいえない。そこで、私は、なにも高校物の理解すら完全にできているとはいえない。そこで、私は、なにも高校物の理解する完全にできているとはない。高校から大学初年にかけての物理の勉強とては、この程度のことをじっくりとやればよいのではないか、と思う。

この状況を踏まえて、大多数の学生にどのようにして物理の内容を伝えるかということが、物理教育の課題であろう。この通信討論のような議論も、教師自身が大いに勉強しかつ楽しむことも大切ではあるが、最後は現場における教育とどう結びつけるのか、言いっぱなしでなくそこまで考えるのが本当ではないか。

#### § 8. どう教えるか

これ迄述べて来たことをどう実践するか、一つの案を述べたい。

まず、電磁誘導については§7で述べた第1レベルをキチンと話すことが大前提である。

その上で、ここで取上げた部分については、次の2つのことをあらかじめ話しておく。

- (イ) "電流"の所で、起電力は非静電気的な機構によるものであることを、はっきりと述べておく。このためには、電池の内部では電場が電流と逆向きであることを示せばよい。
- (ロ)ローレンツ力は速度に垂直であることは、たいてい教えるであろう。ここで、運動の向きを直角方向へ変えることを強調しておく。たとえば、サイクロトロン運動のことを話せばよい。ローレンツ力は仕事をしないこととか、エネルギーも垂直方向へ変えることとかに触れるかどうかは、カリキュラムによる。

以上を踏まえて、電磁誘導の中の(A)の場合に起電力が生じるからくりの説明 として、図1の場合を取り上げる。その筋書きは次のようになる。

- (a) 導体棒がx方向に動くと、それとともに運動している自由電子に対してローレンツ力は運動をy方向に変えるように働く。
- (b)このためにy方向に電子が流れる。これは非静電気的な力によるものであって、起電力を与える。
- (c)ローレンツ力は運動の向きを垂直方向へと変え、それに伴ってx方向の運動エネルギーをy方向の運動エネルギーに変える働きを持つ。
- (d)どれだけのエネルギーがy方向の運動エネルギーに変ったかは、この方向に働くローレンツ力の成分Fyのする仕事を求めればよい。それから求めた起電力vBlは、ファラデーの法則から求めたものに等しい。
- (e) y方向に変えられた分だけx方向の運動エネルギーは減少する。棒の速度を一定に保つには、この減少分を補う仕事を外力によって加えねばならない。外力がなければ棒は減速してやがて静止する。この場合でも、棒が動いている間は起電力が生じる。

以上のことを、どの程度まで詳しく説明するかは、電磁気学全体のカリキュラムによる。これまでの私の講義では(b)と(d)の後半を述べていた。運動の方向の転換を強調しなかった。今年は工夫してそこまで話してみるつもりである。また、小著も改版の機会に書き直してみたい。

高校では、上記の全部を詳しく説明する余裕はないかも知れない。今の程度の分量の教科書では、記述はつぎの程度になろう。

「導体棒とともにx方向に動く電子は、磁場によるローレンツ力を受けてy方向に動き出す。こうして、 $A \rightarrow B \rightarrow C \rightarrow D \rightarrow A$ の向きに電流を流す起電力が発生する。この起電力を求めるには、電子がBからAへ移動した時にその方向になされた仕事 e v B 1 0 の電荷あたりの量を求めればよい。その値はv B 1 0 で、ファラデ

#### ーの考えから求めた値と一致する。」

この教科書を使って、上記の(e)のところまで話すか否かは、教師の裁量に任せればよい。(e)まで書いていないと正しくないから、いっそのことローレンツ力による説明はやめた方がよい、とは私は考えない。そのような厳格主義は教師の潔癖感を満足させるだけで、学生が物理的イメージをふくらませる機会を閉ざすものだからである。物理の説明というものは、もともと多層的な構造をしているものであって、ここまで話せば終りというものではない。教科書や教師の説明は、そのことを踏まえて、学生のイメージを喚起し、より深い理解へつながる問いを誘発すべく開かれていることが望ましい。

#### [参考文献]

- 1) 五十嵐靖則、物理教育学会誌、31(1983)158.
- 2) 金城啓一、 物理教育学会誌、32(1984) 40.
- 3) 青野 修、 物理教育学会誌、32(1984) 40.
- 4) 五十嵐靖則、物理教育学会誌、32(1984)194.
- 5) 小出昭一郎、「物理学(改訂版)」(裳華房、1984年)
- 6)中山正敏、 「電磁誘導」(共立出版、1984年)
- 7) 金城啓一、"導体を動かした場合の電磁誘導現象について"通信討論、1985年
- 8) 染谷太郎、"原稿『電磁誘導とローレンツ力の関係について(中山正敏氏)』 を読んで"、通信討論、1985年
- 9) 染谷太郎、 物理教育学会誌、33(1985) 45.
- 10) 馬場一雄、 日本物理学会第40会年会講演、31a A11-2(1985年)

## ローレンツ力起源の起電力の 説明について

東北大学 理学部

柴田普平

#### (概要)電池の機能は以下の3っにまとめられる.

①両極に分極して 電位差を作る。<<エネルギーの長距離輸送>>

②回路に沿った「力」
が電荷に働く、<<力の循環>>

③電荷がポテンシャルの坂を 昇れるよう電荷に仕事をする. <<エネルギーの供給>>

#### 図・0.

起電力の主要部分は②の段階に含まれている。本稿の第一目的は、起電力という言葉の中にある上の3つの側面を分析してみせることである。

第二の目的は、ローレンツ力起源の起電力の発生のメカニズムを解説することにある。 ここで読者は、起電力の厳密な定義やその求め方の妥当性に注意を払いすぎるべきでない。 そこで起こっている物理現象で最も生徒に知って欲しいことがなにかを明瞭にすべきである。 それは以下の3つであろう。

①磁場Bを横切って導体が動くと,導体内の荷電粒子(電荷q)には磁場と動いている 速度 v の両方に対して垂直な方向にローレンツカ q v × B が働く.

②ローレンツ力のためこの方向に分極が生じ、電位差が現れる.

③この電位差を利用して,抵抗を通して,電流を流そうとすると とたんに,運動にブレーキがかかる,これをエネルギー論で考えると,荷電粒子にローレンツ力が仕事をしな

いことに気付く. ▼の方向に外力を加えることにより荷電粒子に仕事をして初めて発電装置として働くことが理解される.

第一部と第二部はほぼ同じ内容である。第一部は、第二部で行った考察をもとにして、 授業の中にこのような説明を入れてみたらという試案を断片的に書いてみた。第二部では 詳しい考察をしている。それぞれは独立しているので、既にこの問題の考察を試みられた 方は第二部だけ読んで頂いても趣旨は分かると思う。

#### 図・0の補足

①のみ;例 充電されたコンデンサー.①+②;力の循環が存在し分極した状態.例 磁場中で動く単独の導体.①+②+③;例 電流が流れて働いている電池.

①②の機能が在っても実際に仕事をできない電池あある。これは内部抵抗の大きい電池 と呼ばれる。

#### 写写── 音IS 授業でこんな説明を加えてみては

#### 1. 電流 ---最も簡単な回路のなりたち---

図1 a のように電池につないだまめ球がつくしくみを理解しよう. それはこうである. 図1 b のように導体のリング(回路)を考える. 導体の中には自由に動く電子がつっまている. [自由電子]

図1 c のように右半分で回路に沿った力をこの 電子に与えると、電子が回路を循環しはじめる.

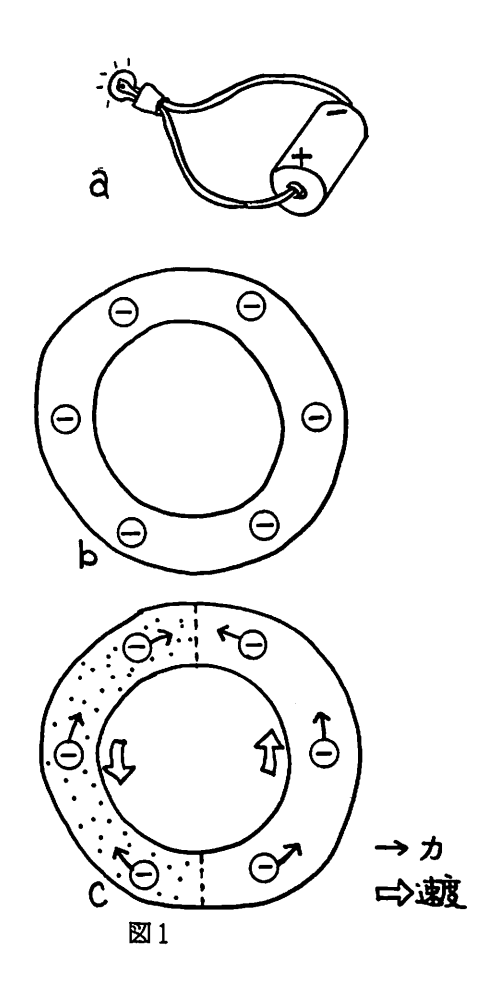
#### [起電力]

電子が循環し始めると、導体を作る正イオンによる散乱を受ける。このため速度に比例した摩擦力を電子は受ける。これは電気抵抗である。図では左半分にのみ抵抗があるように書いた。 [電気抵抗]

循環の速度が増すと摩擦力も大きくなりついに は左に回そうとする力と右に回そうとする力が釣 り合って、電子は等速で循環するようになる.

#### 〔定常電流〕

右側が電池(発電機)である、電気抵抗のある



所では摩擦熱が発生する. 充分熱くなると目に見える光を出すようになる. 左側がまめ球である. [ジュール熱]

2. コードをいくら伸ばしても「電気力」を利用できる、ナゼカ?



コードをいくら伸ばしてもまめ球がつくしくみを理解しよう。(静電場の性質は習っているとする。)

 今度は長方形の導体を考えるのがよい、CD間に起電力がありAB間に電気抵抗があるとする(図2b).

 日

 日

 日

 日

 日

 日

 日

 日

 日

 日

 日

 日

 日

 日

 日

 日

 日

 日

 日

 日

 日

 日

 日

 日

 日

 日

 日

 日

 日

 日

 日

 日

 日

 日

 日

 日

 日

 日

 日

 日

 日

 日

 日

 日

 日

 日

 日

 日

 日

 日

 日

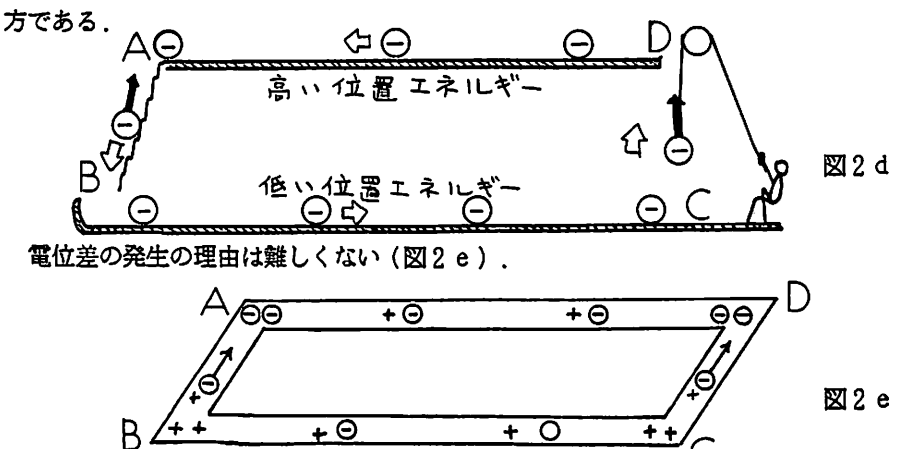
 日

 日

 日

 <

秘密は電位差の発生にある(図2c)、今の場合AD側が低電位、BC側が高電位になる。電子が負の電荷を持っていることに注意する。AD側の電子が高い電気的位置エネルギーを持っている。電子がCDへ移動する時CDに沿った力を受けて、電子は仕事をされて高い電気的エネルギーを持つ、AからBへは位置エネルギーを失い、摩擦熱を発生する。(図2d)電位差ができると導体内で電位を維持し、遠くでそれを熱に変えるというやり方である。



CD方向の力によってDに電子が集まる.従ってDが負にCが正に分極(帯電)する.

CD方向に電場Eができる。AB間ではA側に電子がつっかえてAが負にBが正に分極し、BA方向に電場Eができる。この電場によるAB方向の力と抵抗力が釣り合って電子は等速で進む。すなはち一定電流が流れる。CD間にも外力と電気力の間で同様な力の釣り合いが成立している。

AB、DCの長さをLとすると、ELボルトだけBCの電位が高い。

#### 3. 起電力の大きさの表し方

#### 3.1. 起電力の定義

図3のように、Xを負極、Yを正極、とする電池を考える、起電力の大きさは、起電力の原因となる(単位電荷あたりXYに沿って働く力)×(XYの長さ)で定義される;

$$V_{enf} = F/q \times L$$
 (1.1)

ここでqの電荷にFのXYに沿った力が働くとし XY = Lとした、このように定義した時、電流の 流れていない回路でのXY間の実際の電位差は起 電力の値に一致する、起電力の単位はボルトであ る、

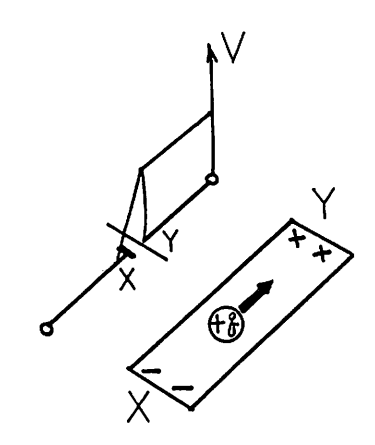


図3

起電力の測定は、電池に電流が流れていない状態で二極間の電位差を測る事でなされる。 測定装置はポテンシオメーターと呼ばれる。

上で定義した起電力が電流 I = () の時の両極間の電位差に等しくなることは前節の議論でほぼ示されたようなものであるが、ここで復習しておこう。

図3で、起電力の原因となるX Yに沿った力のためX は負Y は正に分極をおこしている、Y からX に向かった電場E が発生している、I=0 の時は電荷は静止していて、電荷に働く力F とQ E が釣り合っている、F=Q E . 従って、X Y 間の電位差は

$$V_{xy} = EL = FL/q \qquad (1.2)$$

となり上の起電力と一致する.

#### 3.2 実際上の問題

回路に電流を流すと電池の中を流れる電荷には速度に比例した抵抗力  $k \vee r$  働くため、電子に働く力の釣り合いの式は $F - k \vee = q E$  となる、 $X \vee T$  間のじっさいの電位差は

$$V_{XY} = EL = FL/q - kvL/q \qquad (1.3)$$

$$= V_{emf} - \Delta V \qquad (1.4)$$

もともとの起電力 V emr からは Δ V だけ下がってしまう。また電荷が流れていない時の力と同じだけの力を電荷が流れている時出せないようなこともありうる。そんなわけで電池が働いている時の両極の電位差は起電力からある Δ V だけ降下しているというのが普通である。

電流 I は I = e n v S ( e は電子の電荷、n は数密度、S は導線の断面積) なので上式の  $\Delta V = k v L / q$  は  $\Delta V = I r$  の形で書けて r を内部抵抗と言っている。

尚,「I=0のときの両極の電位差」で起電力を定義せずに(1.1)式によって定義するのは、磁場が変化していて静電場や電位が唯一に定義できないときにも起電力という型をひき続き利用するためである。

電磁誘導やその他いくつかの起電力の場合については回路に沿った力を考える事はやさ しい.しかし、化学電池のような場合は難しい.その時は(1.1)式のFLの部分をXから Yへ動いたとき電荷のされた仕事Wとみて、単位電荷あたりの仕事として起電力を定義す ることも可能である.

$$V_{emf} = FL/q = W/q \tag{1.5}$$

しかし回路に沿った力を及ぼすが電荷には仕事をしないというあまのじゃく (ローレンツカ) もいて両者の定義は一長一短である.

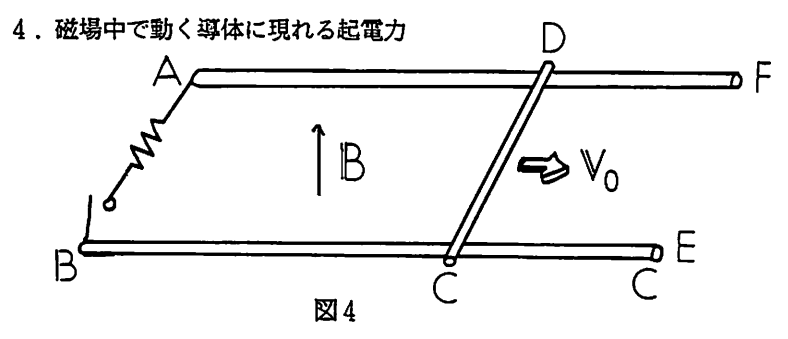


図4のようにコの字型をした導体のレールFABCEがあって、上方に向かって磁束密

度Bの磁場がかかっている。レールに掛けられた導体棒CDが図中右へ速度v。をもって動いているとする。AB間には抵抗を取りつけ、Bのところにはスイッチをもうけ、さしあたり開いておこう。

CD間に電位差があらわれる、ナゼカ?

CD内の自由電子はDCに垂直な速度v。を持つために、CD方向にローレンツ力を受ける.Dが負Cが正になるように分極を起こし、C側が高電位D側が低電位になることはいままで習ったことから容易に理解される.ここに発生した起電力の大きさは

である.

これまではスイッチを開いていたが、今度はスイッチを閉じ電流を流してみよう。スイッチが閉じられ電子がCDに沿って動き始めるやいなやv。と反対の方向にローレンツ力が働く、ブレーキがかかる。(1.5) 式の起電力を維持するためにはv。の方向に外力を加えなければいけない。

CDに沿った力だけでなくCDに垂直な力が必要になる、ナゼカ?

電子に働くローレンツ力はCDに沿った成分を持つが電子の速度に常に垂直なため、結局ローレンツ力は電子に仕事をしない、従ってv。方向に外力を加えない時は回路にエネルギーを与える事ができない、外力はエネルギーを供給するためにぜひ必要である。

回路の電流を I としてブレーキにみあった外力は F = I B L  $\overline{v}$  、この外力による仕事は その方向の速度を掛けて F v 。 . 毎秒 I 〔C〕の電荷を運んでいるので,単位電荷あたり の仕事量は

$$F/I = IBLv_0/I = v_0BL \qquad (1.7)$$

で,これは(1.6) でもとめた起電力に一致する.

ローレンツ力と外力の役割についてはエネルギーによる上述の議論は実は充分とはいえない。運動論的にも外力の重要性は示される。そこで理解を助けるための力学のアナロジーを第二部4節に与えたので是非参照されたい。

#### 第二部 いくつかの考察

#### 1. 指導の順序について

一つの慣性系で得られた法則をまず理解する.次に、他の慣性系を併せて考え、不変なものや変換則を学ぶ.この順が適切である.第一段階から第二段階へ入る時の導入としておもしろい問題が幾つかあって、そのいくつかが今回の「電磁気討論」で話題となった。

教科書のようなローレンツ力を電場にすりかえるようなやり方は第一段階にある高校教 科書では不適切である。

この問題は定常なので rot  $\mathbf{E}=0$ , すなはち電場がポテンシャル場になる – grad  $\phi=\mathbf{E}$ . 以下の議論では差し当たりこの条件の下で考える.

非定常の時はつぎの機会に述べたいと思っている。

〔補足〕一つの惯性系を指定したとき初めて電場・磁場は各々定まる。従って,一つの惯性系を指定しないで電場・磁場を議論してはならない。(「電気力 q E とローレンツ力 q v × B はそれほど厳密には区別できない物理量であるから...」といった議論の展開は誤っている。系が決まれば両者は厳密に区別される。)

磁力線が動くという考え方は避ける方がよい、物理的に過大にも過少にも評価しない 磁場の表象はひとつのベクトル場である。目に見易くするために磁力線を考えるが、磁力 線の運動の議論は意味がないし誤解を生む。

#### 2. (両極間の電位差) = (起電力)?

#### 2.0. はじめに

磁場中を動く導体の起電力を求めることは、棒の両端の電位差を求めることで達成される、従って導体棒内の電場がvBであることを示しこれに棒の長さを乗ずることで起電力が得られる。このように以前私は考えていた。しかしこの考えの中には電位差の発生と起電力の発生の間の関係をうやむやにしたところがあって、この考えは正しくない。このあたりの事情を明確にし、起電力のうまい定義を与えたいと思う

#### 2.1 導体内の電子系はエネルギーの運搬役

ひとつの電池とひとつの負荷からなる閉じた図5のような回路を考える。回路を作る導体を電子は自由に動くことが出来る。この多数の電子からなる系に対して、電池では仕事

がなされる、一方負荷ではこの電子系はエネルギーを失う(外に仕事をする)、電子系にされる毎秒のエネルギーを  $\mathcal{E}_{in}$ 、電子系が失う毎秒のエネルギーを  $\mathcal{E}_{out}$ とすると、  $\mathcal{E}_{in}$  =  $\mathcal{E}_{out}$ で、電子系はエネルギーを運ぶ役を勤めている

# 2. 遠方にエネルギーを伝達する手段を静電 気力は与える

電子系がエネルギーを運べるのは、図5でBC側で高電位・AD側で低電位になるからである。電子

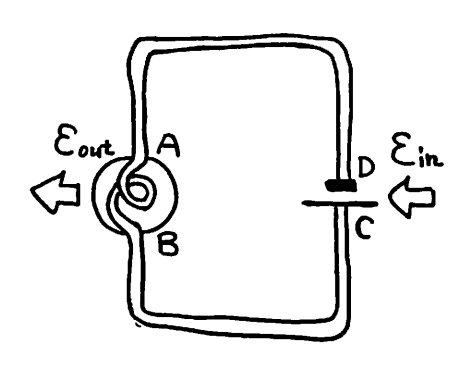
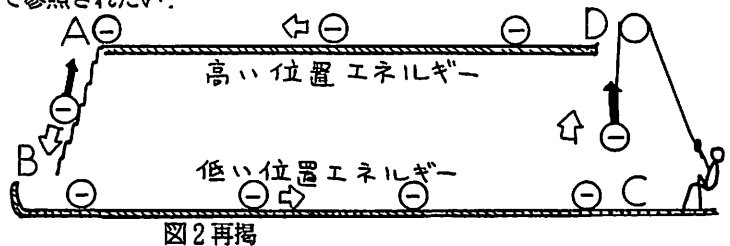


図5

がCからDに動く時、起電力の原因となる非静電的力をうけて、電子は大きな位置エネルギーを持つ、ついでAへ行き、AからBではこのエネルギーを失う、これはイオンとの衝突によるBからAの方向の摩擦力を受けるからである。この過程と等価な力学モデルを図2に示したので参照されたい。



以上のように電子系はポテンシャルエネルギーの形でエネルギーを運搬する. 従って導体で繋ぎさえすればどんな遠くへもエネルギーを運ぶことができる. これが電気が実用上重宝な理由である. 尚, 更に深い原因をたどれば, 静電気力が存在するためエネルギーが運べると言うことになる.

回路の負荷が仕事をしてくれるかどうかは電池の両極(CD間)に電位差ができるかどうかで決まる。このような現実の前に、電池の起電力というとまず両極の電位差のことを我々は考える。CD間の電位差はCD方向にできた電場EとCDの長さLとの積で求められる。

#### 2.3. Eはどのようにして求められるか?

ではどのような方法で導体中の電場が決まるのだろうか、電子の運動のしかた(このなかには電子が導体内に拘束されていることをもちろん含む),及び電子の分布(電荷分布 $\rho$ 。)が関係しているようにみえる、別な言い方をすれば、電子の運動方程式とガウスの法則( $\operatorname{grad} \mathbf{E} = \rho$ 。 /  $\varepsilon$ 。)が関係している、以下に電場の決まり方を説明する。

重大な現実は、電子に働く力は圧倒的に電磁力 ( $-eE-ev\times B$ ) が大きいことである。(ここで-eは電子の電荷、vは速度。) ほんの少しの電子の分布の偏りでも巨大な電場が発生する。次に大きいのは抵抗で生ずるイオンとの摩擦力である。更にe/m (mは電子の質量) が大きすぎるために電子の惯性は殆ど問題にならない。以上の点に留意して考えてゆく。

電子の運動方程式は

$$mdy/dt = -eE - ev \times B - \nu mv' + F \qquad (2.1)$$

ここで t は時間、v はイオンと電子の相対速度、従ってイオンの速度をv。とすると v = v - v 。,  $\nu$  は電子とイオンとの有効衝突頻度、F はほかの外力である。先に述べた理由で慣性項は除くことができる。電流密度  $\mathbf{j}$  = -e n v ' (n は電子の数密度)を導入すると、

$$\mathbf{E} + \mathbf{v} \times \mathbf{B} = \eta \, \mathbf{j} + \mathbf{F}' \tag{2.2}$$

ここで $\eta = \nu$  m / e  $^2$  n は抵抗率であり,F ' = F / e . (2.2) 式はオームの法則と呼ばれる.

E を求めるための細かい手続きを言うと、この式を  $rot E = \partial B / \partial t = 0$  (定常)に代入しEを消去し、電荷保存の式 div j = 0 と導体全体の運動方程式をあわせて解いて、  $v \Leftrightarrow j$  が求められる。その結果をオームの法則(2.2) に代入してE が求められる。最後にこのようにしてえられたE から

$$\rho_{\bullet} = \varepsilon_{\bullet} \quad \text{div } \mathbf{E} \tag{2.3}$$

として電荷分布がもとめられる.

以上がEの決まり方の大筋であるが、Eの決定に電子の運動方程式が重要な役割を演じていることがわかる。上式は微分形のためわかりずらいこともあるかとおもうが、五十嵐氏の論文で等価なことが行われているので比較するとよくわかる。

ここで述べたいことは細かな電場決定の手続きではない。起電力の発生する部分に抵抗がある時(確かに通常 $\eta \neq 0$ ),その部分の電場は,その部分の局所的な議論では決して求められない点が重要である。考えている部分から違く離れた場所の抵抗が,考えている部分の電流を変化させ,そのため(2,2) 式より求められる電場も変化する。

我々のもとの問題にもどれば、CD間に内部抵抗 rがあり AB間に抵抗 RがあるとCD間の電場はR/(R+r)に比例して変化する、従ってCD間の電位差もRとrによって変化する。

# 2.4. 電位差の発生と起電力の発生を分離しよう

2.2節でみたように、負荷で仕事をさせることを強く意識して起電力を考えるとCD間の電位差 $V_{cn}$ によって起電力を定義するのが自然である。しかし回路に電流 I が流れると電位は $I_r$  だけ減少する。すなはち  $I_r$  = 0 のときの電位差を $V_{cn}$  =  $V_{cn}$  =

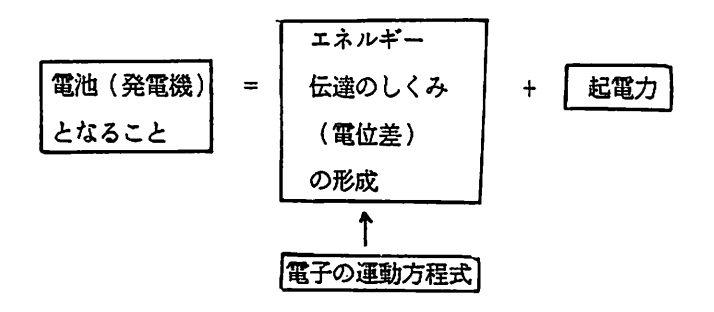
しかし、起電力のメカニズムに注目してそのメカニズム固有の特性を示す量として起電力を考えようとひとたび思うと、「I=0のときのCD間の電位差Vcoを起電力と呼ぶ」のがよいように見えてくる。この定義はブリッヂ回路で起電力を測定するときの考え方そのものである。

このような起電力の定義は起電力の発生機構に無関係な現象論的定義といえよう. 我々はこのあとこのような起電力の定義を棄てることにする. 単に「I = 0 のときのC D間の電位差で起電力が測定できる」と言うにすぎない.

節で述べたように、回路に電流を流そうとするもっと直接的原因——電子に働く力— 一がある。その力の結果として電子は動いてエネルギー伝達のしくみ——電位差——をつ くる。

起電力の直接の原因を考えて、それから導かれる自然な起電力の定義を以下の節で求める。

#### この節の結果:



- 3. 力の循環=起電力 vs エネルギーの供給=起電力
  - 3.0.はじめに

電池では、非静電的エネルギーが静電的エネルギーに変換される。起電力発生のしくみを示すことはこの変換のしくみを示すことに等しく、変換する「力」を示す量が起電力(起電圧) $V_{\rm enr}$  である。従って起電力は、電子系に与えられる毎秒のエネルギー  $\mathcal{E}_{\rm in}$ を用いて、 $I_{\rm V_{\rm enr}} = \mathcal{E}_{\rm in}$ で求められるだろう。すなはち $V_{\rm enr}$  は、単位電荷あたり $C_{\rm D}$  でされる仕事で求められそうである。

議論を精密にするために電子に働く力の回路に沿った線積分を考える.

## 3.1. 単純な例

まずはじめに考える回路は図6のようなものである; CからDへはなにかの外力Fが働いているとする.極端な想像をするならCからDへ電子を手でつまんで運ぶようなことを考える. AB間には抵抗力が働くとする.回路は動かない.従って電子の速度vは、電子のイオンに対する相対速度v, に等しく回路に常に平行である.電子に働く力は

$$- e \mathbf{E} - \nu m \mathbf{v} + \mathbf{F} = 0$$
 (2.3)

である. 2. 3節に述べたことから合力は 0 になる (力は釣り合っている).

回路を一周する線積分をこの式に施す(便 宜上 - eで割った)

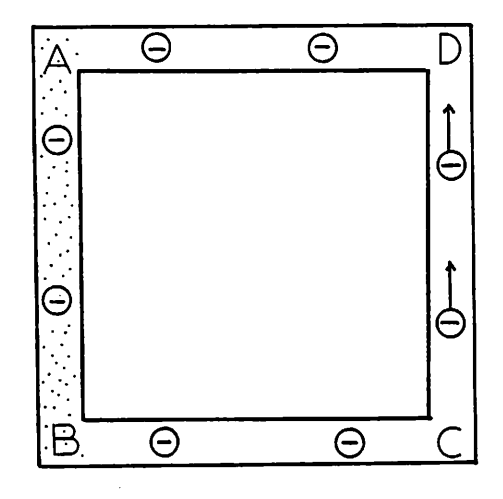


図6

$$\oint \mathbf{E} \cdot \mathbf{d} \, \mathbf{s} + \qquad \oint (\nu \, \mathbf{m} \, \mathbf{v} / \mathbf{e}) \cdot \mathbf{d} \, \mathbf{s} - \oint (\mathbf{F} / \mathbf{e}) \cdot \mathbf{d} \, \mathbf{s} = 0 \quad (2.4)$$

0の積分は0である、今Eは静電場なので $E = -grad \phi$ で

$$\oint \mathbf{E} \cdot \mathbf{d} \, \mathbf{s} = - \oint \operatorname{grad} \phi \cdot \mathbf{d} \, \mathbf{s} = 0$$
(2.5)

になる、従って

$$\oint (\nu m v / - e) \cdot ds = \oint (F / - e) \cdot ds \qquad (2.6)$$

電子は回路に沿って動くのでこの積分は(電子に働く力)×(電子の変位)になり(2.6) 式は電子系の単位電荷あたりの外力によりされる仕事(右辺)が抵抗力によって失うエネルギー(左辺)に等しいという意味をもつことになる。右辺は求めていた起電力の定義である。

(2.6) 式は抵抗力が回路のどの部分に分布していてもかわらない。右辺は回路に渡って Fのみを積分するからCD間に抵抗力があってもそれとは関係なく不変量として求められる。

CD間の起電力はF·L/-eである.

# 3.2. Venf & Vcn

前節で与えられた起電力の定義は

$$V_{emf} = \oint (F/-e) \cdot ds \qquad (2.7)$$

であった、CD間でのみ起電力があるときは、(2.3) 式を用いて少し変形すると、

$$V_{emf} = \begin{cases} D \\ (F/-e) \cdot ds = - \begin{cases} D \\ E \cdot ds + \begin{cases} D \\ (\nu m v/-e) \cdot ds \end{cases} \end{cases} (2.8)$$

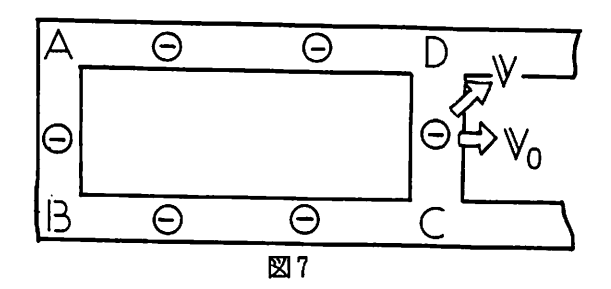
となる. ここでもし電流が0 (v=0) であるとすると、上式は

$$V_{emf} = -\begin{cases} D \\ E \cdot d s = \begin{cases} D \\ grad \phi \cdot ds = \phi_D - \phi_C \end{cases}$$
 (2.9)

となる.こうして「電流が0のとき両極の電位差 $V_{co}$ として起電力 $V_{conf}$ が測定できること」が示されたことになる.

## 3.3.ローレンツ力起源の起電力

次はいよいよコの字型のレールの問題;磁場があってCDの部分が動いている場合を考えよう.



こんどはCDが動いている。積分路が動く!そこである時刻を固定してその時の状態で 積分する、起電力はある瞬間における量として求められる。

今度は、電子に働く力にローレンツ力が入る。CDを動かす外力Fはイオンとの相互作用として電場を介して電子に伝えられる。しかしこの現実をそのまま扱うとイオンの運動方程式も連立して解かなければならない。これでは話がみにくくなるので、CDを引く力は直接電子に加えられたという簡単化をする。下の式でFはCD間でCDに垂直に働く外力である。力の釣り合いは

$$- e \mathbf{E} - \nu \mathbf{m} \mathbf{v}' - e \mathbf{v} \times \mathbf{B} + \mathbf{F} = 0 \tag{2.10}$$

となる。回路が動いているのでCD間では $\mathbf{v}' = \mathbf{v} - \mathbf{v}$ 。である。 $\mathbf{v}$ 。はCDの速度。 $\mathbf{v}$  と $\mathbf{v}'$  は等しくない。この式の回路を一周する積分をとると、

$$\oint \mathbf{E} \cdot \mathbf{d} \, \mathbf{s} + \oint (\nu \, \mathbf{m} \, \mathbf{v}' / \mathbf{e}) \cdot \mathbf{d} \, \mathbf{s} + \oint (\mathbf{v} \times \mathbf{B}) \cdot \mathbf{d} \, \mathbf{s}$$

$$+ \oint (\mathbf{F} / - \mathbf{e}) \cdot \mathbf{d} \, \mathbf{s} = 0 \qquad (2.11)$$

第一項についてはやはり(2.5) 式が適用できる。また $(v \times B) \cdot ds = (v \cdot x \times B) \cdot ds$  はs (なぜならv //ds, v o o ds), v o f o ds o ds

$$\oint (\nu \, \mathbf{m} \, \mathbf{v} / - \mathbf{e}) \cdot \mathbf{d} \, \mathbf{s} = \oint (\mathbf{v}_{0} \times \mathbf{B}) \cdot \mathbf{d} \, \mathbf{s} \tag{2.12}$$

を得る. 左辺は単位電荷が仮にこのままの状態で回路を一周したとして散逸するエネルギーである. 右辺が起電力. 電子系へのエネルギーの注入に対応する.

しかしここで重大な注意をしなければいけない、この式は回路の電子系がする仕事とさ

れる仕事のバランスを表していない、 $V_{enf}$  を回路の電子系に単位電荷あたりCD間で与えられるエネルギーとしようとしたはじめのもくろみどうりになっていないのである。この式は確かに(力)×(距離)の形をしているが、ds(回路の方向)と電子の速度vが平行でないために( $v \times B$ )・ds は回路の電子系にする仕事にならない。もし回路の電子系のエネルギーの収支を論じたいのなら電子に働く力に電子の速度vを乗じて

$$-\mathbf{e} \mathbf{v} \cdot \mathbf{E} - \mathbf{v} \mathbf{m} \mathbf{v} \cdot \mathbf{v}' - \mathbf{e} \mathbf{v} \cdot (\mathbf{v} \times \mathbf{B}) + \mathbf{v} \cdot \mathbf{F} = 0 \tag{2.13}$$

$$-\mathbf{e} \mathbf{v} \cdot \mathbf{E} - \mathbf{v} \mathbf{m} \mathbf{v} \cdot \mathbf{v} + \mathbf{v} \cdot \mathbf{F} = 0 \tag{2.14}$$

を体積積分するのが本筋である.回路の電子系は外力によって仕事をされ位置エネルギーを得る.ローレンツ力は電子の速度に常に垂直で電子系に仕事をしない.

繰り返しになるがこれまでの結果をまとめると次のようになろう。電子系にあたえられるエネルギーから起電力を定義しようと思って得た(2.12)式の右辺。

$$V_{emf} = \begin{cases} D \\ (\mathbf{v}_0 \times \mathbf{B}) \cdot d\mathbf{s} = \mathbf{v}_0 BL \end{cases}$$
 (2.15)

は電子系への単位電荷あたりする仕事の直接の表現でない。この表式は単にある時刻に於ける回路に沿った力と回路の長さの稿にすぎない。

では(2.6) ・(2.12)式の右辺で得られた起電 力は一体どのような物理的意味を持つのか?

答えは簡単である。図8 aのようなロの字の 回路を考える。導体の中には自由電子がある。 この回路に電流を流すには回路に沿ってぐるぐ るまわす力が働けばよい。これが最も率直な起 電力の表現である。

図8 bのような回路の電子にいろいろな方向 の力が働いているとする。この回路に結局どの ように電流が流れるかはこの力Fの回路に沿っ た成分をとり、その成分を積分すればよい。

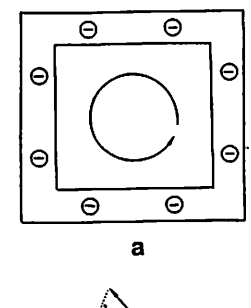




図8 b

$$\mathcal{O} = \oint \mathbf{F} \cdot ds \qquad (2.17)$$

これを力の循環と呼ぶ、単位電荷あたりの循環が起電力である。;

$$V_{emf} = \oint (F/-e) \cdot ds$$
 (1.17)

このよに起電力の最も本質的部分は(電子を回路の中に巡らせる力) = (力の循環)である.

図7でDCが回路に垂直な速度 v。を持つと回路に沿ったローレンツ力が働き循環を作る. (ローレンツ力) \*\* v。がミツで、回路に沿った力はそう簡単に作れないが、回路に垂直な運動は容易に作れるので、このこととローレンツ力の性質を利用して回路に沿った力をうまく作っている。まさしくローレンツ力起源の起電力というにふさわしい。

問題は解決していない。電子系へのエネルギーの注入と循環とはどのような関係にあるのか。そしてローレンツ力と外力の役割をどのように考えればよいのか。この点について以下の節で述べよう。

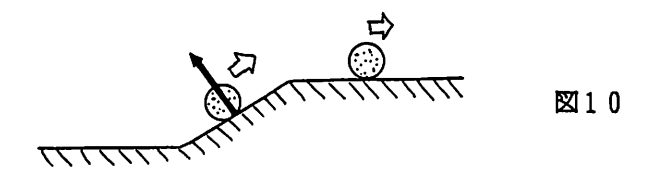
### 4. ローレンツ力と外力の役割

ローレンツ力と外力の共同によって電子が電気的ポテンシャルの坂を登ってゆくしくみ は以下の力学モデルによってわかりやすく説明すことができる。

なめらかな平面上を物体が等速度運動をしているとしよう;



この物体はこの物体の運動エネルギーにみあった分だけ高い重力の位置エネルギーを持つ ことができる。しかしこのままでは決してそれは実現されない。それを実現するには坂を 作ってやればよい;



これで物体は高い位置エネルギーを確保することができた. これを可能にしたのは斜面からの垂直抗力である.

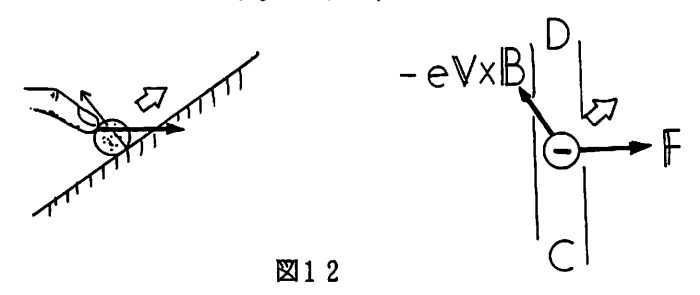
斜面からの抗力は物体に仕事をしないが運動の方向を変え、運動のエネルギーから位置 エネルギーへの変換のしかけを完成している。

コの字型のレールの問題に対してもっと直接的な力学モデルは、水平な力を加えて物体 に仕事をする時に現れる。

水平面上で物体に水平な力を加えても物体の位置エネルギーは決してふえない;



しかし斜面があると状況はがらりとかわる;



外力下が水平にもかかわらず斜面からの抗力のおかげで物体は坂を登ってゆく、水平な力を重力の方向に有効にしているのは抗力の働きである。右どなりに電磁現象との場合との比較をしてみた。左の斜面の図がどのようなモデルになっているかは文字を用いるより、2つの図をみくらべて考えることで充分わかると思う。

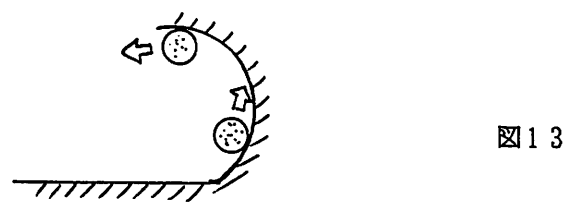
力学モデルでわかるようにエネルギー変換のしかけの中には正味仕事をしないが運動の 方向を変える力が働いているいうのはむしろ日常的である。

#### これまでのまとめ

- ①CDに垂直な運動を原因としてCDに沿った力(力の循環)を作るのはローレンツカ のやくめである
- ②ローレンツ力は仕事をしない、
- ③②から外力を加えて電子系に仕事をする力が必要である.
- ④ローレンツ力はCDに垂直な力をCDに沿った力に効くよう変換している.

しかしこれではまだ充分でない、いま回路を切った状態を考える。この時 I=0 で CD 間に分極を生じたところで電荷はとまる。CD の速度が v 。のままでも外力はいらない、ひとたび回路を閉じると電子はCD方向に運動を始める。すると とたんに -v 。方向に力が働く、ここでいわば第二のローレンツ力がでてくるがこのローレンツ力の出現と関連

した問題がある.



のような面が現れる.これは磁場中の旋回運動のことをさしている.あくまで順調に物体が上方に登るようにするためには坂をむりやり;



とつくらねばならない。この役目を外力がはたしている。これは磁場中の荷電粒子のドリフトが外力Fを原因として $F \times B / q B^2$ で表せることのモデルである。外力の役割は単にエネルギーの供給だけではなく,電子がCからDに移動するために運動学的に必要なのである。まとめの中に

⑤電子がCDへ移動するためにはv。方向の力が必要である。 をくわえなくてはならない。

(1) 日本物理教育繁花 Vol. 32 194

# 「物理教育」が問題なのだ

- 電磁気学通信討論における私の基本主張 -

信州大学 理学部

勝木 渥

染谷氏の「平行二直線電流間力の検討」('85.2.26 付)に対して4月25日付で述べた見解,および それに対する染谷氏の7月10日付意見に対して8月5日付で述べた見解が以下のものである。

#### 4月25日付 見解

#### 1. はじめにに対して

操谷氏は、私の最初の論文(『物理教育』31 33 )の問題提起の主目的を全く理解していない。私の主目的は、特殊相対性理論の講義のさいに、2つの直線電流間の力が教材として使えるということを示すことにあった。静電的なクーロン力と力のロレンツ変換とから、電流の作る磁場の中でのもう1つの電流が受ける力が導き出されるということの面白さを示すことにあった。

"Feynmann の議論と勝木の論文とでは扱っている力が異っており、そこに勝木論文の意義がある"との旨のことを染谷氏は述べているが、これは見当違いである。そのちがいは、私の単純な考え落としから生じたことであり(この点は青野氏の明快な指摘によって解決した)、電流の流れているときの導線の電気的中性を前提として論を進めた Feynmann の物理的センスの確かさと、電流のないときに導線が電気的に中性だと(固定観念的に)思いたがる私の物理的センスの俗っぽさとのちがいのあらわれでもあった。

## 2. S, S' 系における力の性質についてに対して

染谷氏は、私が「物理教育」の教材としてこの問題を取り上げているということが理解 できていない。

私は私の学生たち(物理学科以外の学生をも含む理学部1,2年生)を念頭におき,次

のような考え方を展開した。

まず、導線中の電荷を正電荷と負電荷にわけ、正電荷に働く力と負電荷に働く力とを合わせたものが導線に働く力であると考えた。(私の論文を批判的に論じたいならば、まず、この考え方の当否を批判的に論ぜよ。)ついで、それぞれの電荷に働く力が静電力になるような座標系に移ってそれぞれの電荷に働く力を求め、それを(力のロレンツ変換によって)実験室系にもどして、実験室系での導線に働く力を求めるということをやったのである。(したがって、電磁場の変換それ自体を、ここでは前提とも問題ともしていないのである。むしろ、この教材がのちの電磁場の変換のための伏線にもなるのである。)

私の議論を「堂々めぐり」だというのは、染谷氏が私の議論の筋道(物理教育の場での、学生の状態についての私なりのある想定に基いての)を理解しえておらず、染谷氏の頭の中でそれが「堂々めぐり」になるような論理展開の枠組みを作っているからである。(染谷氏の枠組みも間違いではない。私のやり方も間違いではない。染谷氏の間違いは、染谷流の枠組み以外のものは間違いだと思ってしまう点にある。)

#### 3.4.S'系での力,普通の電磁気学と相対論的電磁気学に対して

原稿「ふたたび、二つの直線電流間に働く力について ― 物理教育の問題として ― 」で私は「電磁現象を特殊相対性理論の立場から考察して導き出した結論は"ふつうの電磁気学"に基いて導き出した結論と厳密に一致しなければならない」と考え、「両者を比較する場合は厳密に一致することを示すべきである」と主張した。この主張の当否について、染谷氏は端的には述べていない。染谷氏は、私のこの主張を、正しい・もっともなことだと考えるのか、それとも「常に相対論の結果を古典論のそれと一致させようとする観念は捨てるべきである」と今なお考えておられるのか、yes か no かではっきりと答えてほしい。

これは染谷氏の理解が根本的に誤っているか否かを判定するために必要である。

#### 5. おわりににたいして

染谷氏の論文(『物理教育』32.58)中の、私の指摘した誤記はほとんど致命的ともいえる誤記である。同論文 8.3 (1)式について、その特別な場合としての静止点電荷間の力と(1)式との不一致、(7)と(8)との次元の不一致、8.5での相対論の結果と古典論の結果との比較に関する明らかに誤った見解の表明等は、この染谷論文を全く信用のおけない論文だと私に思わせた。私の論文に対する見当ちがいの批判が述べられていなかったら、私が染谷論文を精読することはなかったであろう。

染谷氏は「教育のための努力と研究のための活動とをはっきりとは区別していない」で、「研究により得られた結果はどれもすばらしい教材になり得る」と考えておられるようであるが、研究結果が教材となりうるためには具体的な教育の場の設定(どのような学生・生徒に対して、どのような意図・目的のもとに、何を教えたいか)と、その場にふさわしい教材にするための独自の作業が必要なのである。私が「物理教育」の場から提起した問題への染谷氏の見当外れの批判と応答は、まさに「教育のための努力と研究のための活動とをあまり区別しない」(=教育には教育独自の作業と努力とが必要であることを理解せず、研究さえしていればそれで充分だとする)立場から生まれたものである、と私は考える。

すでに原稿「ふたたび・・・・・」で書いたように、二つの直線電流間に働く力については、 物理学的には解決ずみである. 染谷氏が解決ずみの問題に、論文(『物理教育』<u>32</u>58) によって、混乱をもちこんだのである.

私の言いたいことは、基本的に原稿「ふたたび・・・・・」とそれへの「補足」で尽きており、あとは染谷氏が物理学と物理教育の立場から、私の主張をどれだけ理解しうるかにかかっている。3.4.の項で私の述べた質問に yes か no かで染谷氏が端的に答えてくれることを望む。

#### 8月5日付 見解

- 1. 染谷氏は勝木の論文の主目的を明確に理解していると述べているが、氏の書いている ことからも明らかなように、氏は「物理教育の教材」としての問題提起の意味を全く理 解しえておらず、「物理学の問題」としてのみ理解している。
- 2. および 3. 私は、負電荷・正電荷にはたらく力が、それぞれ静電的なクーロン力になるような系で力を考え、それをもとの実験室系に移したのである。ある座標系における力を別の座標系における力に変換することは、その力の原因が何であろうと、力の変換則により行うことができる。
- 4. これは、電磁気学の理論体系と特殊相対性理論の理論体系との相互の関係に関する理論的認識にかかわるものである。染谷氏の yes の答えは、基本的認識の誤りを自ら認めたに等しい。電流 I は電荷密度  $\rho$  と速度  $\nu$  の積であり、電磁気学であらわに現われるのは、I であって  $\nu$  ではないから、 $\rho$  が小さくて  $\nu$  が大きい(1に近い)場合のことも正しく表わされておらねばならぬ。恣意的に  $\rho$  1 とおいてはいけない。  $\rho$  1 の場合にも正しい表式が得られていなければならない。  $\rho$  1 の時には正しくない表式が得られたとしたら、どこかに考え落としがあるのである、私が帯電した導線の間のクーロン力を考え落としていたように。
- 5. 染谷氏は、私が氏の誤記を重ねて指摘したことを執拗過ぎると非難している。しかし、 私は敢えてもう一度いうが、このような初歩的誤記は、他人に自分の論文を読ませよう とするときには、致命的である。私には染谷氏の批判に答えようとの気持があったから、 染谷論文を染谷氏の意図のとおりに読み取ろうとして、補い読みをしたけれども、その ためにはかなりの余分の時間を要した。その気持がなかったら、私は染谷論文を読まず に捨て置いたであろう。

染谷論文の物理学的に致命的な誤りは、うえの 4 で指摘したとおりである。

また、研究と教育の関係について染谷氏を批判した私の意見を染谷氏は、染谷氏の立場を『・・・・・研究さえしていればそれで充分だ』と曲解するものだとしている。染谷氏が『・・・・・』と書くだけであらわには引用していない部分にこそ、私の強調したいことがあった。つまり、『教育には教育独自の作業と努力が必要であることを理解せず、研究さえしていれば・・・・・』。引用文におけるこの肝心な部分の脱落といい、うえの 1 で指摘した理解のし損ないといい、染谷氏の教育に対する基本的無理解を示している。

# 電磁気学通信討論の要約

静岡大学 工学部

染谷太郎

論文概要: §1では勝木氏の論文(文献1)の内容が受け容れ難いものであることを述べる。§2では平山氏の論文(文献2)の結論が場の基礎方程式に反する点を指摘する。§3では三門氏の論文(文献3)に対する批判的な考えを示す。§4では私の論文(文献4)に関連して、電磁誘導起電力および関連事項について考えを示す。

## § 1 平行二直線電流間の力

勝木氏の文献1は氏の以前の文献5に関連する私の文献6に対して氏の正当性を主張した形になっている。文献5の取り上げた第1モデルでは、S系(実験室系)で平行な導線i、j中を速さvで動く電子により電流I、Jが流れる。文献5の結論は

「二つの直線電流の間に働く力を静電的クーロン力に帰着させることができる。」 (I)

である。文献6の結論は

「S'系 (電子と共に動く系) でも電流間力はやはり事実上電磁的である。」 (II)

である。

S系でiにおけるローレンツ短縮によりj中の負電荷が静電力を受ければ、jの正電荷も静電力を受ける。j中のローレンツ短縮を考慮してもjに働く正味の静電力はS系における電磁力の $\beta^2$ 倍( $\beta=v/c$ )のオーダーの量である。S'系では正電荷の間には電磁力が働き、これはS系における値と同オーダーの量である。

文献 1 、5 では j 中の負電荷に働く力のみを考え、S '系では負電荷密度  $\sigma$  - 'が電界 から受ける力は

$$\mathbf{F}' = \mathbf{C}' \mathbf{E}' \tag{1}$$

であるとし、さらに をS系で見ると負電荷密度 σ-に働く力が

$$\mathbf{F} = \mathbf{F}' \tag{2}$$

となるとしている。結論(1)は(1)式のみに関係するもので、(2)式は不要であり、

一種の堂々巡りとなっている。(1)式から言えることは、S系で負電荷に働く電磁 力がS'系では同電荷に働く静電力であるということであって、結論(1)ではない。 結論(I)はS'系で正電荷に働く力を考えないことから来る誤りである。この点は 思考の出発点をS'系の状態に置いてみれば一層明らかである。このとき正電荷に 働く電磁力を無視することはあり得ないであろう。

文献1は普通の電磁気学の結論と相対論的電磁気学のそれとが常に厳密に一致す べきであるとしている。この点に関連して文献5で取り上げられている第2モデル では、S系において電流が流れていないときに、i、iが電気的中性に保たれる。 電子の運動によりi、jに電流が生じ、これらの間に電磁力が働く。S系でのこの 電流はローレンツ短縮を考慮するか否かにより1に対しβ2のオーダーの量だけ異 なる。相対論と非相対論の結果は電磁力の大きさそのものについてすでに異なって いる。S系でローレンツ短縮による静電力が働くか否かも両理論の結果の相違であ る。

#### **§ 2** 相互誘導起電力の起源

平山氏の文献2の結論は運動電荷による誘導場がすべてスカラーボテンシャルか ら導かれるということである。この結論は場の基礎方程式

$$\mathbb{E} = -\frac{\partial \mathbb{A}}{\partial t} - \nabla \phi \tag{3}$$

に反する。運動電荷の相対論的ポテンシャルは

$$\phi = \frac{g}{4\pi\epsilon_0 s} \tag{4}$$

$$A = \frac{qv}{4\pi\epsilon_0 c^2 S} \tag{5}$$

 $A = \frac{\text{�v}}{4\pi\epsilon_{\text{o}}\text{C}^{2}\text{S}}$  (5) により与えられる。  $S = \text{r} - \text{r} \cdot \text{v}/\text{c}$  である。  $\sim$ は遅延位置における量を意味 は電荷から観測点への位置ベクトル、2/、 のは電荷の速度、加速度である。 変数の変換

$$\frac{\partial}{\partial t} = \frac{1}{x} \frac{\partial}{\partial t} \tag{6}$$

$$\nabla = \nabla - \frac{r}{cs} \frac{\partial}{\partial t} \tag{7}$$

を用いて(3)式を計算する

$$-\nabla \phi = \frac{g}{4\pi\epsilon_0} \left\{ \frac{1 \mathcal{K}}{S_n^{2}} - \frac{\mathcal{R}}{S_n^{2}} + 2 \frac{(\mathcal{K} \cdot \mathcal{R})}{S_n^{2} \mathcal{K}} \mathcal{K} - \frac{\mathcal{R}^{2}}{S_n^{2}} \mathcal{K} + \frac{(\mathcal{K} \cdot \mathcal{R})^{2}}{\mathcal{K}^{2} S_n^{2}} \mathcal{K} + \frac{\mathcal{R}(\mathcal{K} \cdot \mathcal{R})^{2}}{\mathcal{K}^{2} S_n^{2}} \mathcal{K} \right\}$$
(8)

$$-\frac{\partial A}{\partial t} = \frac{g}{4\pi\epsilon_0 C^2} \left\{ -\frac{\kappa_0}{\kappa_0^2} - \frac{\kappa_0 \kappa_0}{\kappa_0^2} \psi + \frac{\kappa_0 \kappa_0}{\kappa_0^2} \psi - \frac{\kappa_0 \kappa_0}{\kappa_0^2} \psi - \frac{\kappa_0 \kappa_0}{\kappa_0^2} \psi \right\}$$
(9)

を得る。文献2では(8)、(9)式をβに関して展開し、その一次のオーダーまで考慮 して点電荷による電界を導いている。さらにこの結果に基づき電気的に中性な回路 上に密度Noで分布する運動負電荷による電界が

$$\mathbb{E} = -\frac{gN}{4\pi\epsilon_0 c^2} \oint \frac{a}{r} dl_1 \tag{10}$$

であると結論している。  $d_{\rm h}$  は回路に沿う線素である。また(10)式を別の閉路について線積分して電磁誘導による相互誘導起電力を求めている。しかし(10)式は(8)式のみから出て来るものであって、もしこれが正しければ電磁誘導に関して(5)式のベクトルポテンシャルは不要となる。実際には、(8)、(9)式で  $\beta=0$ 、 $\beta=0$  として  $\infty$  を除けば、非相対論的なよく知られた結果

$$-\nabla \phi = \frac{g \, \text{lr}}{4\pi \, \mathcal{E}_0 \, \text{r}^3}$$

$$-\frac{\partial A}{\partial \tau} = \frac{g}{4\pi \, \mathcal{E}_0 \, C^2} \left\{ -\frac{\Omega}{r} - \frac{(\text{lr} \cdot V)}{r^3} V \right\}$$
(12)

が得られる。(12)式の右辺第1項を同様に AV について線積分すれば形式的には (10)式に一致するがその出所は全く異なる。文献 2 における(10)式の導出にはかなり特殊な仮定や計算方法が含まれていて、私には納得できなかった。そこで反証のための計算も試みたが私の方にも不注意による誤りがあって目的を果さなかった。しかし(10)式が(5)式に全く関係していないごとだけで、十分な反証になる。(10)式が(8)式から出て来るものであれば、(8)式の左辺の性質から考えて、(10)式を閉曲線に沿って観測点座標について線積分したものは必ず零になる筈である。平山氏は遅延効果により  $\nabla \phi$  の線積分も零にならないと主張するのであるが、そのような効果も含めて、スカラーボテンシャルによる電界が観測点の時刻、位置により $\nabla \phi$ で表されるのであるから、その線積分が零になるのは、全く数学的な事実である。また文献 2 では(9)式の第 2 項を  $\beta$  2 のオーダーとして省略するような考えが取られているが、 $\beta$  = v  $\ell$  であるから、この項は  $\ell$  に関して零次の量である。したがって非相対論的な電磁気学でも省略されない。

#### 83 変動する電磁場の相互作用

三門氏の文献3では、マックスウェルの式から導かれた

$$-j \times B = \mathcal{E}_o \frac{\partial E}{\partial t} \times B - div T_m$$

$$-\rho E = \mathcal{E}_o E \times \frac{\partial B}{\partial t} - div T_e$$
(13)

が、電流密度 J、電荷密度  $\rho$  の場に及ぼす反作用力と解釈されている。 $T_m$ 、 $T_n$  は磁気応力テンソル、電気応力テンソルである。負号により反作用力を表そうとしているが、これらの式の力が及ぶのはやはり J、 $\rho$  である。同じ実体に作用力、反作用力が同時に加わることはないので、これらの式は反作用力とは言い得ない。これらの式を積分形

$$\int_{\nabla} (j \times B + \varepsilon_0 \frac{\partial E}{\partial t} \times B) dv = \int_{S} T_m \cdot dS$$

$$\int_{\nabla} (\rho E + \varepsilon_0 E \times \frac{\partial B}{\partial t}) dv = \int_{S} T_e \cdot dS$$
(14)

になおしてみるとこの点が明確になる。(14)式は や変動する電磁場を含む領域に対してその表面SからTuにより作用力が及ぶことを示している。(15)式も同様に作用力の式である。(13)式も結局作用力の式である。

文献3では ★= ε o E x B を j から及ぼされる反作用力の一部と l さらにこの力は変動電場が磁場から受ける力であると解釈する。また # = ε o E x o D と を p から及ぼされる反作用力の一部と l さらにこの力及であると解釈する。また # = ε o E x o D と解釈する。また # = ε o E x o D と解釈する。また # = ε o E x o D と解釈する。また # = ε o E x o D と解釈する。また # = ε o E x o D と解釈する。との力と解釈する。との力と解釈する。との方と解釈であるとは変動磁場がである。ないのでは電場が磁場がである。ないのでは電場が磁場がある。の間に働く反作用力を考えるといる。ないが、これはマックスののではる反作用力 - # o 可以にはならないが、これはマックスのではるではないのでは、磁場を対したが、このにはは、 o D によって、 o D であってを実体とする考えの成立しなおしたをのと考えられる。 o D = o x o D であってもこの力の正味の値が零でないときには場が成立するであろうが、以上の点を指摘する。

## § 4 電磁誘導に関する基礎事項

この説は私の文献4に関連するが、通信討論の仮定で述べた内容の多くは文献4 の改訂原稿の形で投稿してあるので、ここでは簡単に済ませる。

ある系での起電力とはその系で静止する負荷に電流を生じさせるものであると私は考える。起電力は電界の線積分の形で負荷に加えられる。導体回路が変形しても運動もせずに起電力が生ずるばあいには、回路を取り除いても起電力の原因となる電界は空間に分布している。変形しない回路が運動して始めて起電力が生ずるばあいには、回路と共に負荷を運動させこれらと共に運動する系で観測すれば、起電力の原因となる電界はやはり空間に分布すると考えられる。以上二つのばあいには、電磁誘導現象はそれぞれの系で

$$\mathbb{E} = -\frac{\partial A}{\partial t} \tag{16}$$

により表される。回路の一部が速度 で変形して始めて起電力が生ずるばあいには、がその原因であるが、これに応じて回路中に生じた静電界が負荷に加わるべき起電力としての電位差を生じる。このばあいには回路を取り除けば起電力は空間に分布せず、電磁誘導現象を記述する式は(16)式の右辺を零としたものと考えられる。回路があるばあいには、その起電力は磁束の減少率として

$$\mathcal{E} = -\frac{d\Phi}{d\tau} \tag{17}$$

で与えられる。(16)式から(17)式を導くことができる。第3のばあいには、回路があることにより起電力が生ずる点が前の二つのばあいと異なっている。このばあいにも回路の運動部分と共に運動する座標で観測すれば(17)式が成立するのであるが、このような系では負荷に起電力を加えることができない。(17)式の形でしか起電力が考えられない状況では、 $W \times B$  に相当する静電界が  $V \times B$  による駆動力を起電力としての電位差に変換している点が重要である。五十嵐氏などは  $V \times B$  を単位電荷に働くローレンツ力と考え、これが行う仕事として起電力を考えるべきであって、静電界による電位差を起電力と考えるべきではないとしている。しかしV は電荷の速度ではないので  $V \times B$  は電荷に働くローレンツ力ではないし、このローレンツ力

は必ず電荷の速度に垂直であるから、ローレンツ力は決して仕事をしない。起電力の根源は回路の面積を変化させている機械的な力である。

(17)式は閉回路に生ずる電磁誘導起電力を尤も一般的に表す。しかし空間に分布する電磁誘導電界を表しているという意味で、(16)式を電磁誘導の基本式と考えたい。電荷qが速度Vで運動するとき、 $- Q(\partial A/\partial t)$  は電磁誘導に関係する力と考えるけれども、Q  $V \times B$  は一般にそう考えない。単一電荷に関して、ローレンツ力を電磁誘導起電力に関係づける必要はないように思う。

#### 文 献

1. 勝木 渥:保留投稿論文(ふたたび、二つの直線電流の間に働く力についてー物理教育の問題としてー)

2. 平山 修:保留投稿論文(相互誘導起電力の起源)

3. 三門正吾:保留投稿論文(変動する電磁場の相互作用について)

4. 染谷太郎:保留投稿論文(電磁誘導に関する基礎事項)

5. 勝木 渥:物理教育, 31(1983) 33 6. 染谷太郎:物理教育, 32(1983) 58

# 平行二直線電流間に働く力について

千葉県立東葛飾高等学校

三門正吾

平行二直線電流間力をまず場の変換の立場から整理し、ローレンツ短縮を考慮に 入れると、実験室系でも運動系でも一致することを示す。次に相対論教育の中での 役割につていも考えてみる。

#### 1. はじめに

平行二直線電流間に働く力を場の変換に至る特殊相対論の1つの導入教材とするかどうかについての議論は後述することにして、ここでは、この問題を場の変換性の立場から一度きちんと整理をしておきたい。その場合、ガリレイ変換とローレンツ変換の両方の立場から考えてみる。

#### 2. 電磁場の変換

実験室系をS系として、S系に対して速度 vで運動する観測者の系を運動系S'とする。S'系から見た電界および磁界は、ガリレイ変換の立場からは、

$$E' = E + v \times B$$

$$B' = B - \frac{1}{2}v \times E$$
(1)

となる。'はS'系から見たということを表すとする。また、EとBは相対運動方向に垂直とする。

同様に、ローレンツ変換の立場からは、5'系の見る電磁場は

$$E' = \gamma (E + v \times B)$$

$$\mathcal{B}' = \gamma (\mathcal{B} - \frac{1}{c^2} w \times \mathcal{E}) \tag{2}$$

となる。ただし  $\Upsilon = 1/\sqrt{1-\frac{v^{\intercal}}{c^2}}$  である。

# 3. 問題の設定

図1のように、電流」が流れているとき、正電荷と負電荷の線密度をそれぞれ

 $\rho_+$ 、 $\rho_-$ とする。そして、 $\rho_+$ は静止し、 $\rho_-$ は図1のように $\nu$ で動いているとする。  $\rho_+$ は $\rho_-$ を打ち消しているとすると、

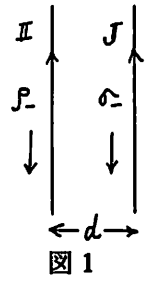
$$\rho = \rho = -\rho \qquad (中性条件) \qquad (3)$$

$$I = f_{-} w = -f w \tag{4}$$

である。同様な条件を電流 についても設定する。簡単の ため σ-もやはり で動いているとした。したがって

$$\sigma \equiv \sigma_{+} = -\sigma_{-} \qquad (中性条件) \tag{5}$$

$$\mathbb{T} = \sigma \cdot \mathcal{V} = -\sigma \mathcal{V} \tag{6}$$



## 4. ガリレイ変換で考える。

まずS系からみたとき、『の位置にある場はBのみである(図2)。その大きさは

$$|B| = \frac{\mu_0 I}{2\pi d} = \frac{\mu_0 \rho v}{2\pi d} \tag{7}$$

B C

である。 $\sigma$ -に作用する単位長さあたりの力を $f_+$ 、 $\sigma$ -に作用するそれを $f_-$ とする。 $\sigma$ -は静止しているから $f_+$ = 0 なので、

図2. S系から**J**をみる

であり、その大きさは(7)を用いて、

$$|f| = \sigma v \cdot \frac{\mu \circ P v}{2\pi d} = \frac{\mu \circ IJ}{2\pi d} \tag{9}$$

となる。これはいわゆる普通の電磁気学の結果である。

次にS'系からどう見えるか考えてみよう。丁 の位置にある

$$E' = V \times B$$

$$B' = B$$

$$C_1(10)$$

$$E' = W \times B$$

となる。線密度は変化しないから、図3を参照して、

図3. S'系から】をみる

$$f'_{+} = \sigma_{+} E' + \sigma_{+} (-\psi) \times B'$$

$$= \sigma \psi \times B - \sigma \psi \times B$$

$$= 0$$
(11)

$$f' = \sigma \cdot F' = -\sigma w \times B \tag{12}$$

$$f' = f'_{+} + f'_{-} = -\sigma v \times B$$
 (13)

が から受ける力はS系でもS'系でも $\sigma$ -の部分が受けるのであり、(8)と(13)をみればわかるように、その大きさと向きは両系で一致する。

#### 5. ローレンツ変換で考える。

まず、S系から見たときは、図2を参照すれば古典的な場合と同じで $f=f_++f_-=0+\sigma_v$ v $B=-\sigma_v$ vB (左向き) (14)

$$|f| = \sigma v \cdot \frac{\mu_0 f v}{2\pi d} = \frac{\mu_0 I J}{2\pi d} \tag{15}$$

となる。

つぎにS'系から見たときは、E = 0 だから(2)より

$$E' = \Upsilon \Psi \times B$$

$$B' = \Upsilon B$$
(16)

となる(図4)。S'系においては、今まで静止していた $\sigma_+$ が $-\psi$ で動き、 $\psi$ で動いていた $\sigma_-$ が静止するので、ローレンツ短縮と逆短縮から

$$\sigma'_{+} = \gamma \sigma_{+} = \gamma \sigma$$

$$\sigma'_{-} = \frac{\sigma_{-}}{\gamma} = -\frac{\sigma}{\gamma}$$
(17)

 $\begin{array}{cccc}
-V \\
& B = rB \\
& \Theta \\
& E' = T V \times B \\
& S' 系 から J を みる
\end{array}$ 

図4

となる。図4を参照して、

$$f'_{+} = \sigma'_{+}E' + \sigma'_{+}(-v) \times B'$$

$$= \delta \sigma \left\{ rv \times B - v \times rB \right\}$$

$$= 0$$
(18)

$$f_{\perp} = \sigma_{\perp}' E' = -\frac{\sigma}{r} ( \mathcal{F} V \times B ) = -\sigma ( W \times B ) \quad (左向き)$$
 (19)

$$f'_{-} = f'_{+} + f'_{-} = f'_{-} = -\sigma \psi \times \beta$$
 (20)

$$|f| = \sigma v \cdot \frac{\mu_0 \rho v}{2\pi d} = \frac{\mu_0 IJ}{2\pi d} = |f|$$
 (21)

単位長さあたりの電流 Jが I から受ける力は S 系でも S '系でも σ - の部分が受け、しかも両者の結果が一致するのは相対論でも同じである。力もやはりローレンツ変換に伴って変換するのであるが、ここでは単位長さあたりに働く力を考え、しかも、その長さのローレンツ短縮を考慮に入れるので、 S 系と S '系の結果が一致するのである。

#### 6. 平行二直線電流間力のローレンツ短縮とクーロン力による説明

同一方向に流れている平行二直線電流間の引力は、電流 I がローレンツ短縮を受けて電気的中性が破れたためであるとして説明することができる。(17)と同様に

$$\begin{array}{ll}
\mathcal{L}' = \mathcal{L}' = \mathcal{L}' = \mathcal{L}'
\end{array}$$

$$\begin{array}{ll}
\mathcal{L}' = \frac{\mathcal{L}}{\mathcal{L}} = -\frac{\mathcal{L}}{\mathcal{L}}
\end{array}$$
(22)

が成り立つから、

$$f_1' + f_2' = f_1' - \frac{f_1'}{f} = \gamma f \frac{v^2}{c^2}$$
 (23)

のように、電流Ⅱは正に帯電したとみることができる。それはJの位置に

$$|E'| = \frac{f_+' + f_-'}{2\pi\epsilon_0 d} = \frac{1}{2\pi\epsilon_0 d} \cdot \tau f \frac{v^2}{C^2}$$
 (24)

の電界を作る。これによってσ-'は

$$| \mathscr{L}' E' | = \frac{\alpha}{\gamma} \cdot \frac{\gamma f v^2}{2\pi \varepsilon_0 c^2 d} = \frac{\mu_0 I J}{2\pi d}$$
 (25)

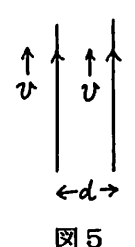
の引力を受けることになる。

しかし、それでは $\sigma_+$ 'はどんな力を受けるのかということが疑問として生じてこよう。(25)によれば、それは0でなければならないと予想されるが、そのことはやはり確かめてみなければならないだろう。しかし(18)からわかるようにローレンツ 短縮だけでは説明が困難なように思われる。

## 7.2本の平行電子ビーム間の相互作用

図5のように2本の同一線密度の電子ビームが同一方向に同一の速さ v で互に平行に存在するとき、これらにはどんな力が働くかという質問を一生徒から受けた。 生徒の疑問は

「平行な2本の電子ビームは互に静電斥力を受けるが、同時にこれは2本の平行電流とみなせるから電磁引力も受けるはずである。しかし、電子と共に動く座標系からみれば、電子は静止しているので静電斥力のみが働く。引力はどうなってしまったのか。」



というものである。現実はどうなのかということは別にして、 この問題は初等的な説明がつく例のように思われる。

S'系からみて、電子の線密度をρ'とすると、静電斥力

$$f' = f'E' = \frac{f'^2}{2\pi E_0 d} \tag{26}$$

が働くのみである。一方、S系からみれば、電子はvで運動するのでローレンツ短縮がおこり、線密度は

$$\beta = \gamma \beta' \tag{27}$$

となる。したがって、静電斥力は

$$\beta = \frac{\rho^2}{2\pi\epsilon_0 d} = \frac{\rho^2}{2\pi\epsilon_0 d} \cdot \frac{1}{1 - \frac{2\lambda^2}{\epsilon_0^2}}$$
(28)

となる。一方、電磁引力は電流をρνとみなせるから

$$\rho v \beta = \frac{\mu_0 (\rho v)^2}{2\pi d} = \frac{\rho'^2}{2\pi \epsilon_0 d} \frac{v^2}{c^2} \cdot \frac{l}{l - \frac{V^2}{c^2}}$$
 (29)

$$f = pE - pvB = p'E' = f'$$
(30)

となる。生徒にはS'系からS系へ移るとローレンツ短縮が起こり、線密度が大きくなるので、その増加分の静電斥力が電磁引力を打ち消すのだと答えた。

#### 8. おわりに

平行二直線電流間力を電磁場の相対論への導入に用いることは有意義な教育の一方向と思うが、前述したように、正電荷についての考察もしないと片手落になる。 そこで、少し人工的かもしれないが、平行電子ビーム間力を題材にすることも考えられよう。もう少し考える余地がありそうである。

文 献

1) 三谷健次:「演習電磁気学」(共立全書) p332

2) 同上 p337

# 相互誘導起電力の起源についての補足

都立国分寺高等学校

平山 修

相互誘導起電力を求めるのに、遅延効果を考慮しながら、運動する点電荷のつくる電場を重ねあわせるという方法をとると、相互誘導電場が誘導場か放射場かということが明確になり、なぜ電荷の加速度によって表現できるのかということもはっきりする。通信討論では、この場がスカラーポテンシャルを起源としていることなどについていくつかの疑問が出されたが、本稿ではこのアプローチのしかたが正当なものであることをまず明らかにしたい。さらにベクトルポテンシャルから求める通常の方法についても、遅延効果の観点から吟味をおこない、2つの方法の特徴を比較検討する。

# §1. 誘導場と放射場

操谷氏も文献1)のなかで強闘したし、私自身も強闘したいのは、誘導場と放射場の区別である。運動する点電荷のつくる全電場正の詳細な内容とその分類を表1に示す。

相互誘導起電力  $C_m$  を電荷の加速度を用いて表現してゆく際に本質的な役割を果すのは、本誌において強闘したように  $\beta$  1 次の誘導場である。ところが、遅延効果を考慮しながらこの場を書きかえてゆくと、最終的には表 1 の  $\beta$  0 次の放射場と同じような形になるので非常に誤解がうまれやすい。事実、染谷氏は「文献 2 )以後の議論では放射場と誘導場の区別をあいまいにしたままである。本誌上で私が示した方法は、その手順が非常に複雑であるという欠点を持っているにもかかわらず、どちらの場が本質的な役割を果しているのかをはっきりさせ、 $C_m$  がなぜ電荷の加速度を用いて表現できるのかということを明らかにする上で大きな利点をもっている。しかし、この  $\beta$  1 次の誘導場がスカラーポテンシャルを超圏としていることについての批判が染谷氏から提出されているので、まずその点を検討してみたい。

§2. 
$$\nabla \times \mathbf{E}_{\mathbf{V}}(P) = -\frac{\partial \mathbf{B}_{\mathbf{V}}(P)}{\partial \mathbf{t}}$$
 等の証明

染谷氏は、スカラーポテンシャルから導かれた電場の線積分は必ず○になるはずである から、その場が

表1. 運動する点電荷のつくる電場の分類

<del> </del>		ev & 2 1-1
	が海域のいた。 のにも 関係する部分	域の後のでは、10分のでは、1
$\mathbb{E}_{S} = \mathbb{E}_{VS} + \mathbb{E}_{AS} = \frac{8}{4\pi\epsilon_{s}} \left[ (1 - \frac{C_{2}}{C_{2}})   r - \frac{5}{c} v + \frac{(v \cdot a)}{C_{2}}   r - \frac{8}{4\pi\epsilon_{s}} \right] - \frac{(v \cdot a)}{c^{2}} v + \frac{v \cdot v^{2}}{C^{2}} v + \frac{v \cdot v^{2}}{c^$	$\mathbb{E}_{AS} = \frac{g}{4\pi\epsilon_{\circ}S^{3}} \frac{(\text{Ir} \cdot \Omega)}{C^{2}} \text{ Ir}$ $\approx \frac{g(\text{Ir} \cdot \Omega)}{4\pi\epsilon_{\circ}C^{2}r^{3}} \text{Ir} \left[1 + \frac{3\text{Ir} \cdot B}{r}\right]$ $(\beta   x \stackrel{?}{=} \xi_{\circ} \wedge \chi + \frac{3}{r} + \frac{3}{r}\right]$ $= \frac{g(\text{Ir} \cdot \Omega) \text{Ir}}{4\pi\epsilon_{\circ}C^{2}r^{3}} (\beta 0 \times \delta \chi + \frac{3}{r})$	スカラーポテンシャルゆから 導 かれる部分 Es Evs = $\frac{2}{4\pi \epsilon_s S^3} [(1-\frac{v^2}{c^2})_{ll} - \frac{Su}{c}]$ $\simeq \frac{8}{4\pi \epsilon_s r^3} (r + \frac{3(lr \cdot lb)}{r})_{lr} - rp)$ クロンチの 誘導場 (月0次) (月1次)
$\mathbb{E}_{i} = \mathbb{E}_{\nabla i} + \mathbb{E}_{\Delta i}$ $= \frac{6}{4\pi\epsilon_{o} S^{3}} \left[ -\frac{(\mathbf{r} \cdot \mathbf{v})}{C^{2}} \mathbf{v} + \frac{\mathbf{r} \cdot \mathbf{v}^{2}}{C^{3}} \mathbf{v} - \frac{\mathbf{r} \cdot \mathbf{s}}{C^{2}} \mathbf{a} \right]$	$S = \frac{8}{4\pi\epsilon_{o}} \frac{(\text{ir} \cdot \Omega)}{C^{2}} \text{ if}$ $\frac{8(\text{ir} \cdot \Omega)}{4\pi\epsilon_{o}} \text{if} \left[1 + \frac{3\text{ir} \cdot \theta}{r}\right] \qquad \approx \frac{-8}{4\pi\epsilon_{o}} \left[\frac{\alpha}{r} + \frac{2(\text{ir} \cdot \theta)}{r^{2}} - \frac{r}{\epsilon_{o}} \frac{\alpha}{c^{2}}\right]$ $(\beta \mid x \pm \epsilon_{o}) \text{ if} \left[1 + \frac{3\text{ir} \cdot \theta}{r}\right] \qquad \approx \frac{-8}{4\pi\epsilon_{o}} \left[\frac{\alpha}{r} + \frac{2(\text{ir} \cdot \theta)}{r^{2}} + \frac{(\text{ir} \cdot \alpha)}{r^{2}} \frac{\beta}{r}\right]$ $(\beta \mid x \pm \epsilon_{o}) \text{ if} \left[\frac{\beta}{r}\right] \qquad = \frac{(\beta \mid r) - r}{4\pi\epsilon_{o}} \left(\frac{\beta}{r}\right) \times \frac{3\pi\epsilon_{o}}{r} \left$	スカラーポテンシャルゆから 導かれる部分 Es
全包場 E = Ev+EA = Es+Ei	$\mathbb{E}_{A} = \mathbb{E}_{AS} + \mathbb{E}_{Ai}$ $= \frac{e}{4\pi\epsilon_{a}^{3}c^{2}} \mathbb{I}^{r} \times \{(\mathbf{r} - \frac{r}{c}\mathbf{v}) \times \alpha_{a}\}$ 放射揚	$\mathbb{E}_{\mathbf{v}} = \mathbb{E}_{\mathbf{v}s} + \mathbb{E}_{\mathbf{v}i}$ $= \frac{8}{4\pi\& S^3} (1 - \frac{V^2}{C^2}) (W - \frac{V}{c} V)$ $\gamma - \Box > 场 × 該導場$

$$\S \mathbb{E} \cdot d\ell = -\frac{d}{dt} \S A \cdot d\ell \qquad \cdots \qquad (1)$$

などを満足するはずがあり得ないと主張している。以下この点について検討してみよう。

まず第1に、染谷氏には、スカラーポテンシャルから導かれる場=静電場という誤解があるように思える。事実は表1に示したように、<u>運動する</u>点電荷の場合、スカラーポテンシャル中から導かれる電場は、E<sub>VS</sub> のなかでは、クーロン場(静電場、β0次)と誘導場(β1次以上)、E<sub>AS</sub> のなかでは、放射場(β0次以上)となっていて、静電場はE v s + E<sub>AS</sub> 全体においても、E v s のみのなかにおいてもその一部分にすぎない。しかも重要なことは、相互誘導の場合、運動する負電荷のつくる静電場と、静止する正電荷のつくる静電場は打ち消しあってしまうので、相互誘導電場としての役割を果すのは、この静電場ではなく、キャンセルされないで残ったβ1次の誘導場だということである(だからこそ、この場を誘導場とよぶのである)。染谷氏にはこの点を正確に認識していただきたいと思う。

第2に、スカラーポテンシャルから導かれた電場の線積分は0になるから、この場が(1)などを満足するはずがないという主張を検討してみよう。

確かに、単独の点電荷のつくるスカラーポテンシャルから導かれた電場ならば、任意の閉回路に沿ったその線積分は必ず 0 になる。しかし、本誌において私が問題にしたE v (P) は<u>単独の点電荷のつくるそれではない</u>。回路 1 の各線素中の電荷のつくる場の総和であり、しかも<u>線素ごとに異なる時刻の場の総和を考えている</u>のである(遅延効果のためにそのようなことがおこる)から、回路 2 に沿った E v (P) の線積分は 0 にならないのである。このことをはっきりと示すために、 E v (P) が (1) などを満足することを以下に示したい。

 $\mathbf{E} \mathbf{v}$  (P) に対応して、全磁東密度のうち速度のみに依存する部分を $\mathbf{P} \mathbf{v}$  (P) と書く。まず

$$\nabla \times \mathbb{E}_{V}(P) = -\frac{\partial \mathbb{B}_{V}(P)}{\partial t} \qquad ---- \qquad (2)$$

を以下に示そう。

まずEv(P)の回転を求めておこう。

$$\mathbb{E}_{\nu}(P) = \begin{cases} \frac{-9 \, \text{No a}}{4\pi \, \text{E}_{\circ} \, C^2} & \frac{d \mathcal{Q}_1}{r} \end{cases} \qquad ---- \qquad (3)$$

であるので

$$\nabla \times \mathbb{E}_{\nu}(P) = -\oint \frac{g \, N_0}{4\pi \, \varepsilon_0 \, C^2} \, \nabla \left(\frac{a}{r}\right) \times d\ell_1 \quad --- \quad (4)$$

ここで加速度の大きさ Q は情報が湧き口を出る時刻 t'のものであり、観測時刻 t を一定にして観測点 P の座標で偏微分する際には、 t'の変化を通して Q の変化を考えねばならず、



$$t'=t-\frac{r}{c}$$

$$rot = rot^* - \frac{r}{cs} \frac{\partial}{\partial t'}$$

(ただし、rot\* はt'一定とした偏微分である) などから

$$\nabla \times \mathbb{E}_{\nu}(P) = \oint \frac{8 \, N_0 \, \alpha}{4 \pi \, \epsilon_0 \, C^2} \, \frac{|\mathbf{r} \times d\mathbf{l}_1|}{|\mathbf{r}|^3} + \oint \frac{9 \, N_0 \, \frac{\partial \alpha}{\partial t'}}{4 \pi \, \epsilon_0 \, C^3 \, S \, r} \, |\mathbf{r} \times d\mathbf{l}_1, \dots (5)$$

となる。この第1項と第2項の比をとると

であり、本誌で示したとおり、相互誘導の場合はこの比は1よりもずっと小さくなる ので

$$\nabla \times \mathbb{E}_{\nu}(P) \simeq \begin{cases} \frac{8 \text{ No } \Omega}{4 \pi \epsilon_{0} C^{2}} & \frac{|r \times dl_{1}|}{V^{3}} & \dots \end{cases}$$
 (6)

である。次にBv(P)について考えよう。運動する点電荷のつくる全磁東密度Bは

$$B = \frac{8}{4\pi \varepsilon_0} \left[ \frac{1}{C^2 S^3} (1 - \frac{V^2}{C^2}) \cdot (v \times |r) + \frac{1}{C^3 S^3} \frac{|r|}{r} \times \left\{ |r \times \{(r - \frac{r}{C} v) \times \Omega\} \right\} \right] \cdots (7)$$

このうち速度のみに関係する部分をBvと書くと

$$B_{V} = \frac{8}{4\pi \epsilon_{o} C^{2}} \frac{1}{S^{3}} (1 - \frac{v^{2}}{C^{2}}) \cdot (v \times r) \quad \cdots \quad (8)$$

βの1次までの近似を与えると

$$B_{V} \simeq \frac{9}{4\pi \epsilon_{0} C^{2} r^{3}} (V \times V) \cdot (1 + \frac{3V \cdot B}{r}) \qquad (9)$$

回路 1 の線素  $d\ell$ , にあって速度 $V \simeq V \frac{d\ell_1}{d\ell_1}$  ,加速度  $Q \simeq Q \frac{d\ell_1}{d\ell_1}$  で運動している負電荷 -q が観測点 Pにつくる B V の総和 E B V (P) と 書くと

$$B_{V}(P) = \oint \frac{-gN_{0} dl_{1}(1-\frac{\beta rB}{r})}{4\pi \varepsilon_{0} C^{2} r^{3}} \cdot (1+\frac{3\pi rB}{r}) \cdot (v \times r)$$

$$\simeq \oint \frac{-gN_{0} dl_{1}}{4\pi \varepsilon_{0} C^{2} r^{3}} (1+\frac{2\pi rB}{r}) \cdot (v \times r) - \cdots (10)$$

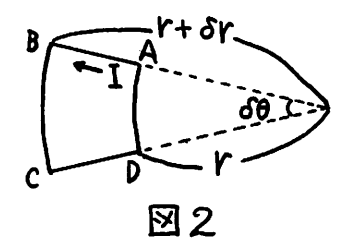
ただし、 $N_o$  は回路 1 の線電荷密度、 $N_odl_1\left(1-\frac{\mathbf{r}\cdot\boldsymbol{\beta}}{\mathbf{r}}\right)$  は P 点で観測される磁場に 寄与する  $dl_1$  中の負電荷の総数である。ここで、V は情報が湧き口を出る時刻の速度であり、

$$v \simeq v_{\circ} - \frac{r}{c} Q \qquad \cdots$$
 (11)

と展開できるので

$$B_{V}(P) \simeq \frac{-8N_{0}}{4\pi\epsilon_{0}} \left\{ \oint \frac{V_{0} \times ir}{r^{3}} dl_{1} - \oint \frac{\alpha \times ir}{Cr^{2}} dl_{1} + \oint \frac{3(ir.V_{0})}{Cr^{4}} V_{0} \times ir dl_{1} - \oint \frac{3(ir.V_{0})}{C^{2}r^{3}} \alpha \times ir dl_{1} \right\} \dots (12)$$

(12) の第2項から第5項までの積分はいずれも 0になることを次のようにして示すことができる。 閉回路 1 は図 2 のような微小回路の築まりと考える ことができる。このABCD上で(12)の[] 内第2項の積分を考えると、0  $\sim 0$   $\frac{d^2}{d^2}$  であること に注意して



AB上, CD上では 
$$Q \times V = 0$$

BC±ët 
$$\frac{+ a(r+\delta r) \cdot (r+\delta r) \delta \theta}{c (r+\delta r)^2} = \frac{a \delta \theta}{c}$$
DA±ët 
$$\frac{-ar \cdot r \delta \theta}{c r^2} = \frac{-a \delta \theta}{c}$$

となるのでその周回積分は0となる。

また(12)の[]内第3項の積分をABCD上でおこなうと

BC上, DA上では V:r = 0

AB上、CD上では  $V_0 \times I\Gamma = 0$ 

であるのでこの積分は0となる。第4項、第5項の積分も同様である。こうして (12)の第2項以下は0となり

$$B_{V}(P) = \frac{-8N_{0}}{4\pi\epsilon_{0}c^{2}} \begin{cases} \frac{v_{0} \times v_{1}}{r^{3}} d\ell_{1} = \frac{-8N_{0}}{4\pi\epsilon_{0}c^{2}} \begin{cases} \frac{v_{0}v_{1} \times d\ell_{1}}{r^{3}} & \cdots \end{cases}$$
(13)

$$\therefore \frac{\partial B_{V}(P)}{\partial t} = \frac{-8N_{o}}{4\pi \mathcal{E}_{o} C^{2}} \begin{cases} \frac{\partial U_{o}}{\partial t} \operatorname{Ir} \times dQ_{1} \\ V^{3} \end{cases} \qquad (14)$$

ここで V<sub>6</sub> は観測時刻 t での電荷の速さであり、本誌でも述べたように加速度一定のように考えてもよいから

$$v_0 \simeq v_0 \frac{dl_1}{dl_1} \quad , \quad \frac{dv_0}{dt} = \frac{dv_0}{dt} \frac{dl_1}{dl_1} = \alpha \frac{dl_1}{dl_1}$$

であり

$$\frac{\partial \mathcal{B}_{V}(P)}{\partial \tau} = \frac{1}{4\pi \varepsilon_{0} C^{2}} \oint \frac{-9N_{0} \alpha}{r^{3}} |r \times d\ell_{1} \qquad \cdots \qquad (15)$$

を得る。こうして(6), (14)より

$$\nabla \times \mathbb{E}_{V}(P) = -\frac{\partial \mathcal{B}_{V}(P)}{\partial t} \qquad (2)$$

を得ることができる。この (2) からただちに

$$e_m = \oint \mathbb{E}_v(P) d\Omega_2 = \int \mathbb{V} \times \mathbb{E}_v(P) dS_2$$

$$= -\int \frac{\partial B_{V}(P)}{\partial t} dS_{2} = -\frac{d\Phi}{dt} \qquad (16)$$

という磁束則を得る。ただし

$$\Phi = \int_{(2)} \mathbb{B}_{\nu}(P) dS_{2}$$

で、(16)の第3項、第4項は回路2をへりとする面上での面積分を表している。 さらに回路1の全電荷がP点につくるベクトルポテンシャルの総和をA(P)とす ると

$$\mathbb{E}_{V}(P) = -\frac{\partial /\!\! A(P)}{\partial t} \qquad (17)$$

となることを以下のようにして証明することができる。

荷電粒子qのつくるベクトルポテンシャルAは

$$A = \frac{\mu_0}{4\pi} \frac{gv}{S} \qquad \qquad \cdots \qquad (18)$$

であり、回路1の線素  $d \emptyset$ , にあって観測点Pにおけるベクトルポテンシャルに寄与する負電荷の総数は  $N_0 d \ell_1 (1-|| r \cdot \beta / r \cdot )$  であるから

$$A(P) = \oint \frac{\mu_0}{4\pi} \frac{gv}{s} N_0 dl_1 \left(1 - \frac{|\mathbf{r} \cdot \mathbf{\beta}|}{r}\right) ---- (19)$$

ただし  $S = \Gamma - V U / C$  であり、A (P) についての $\beta$ 1次までの近似を考えると

$$A(P) \simeq \oint \frac{\mu_0}{4\pi} \frac{gv}{r} N_0 dl_1 (1 - \frac{|r|\beta}{r}) \cdot (1 + \frac{|r|\beta}{r}) \simeq \oint \frac{\mu_0}{4\pi} \frac{gv}{r} N_0 dl_1 \cdots (20)$$

となる。したがって

$$-\frac{\partial A(P)}{\partial t} = -\frac{\partial}{\partial t} \oint \frac{\mu_0}{4\pi} \frac{8N_0 V}{r} dl_1 = -\frac{\partial}{\partial t} \oint \frac{\mu_0}{4\pi} \frac{8N_0 V}{r} dl_1$$

ここで v は情報が湧き口を出る時刻 t' における電荷の速度である。これまでに何度も述べてきた  $v=v\frac{dQ_1}{dl_1}$  、  $Q=Q\frac{dQ_1}{dl_1}$  および  $Q>\frac{c}{c}\frac{dQ_1}{dt'}$  を用いると観測時刻 t に関する微分は、t' に関する微分に書き直すことができて

$$-\frac{\partial A(P)}{\partial t} \simeq -\frac{6}{4\pi} \frac{\mu_0}{r} \frac{2}{dt'} \frac{dV(t')}{dt'} dl_1$$

$$= -\frac{6}{4\pi} \frac{\mu_0}{r} \frac{8}{r} \Omega(t') dl_1 \simeq -\frac{6}{4\pi} \frac{\mu_0}{r} \Omega(t) dl_1$$

 $Q(t) \simeq Q(t')$  をたんにQと書くと

$$-\frac{\partial A(P)}{\partial t} = -\oint \frac{\mu_0}{4\pi} \frac{g}{r} a dl_1 \qquad ---- \qquad (21)$$

(3), (21) から

$$\mathbb{E}_{V}(P) = -\frac{\partial A(P)}{\partial t} \qquad ---- (17)$$

が得られる。

こうして(16),(17)などから、 $\mathbf{E} \mathbf{v}$ ( $\mathbf{P}$ )は、染谷氏が要求した(1)の条件を満たしている電場であることが証明できた。

Ev(P)はスカラーポテンシャルを起原とする電場であるにもかかわらず、その線積分が0にならなかったり、磁束則を満足したり、さらにはベクトルポテンシャルを用いて表すことができたりするというのは一見すると非常に奇妙なことである。回路1の各電荷のつくる場を重ねあわせてEv(P)を得るが、その際に遅延効果を考慮して、各線素ごとに異なる時刻の電場を重ねあわせているためにこのようなことがおこるのである。

電磁気学は非常に奥行きの深い構造をしていて、染谷氏が主張したような、ベクトルポテンシャルから導かれた電場のみが電磁誘導の場でなくてはならないという考えかたはあらためる必要があるのではないだろうか。

# **§3.** 2つの方法の特徴

相互誘導起電力 *C*<sub>m</sub>を電荷の加速度を用いて表すのに2つのやりかたがあるということが以上の議論から明らかにされたと思う。

1つはベクトルポテンシャルを用いる方法で概略は以下のようになる。

$$e_{m} = -\frac{d\mathbb{Z}}{dt} = -\frac{d}{dt} \int \mathbb{B} \cdot dS = -\frac{d}{dt} \int \mathbb{V} \times \mathbb{A} \cdot dS$$

$$= -\frac{d}{dt} \int \mathbb{A} \cdot dl_{2} = -\frac{d}{dt} \int \frac{\mathbb{A} \cdot L}{4\pi} \frac{L}{r} dl_{1} \cdot dl_{2}$$

電流をこれまでと同じような電荷のモデルでおきかえると

$$e_{m} = -\frac{6}{9} \frac{\mu_{0}}{4\pi} \frac{8N_{0}\alpha}{r} dl_{1} dl_{2} \qquad (22)$$

となる。この方法の特徴は以下のようにまとめることができる。

- 1 簡便さという点で大きな利点がある。
- 2° しかし(22)式の積分のなかに現われた場が誘導場なのか放射場なのかまったく見当がつかない、という短所がある。
- $3^{\circ}$  この方法では遅延効果は表面に現れてこない。その理由は  $\S$  2 の最後の部分でみたように、各線素における電荷の加速度に関係した線積分を実施するので、  $0 \simeq 0$   $\frac{d0}{dl}$  ,  $0 \gg \frac{r}{c} \frac{d0}{dt'}$  が成り立つ条件のもとでは遅延効果は計算結果に寄与しない、ということである。

もう1つの方法はこれまで詳細に述べてきた、電場を直接重ねあわせる方法である。 その特徴は以下のようになると思う。

- 10 非常に複雑な議論と計算が必要になるという短所がある。
- 2° しかし、問題の場が勝導場であって放射場ではないということがはっきりする。 と同時になぜ加速度によって表現されるのかということもはっきりする。
- 3 遅延効果の扱いが議論のポイントとなる。

# § 4. その他の問題

次に染谷氏との討論で議論になった他の問題を取りあげてみたい。

# (r) $\beta$ の次数の認識について

本誌原稿のなかで述べたように、表1における

B1次の誘導場 <--→B0次の放射場

B2次の誘導場 ← → B1次の放射場

がそれぞれ同じオーダーとなる。私の議論のしかたは表1の $\beta$ 1次の誘導場および $\beta$ 0次の放射場までを出発点に据え、遅延効果を考慮しつつその和を求めるというものであった(本誌原稿中では $\beta$ 1次の放射場まで計算しているが $\beta$ 1次の放射場の積分は $\beta$ 1次ので議論には影響がない)。

染谷氏は私のそのやりかたを批判して、ベクトルポテンシャルから導かれる電場の みに注目して

$$-\frac{\partial A}{\partial t} = \frac{8}{4\pi \epsilon_0 C^2} \left\{ -\frac{\alpha}{r} - \frac{(r \cdot v)}{r^3} v \right\}$$

を議論の出発点とすべきとしている。染谷氏の主張するこの式の第1項は $\beta$ 0次の放射場、第2項は $\beta$ 2次の誘導場である。もし染谷氏の主張のように $\beta$ 2次の誘導場を考えるべきなら、同じオーダーの項として表1の $\beta$ 1次の放射場までを考慮に入れるべきだということになるだろう。すなわち

$$-\frac{\partial A}{\partial t} = \frac{-8}{4\pi \epsilon_0 C^2} \left\{ \frac{\alpha}{r} + \frac{2(ir\beta)}{r^2} \alpha + \frac{(ir\alpha)}{r^2} \beta + \frac{(ir\beta)}{r^3} \psi \right\}$$

とするべきである。統一的な視点の欠如という染谷氏の議論の特徴がここにも現われ ている。

さらに、回路 1 を運動する荷電粒子の加速度として、私は、 $Q \simeq Q \frac{dQ}{dQ}$  で十分であると考えたが、染谷氏は

$$0 = a \frac{d\ell_1}{d\ell_1} + V^2 \frac{d}{d\ell_1} \left( \frac{d\ell_1}{d\ell_2} \right) \qquad (23)$$

とすべきとして、この式の第2項にこだわっている。この第2項は臙齢の主要な流れ には無関係であることが次のように示せる。

Ev(P)とEA(P)の主要な項を書き出してみると

$$E_{V}(P) = \oint \frac{-8 \text{ Mod } l_{i}}{4\pi \varepsilon_{o}} \left[ \frac{2(lr. \psi) \text{ ir}}{C \text{ r}^{4}} - \frac{\psi}{C \text{ r}^{2}} \right]$$

$$= \oint \frac{8 \text{ Mod }}{4\pi \varepsilon_{o}} \frac{d l_{i}}{r} \qquad (\beta \text{ l} 次までの誘導場) \cdots (24)$$

$$E_{A}(P) = \oint \frac{8 \text{ No}}{4\pi \varepsilon_{o}} \frac{-\Omega_{+}}{r} d l_{i} \quad (\beta \text{ 0} 次までの放射場) \cdots (25)$$

この $\mathbf{E}_A(P)$  の  $\mathbf{Q}_{\perp}$ に相当するところに、(23)の第2項を代入して、(24)の前半の式と較べてみると、それは $\mathbf{B}$ 2次の誘導場と同じオーダーであることがわかり

議論からは省略してよいことが明らかになる。

# (1) (1-1) の展開について

本誌原稿中で私がおこなった $\mathbf{v}(t') = \mathbf{v}(t - \frac{r}{c})$ の展開のしかたについて染谷氏 は、 t'でなくtで微分すべきだとしているが、この点について以下のことを明らか にしておこう。

本誌原稿中の(1 1)式の積分に含まれるUは各線素から情報が出る時刻 t′のU である。観測時刻  $t \ge t'$  は t' = t - t' の関係があるから、一定の t に対して、  $\mathbf{t}'$  または  $\mathbf{t}'/\mathbf{c}$  が各線素を指定する変数となる。したがって  $\mathbf{v} = \mathbf{v}$   $(\mathbf{t}')$ =v(t-t)をtのまわりに展開しようとする場合、 t' および r/c を変数、tを定 数のようにみてティラー展開すればよい。染谷氏のように、tで微分すべきというの はここでの物理的な議論の流れを理解しないことからくるものであろう。

$$(b)$$
 周回積分  $\int \frac{d\ell}{r}$  について

本誌原稿中の(16)式

$$\mathbb{E}_{\nu}(P) = \oint \frac{28N_0 dl_1}{4\pi E_0} \frac{-\Omega_{\perp}}{c^2 r} + \oint \frac{8N_0 dl_1}{4\pi E_0} \frac{\Omega}{c^2 r} - \cdots (\alpha)$$

はEv (P)の計算過程の式である。この式の第1項が0になることは本誌原稿中に 示したとおりであるが、染谷氏はEv(P)全体がOになるのではないかという批判 を寄せた。その批判の根拠となる染谷氏の計算自体に初歩的なミスがみられることを 私は指摘しておいた。

ここでは、染谷氏と類似の誤解を防ぐために (A) 式の第2項の周回積分が0にな らないことを示しておこう。

(第2項)=
$$\int_{\Omega} \frac{8N_0dl_1}{4\pi \epsilon_0 C^2} \frac{\Omega}{r} = \frac{8N_0 \Omega}{4\pi \epsilon_0 C^2} \int_{\Omega} \frac{dl_1}{r}$$

であり、回路1を図3の微小回路厂の 集まりと考えると

$$(第2項) = \frac{8Noa}{4\pi\&C^2} \sum_{r \in \Gamma} \oint_{\Gamma} \frac{dl_r}{r}$$

である。そこで  $\Gamma$   $(A \rightarrow B \rightarrow C \rightarrow D)$  に沿って積分  $\left\{ \begin{array}{l} dP_1 \\ r \end{array} \right\}$  を実施すると

あり、回路 1 を図 3 の 微小回路 
$$\Gamma$$
 の まりと考えると (第2項) =  $\frac{8 \text{No } \Omega}{4 \text{TE } C^2} \sum_{r \sim \text{TO} \Gamma} \int_{\Gamma} \int_{D}^{A} \int_{D}^{A} \int_{C}^{A} \int_{D}^{A} \int_{D}^{A} \int_{C}^{A} \int_{D}^{A} \int_{D}^{A}$ 

$$\frac{\int dl_{1}}{r} = \frac{dr \cdot \overrightarrow{e}_{AB}}{r + \frac{dr}{r}} + \frac{b(1 + \frac{dr}{r}) \cdot \overrightarrow{e}_{y}}{r + dr} + \frac{dr \cdot \overrightarrow{e}_{CD}}{r + \frac{dr}{r}} + \frac{b}{r}(-\overrightarrow{e}_{y}) \cdot \cdots (26)$$

ただし  $\overrightarrow{C}_{AB}$  ,  $\overrightarrow{C}_{CD}$  はそれぞれAB方向、CD方向の単位ベクトルであり、 $\overrightarrow{C}_{y}$  は y方向の単位ベクトルである。(26)の第2項と第4項は明らかに打ち消しあうが、 第1項と第3項の和は

$$\frac{\delta r}{r + \frac{\delta r}{2}} (\vec{e}_{AB} + \vec{e}_{CD}) = \frac{\delta r}{r + \frac{\delta r}{2}} \delta \theta \cdot \vec{e}_y \simeq \frac{\delta r \cdot \delta \theta}{r} \vec{e}_y = \frac{b \cdot \delta r}{r^2} \vec{e}_y$$

となって 0 にはならないということがわかる。こうして、(26)式すなわち(Q)式第2項は 0 でないことが示せた。

# §5. おわりに

最後にこの問題の物理教育としての意義を考えてみよう。

生徒のなかには相互誘導や電磁波の学習が一通りすんだあとで次のような疑問を持つ者が出てくるかもしれない。「一次コイルの電流が変化する場合、電子は加速度運動をすると考えると、電磁波を放出するはずだ。相互誘導として二次コイルに検出されているのはこの電磁波のことではないか」---この疑問に対して全面的に答えることは非常に難しい。しかし次の点については明快に述べてもよいと思う。

- ア. 相互誘導(トランスなど)で問題となる電場は電磁波(放射場)ではない
- イ. 電磁波の放出が問題とされるのは、交流回路の場合ではその振動数が非常に大きい場合に限られる
- ウ. ヘルツの実験での電気火花では振動数の非常に大きな変動する電界ができている

これらの説明のしかたについては、今後さらに検討をしなくてはならないと思われるが、まずは教師自身がこれらの問題についての正しい認識をもつことが先決となる問題であろう。現場において何をどう教えたらよいかということの直接的な研究とともに、教える側のバックグラウンドとしての知識を拡大しようとする努力およびその成果の交流が非常に重要であると思う。今回の「相互誘導起電力の起原」およびこの補助資料がそういう意味で役に立てば幸いであると思う。

#### 参 考 文 献

- 1) 染谷太郎:物理教育, 31 (1983), 42.
- 2) 染谷太郎:物理教育, 32 (1984), 15.

# 変動する電磁場の相互作用

千葉県立東葛飾高等学校

三門正吾

電磁場の運動量のバランスの方程式は2つの独立な方程式から合成されている。 この運動量バランスの構造は、電場と磁場の相互の作用という力学的解釈を可能に しているように思われる。ここでは、物質や領域の境界から供給されてる電磁運動 量の中身について、力の伝達という側面から、一歩つっこんだ解釈を与える。

私が物理教育、34vol1(1986)に発表した「電磁波の放射について」という論文で導入した2つの力:変動電場が磁場から受ける単位体積あたりのローレンツ力

$$f' = \mathcal{E}_{\frac{\partial E}{\partial t}} \times \mathcal{B} \tag{1}$$

および、変動磁場が電場から受ける単位体積あたりの「レンツ」の力

$$\mathbf{f}'' = \varepsilon_0 \mathbb{E} \times \frac{\partial \mathcal{B}}{\partial t} \tag{2}$$

について、物質と場の相互作用の観点から考察してみたい。

場が物質におよぼす力、たとえばローレンツ力やクーロン力の反作用は、当然の ことながら物質から場におよぼす力となる。場が物質におよぼす単位体積あたりの ローレンツ力は

と書かれる。ここで、すは電流密度である。このローレンツ力の反作用は、

$$-\mathbf{j} \times \mathbf{B}$$

で与えられ、物質から場におよぼされる。 -∫xB がどのように場に伝達されてゆ くかを見るために、次のマックスウェルの方程式

$$\hat{j} = \frac{1}{\mu_0} \text{ curl } B - \varepsilon_0 \frac{\partial E}{\partial t}$$

div B =0

を用いて、 -j×B を場の物理量だけで書き表してみよう。x成分は、

$$-(\hat{j} \times B)_{z}$$

$$= -(j_y \beta_E - j_E \beta_y) - 68 -$$

$$= \left\{ -\frac{1}{\mu_{o}} \left( \frac{\partial B_{x}}{\partial z} - \frac{\partial B_{z}}{\partial z} \right) + \varepsilon_{o} \frac{\partial E_{y}}{\partial t} \right\} B_{z} + \left\{ \frac{1}{\mu_{o}} \left( \frac{\partial B_{y}}{\partial z} - \frac{\partial B_{x}}{\partial y} \right) - \varepsilon_{o} \frac{\partial E_{z}}{\partial t} \right\} B_{y}$$

$$= -\frac{1}{\mu_{o}} \left[ \frac{\partial}{\partial \chi} (B_{x}^{2} - \frac{B^{1}}{2}) + \frac{\partial}{\partial y} (B_{x}B_{y}) + \frac{\partial}{\partial z} (B_{x}B_{z}) \right] + \varepsilon_{o} \left( \frac{\partial E_{y}}{\partial t} B_{z} - \frac{\partial E_{z}}{\partial t} B_{y} \right)$$

最右辺の第1項は、磁場の応力テンソル

$$\mathcal{I}_{m} = \frac{1}{\mu_{0}} \begin{bmatrix} \beta_{z}^{2} - \frac{B^{2}}{2} & \beta_{z}\beta_{y} & \beta_{z}\beta_{g} \\ \beta_{z}\beta_{y} & \beta_{y}^{2} - \frac{B^{2}}{2} & \beta_{y}\beta_{z} \\ \beta_{z}\beta_{g} & \beta_{y}\beta_{g} & \beta_{g}^{2} - \frac{B^{2}}{2} \end{bmatrix}$$
(3)

の発散のx成分

$$-(\operatorname{div} T_m)_z$$

である。y成分、z成分も同様にして計算すると、一般に

$$-\hat{\mathbf{j}} \times \mathbf{B} = \mathcal{E}_0 \frac{\partial \mathbf{E}}{\partial t} \times \mathbf{B} - \operatorname{div} \mathbf{T}_m \tag{4}$$

と書ける。(4)の右辺第1項が前述のfである。(4)を領域 V で積分すると

$$-\iiint_{\nabla} \mathbf{j} \times B = \iiint_{\nabla} \mathcal{E}_{\partial t} \times B \, d\nabla - \oint_{S} T_{n} \cdot dS \tag{5}$$

となる。(5) の右辺第2項におけるSは領域Vの表面であり、 Tm・dS は面 dSの表側の磁場が裏側の磁場におよぼす磁気応力である。マイナス符号はその反作用を表わすので、右辺第2項は領域の内側から外側へ伝達される全磁気応力である。

(4) あるいは(5) の物理的な解釈は後述することにして、単位体積あたりのクーロン力の反作用

についても、同様にマクスウェルの方程式を用いて場の量だけで書き表してみる。 ここで、ρは電荷密度である。

$$p = div \in E$$

$$curl E = -\frac{\partial B}{\partial t}$$

を用いて同様の計算をすると、

$$-\beta E = \varepsilon_0 E \times \frac{\partial B}{\partial t} - \text{div } T_e$$
 (6)

となる。ここで、変は電場の応力テンソルである。

$$T_{e}^{2} = \mathcal{E}_{o} \begin{cases} E_{z}^{2} - \frac{E^{2}}{2} E_{z} E_{y} & E_{z} E_{z} \\ E_{x} E_{y} & E_{y}^{2} - \frac{E^{2}}{2} E_{z} E_{z} \\ E_{z} E_{z} & E_{y} E_{z} & E_{z}^{2} - \frac{E^{2}}{2} \end{cases}$$

$$(7)$$

また(6)の右辺第1項は前述したf"である。(6)を領域Vで積分すると

$$-\iiint_{\nabla} f E \, dV = \iiint_{\nabla} \xi_{e} E \times \frac{\partial B}{\partial t} \, dV - \iint_{\mathbf{E}} \mathcal{L}_{e} \cdot dS \tag{8}$$

となる。(5)と(8)の辺々を加え、少し変形すると

 $\frac{d}{dt}\iiint_{\nabla} \mathcal{E}_{s}\mathbb{E} \times \mathcal{B} \ dV = -\iiint_{\nabla} (f\mathbf{E} + \mathbf{j} \times \mathbf{B}) dV + \oint_{S'} (T_{e} + T_{m}) \cdot dS$  (9) とかける。(9) の右辺第1項は、物質が領域Vの電磁場におよぼす作用である(負号に注意)。右辺第2項は、領域Vの外側から境界面を通じておよぼされる電気的および磁気的な全応力である。左辺は

$$\iiint_{\nabla} \mathcal{E} E \times \mathcal{B} \ dV \tag{10}$$

の時間的変化率であるから、(10)は領域 V の電磁場の運動量と解釈されている。領域 V に作用をおよぼしている(9)の右辺の積分が O でなければ、領域 V の電磁運動量は時間的に変化する。

さて(5) の解釈に戻りたい。(9) は(5)と(8)の合成である。あるいは(9)は(5)と(8) とに分離されるような構造をもっているわけである。電磁運動量の時間微分の一部

は、力の伝達という側面からみると、「電東電流(変位電流)が磁場から受けるローレンツ力<sup>17</sup>」と解釈できる形式をもっている。こういう解釈は運動方程式のダランベール的解釈、あるいは慣性力的解釈と似ている。その点では適用にあたって注意が必要であろうが、このことを仮定として導入すると、(5)式は次のように解釈することができる。

「物質からある領域の場に伝達されるローレンツ力の反作用は、一部は領域内の電東電流(変動電場)におよぼされ、残りは境界面を通じ、磁気応力として領域の外部の磁場へ伝達される」

同様にして、電磁運動量の時間微分の別の一部

は「変動磁場が電場から受ける (レンツの) 力」と仮定することができる。そこで (8) 式の解釈は次のようになる。

「物質からある領域の場に伝達されるクーロン力の反作用は、一部は領域内の変動磁場におよぼされ、残りは境界面を通じ、電気応力として領域の外部の電場へ伝達される」

(1)と(2)におけるf'とf''の仮定は、物質や領域の境界から供給される電磁運動量の中身についてつっこんだ解釈を与えたものである。拡大解釈と考えられるかもしれないが、電磁波の放射等で有効性を発揮する。

1) 霜田光一:物理教育25(1977) 113

### 「物理教育」電磁気論文内容別一覧 101.1-1~33-4

# 電磁気教育一般

	レーザーとエレク 電池とモーターを 電池と子ーターよ 個人学習法によを 電磁気の基本を発 基礎教育に大学・ を を を を を を を の を の を の を の と の と の と の	用いた高校物理実 ら始める高校物理 物理授業の試み 見的に学習する試 電磁気学に関する	「験・・・・・・・・・・・・・・・・・・・・・・・・・・・・・・・・・・・・	29 29 28 28 25 25	-3
单位					
MKSA	MKSA有理系に MKSA研究会報 m.k.s.A 有理単位	ついて ・・・・ 告 ・・・・・・ 系について ・・		13	-2 藤崎達雄 -2 藤崎達雄 -2 岩田一雄
MKSP	MKSP電磁気単 MKSP単位系と 電磁気学の新単位 実行方法に就い	高校教育・・・ 系MKSP系によ	る新しい電磁気等	・・・・ 30 学教育の 29	-2 藤崎達雄 -2 飯田修一
MKSV CAS	電磁気学の新しい MKSV単位系 CAS単位系の提				
配荷· i	<b>净電界</b>				
带電	誘電体の帯電列 帯電体の電気量の		:・・・・・・・・・・・・・・・・・・・・・・・・・・・・・・・・・・・・	27	-4ジ 平井司寸 -2 - 柿元 - 醇
静電界	電場の流体モデル個人学習法による	過程と指導―― について ・・・ 物理授業の試み		29	-2 <b>9 奥野</b> 浩 -3 深谷晃次
	初等電磁気学習に二つの教師実験	おける場の扱いに	こついて・・・・・		-1 唐木 宏 -2 篠原省治
電気力	生徒用クーロン力 歴史的見地による 等電位実験による クーロン法則探究 基礎教育における 一様な電界中にお 高圧電源を用いた	クーロンの法則の 過程における直接 電磁気学に関する	)考察 3的方法と間接的プ ニ、三の問題	· · · · · · · 28 方法 · · · · 27 · · · · · · · 13	-4 佐々不教天 -2 西条敏美 -1 荒川泰二
電位	「等電位線のようで 等電位実施を開心の ででは でで でで で で で で で で で の で の で の で の	例一円筒まわりの ジタルパラメータ	)埋忠旗体の流れ- ' - を用いた等電位	- · · · · · · 24 江線実験 24	-4 利井任 <u></u> -3 新井洋 <u></u>

電気力線	電気力線の作図 ····································	25-1	石黒浩三
	カ線による場の指導法の問題点 ・・・・・・・・・・・・・・・・・・・・・・・・・・・・・・・・・・・・	17-29 17-29 16-1 12-1	柏木聞吉 藤崎達雄 中込八郎 橘高知義
コンデンサー	電気二重層コンデンサーの特性と利用 ・・・・・・・・・・・・・・・・・・・・・・・・・・・・・・・・・・・・	29-3 26-3 23-1 21-2 21-2 18-3 16-2 14-3 11-3	安安木吉柿霜藤永林黒越黒田田下岡元田田川 田後田田川 光喜堯禎芳宰芳明一大久 郎男郎
	電気天秤 ・・・・・・・・・・・・・・・・・・・・・・・・ 電気容量の測定 ・・・・・・・・・・・・・・・・・・・・・・・・・・・・・・・・・・・・	13-2 11-3	鈴木 皇 長谷川次朗
	静電気メーターにおける静電誘導の過渡現象 ・・・・・・・ 水銀接点リレーを用いた過渡現象の実験 ・・・・・・・・ μ, εについて ・・・・・・・・・・・・・・・・・・・・・・・・・・・・・・・・・・・・	28 - 2 24 - 4 25 - 3#	須藤喜久男 赤沢 孝* 山田盛夫
静磁界			
磁界	パソコンの自動計測による平面上の電磁界分布測定 · · · · 小磁針をプローブとした電流のまわりの磁界の生徒実験 · · · · · · · · · · · · · · · · · · ·	33-4 31-2 10-2	榎本成己 木下昭一* 糠谷正行
磁力線	磁力線を図に描く実験(II)・・・・・・・・・・・・・・・・・・・・・・・・・・・・・・・・・・・	28 - 3 28 - 1 24 - 1	田中憲治* 田中憲治* 山田盛夫
磁気力	磁気振子による磁気力の逆二乗法則に関する簡単な生徒実験 ークーロンの実験(1785)の復原的方法-・・・・・・・	33-1	西条敏美
	磁束は磁石の運動に随伴するか ・・・・・・・・・ 変形回路における磁気エネルギーについて ・・・・・・・	32-2‡ 29-4	須藤喜久男 染谷太郎
磁性	磁性 ・・・・・・・・・・・・・・・・・・・・・・・・・・・・・・・・・・・・	14-2 32-2	伊藤信隆*
直流 回货	各		
電源	高圧電源を用いた二、三の実験 Battery の自動充電方式の考案と研究 バッテリーの充電における電解液の温度自動制御装置の試作	9-2	矢野淳滋 中谷雄治 中谷雄治
	簡単なセレン光電池の作り方と実験法 · · · · · · · · 直流電源について · · · · · · · · · · · · · · · · · · ·	8-2	後藤道夫 中込八郎 石川孝夫

電気抵抗	図形と式との関連について電気抵抗の合成の場合 換算質量と電気抵抗 ・・・・・・・・・・・・・・・・ 電流回路学習過程における問題点 ・・・・・・・・ 一形成的評価のためのCMIの活用例として一 内部抵抗測定実験の試料としての電池 ・・・・・ 工学部低学年における物理実験テーマの改善 I 一総論・固体の電気抵抗一		
オームの法則	カリキュラムと評価問題 一高等学校物理の粒子モトル によるオームの法則の取り扱い オームの法則の実験指導とその考察 ・・・・・・・	23-4 8-2	篠原文陽児 藤田喜一
	電解質溶液による電磁気現象 ・・・・・・・・ 「電気分解の法則」の説明方法について ・・・・・		江口 保* 多田芳郎
	簡単な電気の実験 ・・・・・・・・・・・・・・・・・・・・・・・・・・・・・・・・・・・・	22 25-2	石田美雄 柏木聞吉
	高校前段階としての電流の指導についての考察	18-1	国分昌彦
電流との	<b>选界</b>		
	初等電磁気学における「電流と磁界」の教授体系について	23-3	平田邦男
ビオサバール	Biot-Savart の法則の検証と電磁力のOHP実験 ・・ ビオサバールの式に対する電束電流の寄与の考察 ・・ 電束電流の磁気作用とビオサバールの法則 ・・・・・ Biot Savart の法則の誘導法 ・・・・・・・・・	32-3 23-2 22-4 22-2	山田盛夫 石黒浩三 石黒浩三 山田盛夫
電流磁界	小磁針をプローブとした電流のまわりの磁界の生徒実験・・ーーその実践と吟味ー・・・・・・・・・・・・・・・・・・・・・・・・・・・・・・・・・・・・	31-2 26-2 24-1 13-2 11-2	木下昭一* 西条敏美 平田邦男 中込八郎 越後宰男
電磁石	高校用電磁石の改造 ・・・・・・・・・・・・・・・・・ 熱電流による電磁石の実験 ・・・・・・・・・・・・・・ 周波数連続可変の電磁石の製作と活用法 ・・・・・・・・・	27-45 27-2 21-1	篠原省治 植村健一* 中込八郎
ローレンツ力	ローレンツカと静電エネルギー ・・・・・・・・・・・・・・・・・・・・・・・・・・・・・・・・・・・・		染谷太郎 矢野淳滋 五十嵐靖則
	ローレンツ力と電磁誘導・・・・・・・・・・・・・・・・・・・・・・・・・・・・・・・・・・・・	24 28	青野 修 五十嵐靖則 霜田光一 霜田光一 岡崎 正*
	ローレンツ力による電磁誘導現象の説明の混乱や誤解についてローレンツ力の反作用・・・・・・・・・・・・・・・・・・・・・・・・・・・・・・・・・・・・	21-3 19-2 <del>9</del> 18-2 <del>9</del> 18-2 <del>9</del>	石黒浩三 伊藤甕雄 堀田昌邦 大川吉昭
電流天秤	てんびん法による電流磁界の実験 · · · · · · · · · · · · 電流天秤の試作と実験 · · · · · · · · · · · · · · 電流天秤の改良 · · · · · · · · · · · · · · · · · · ·	27-3 24-1 17-2	山田盛夫 石川徳治* 那波信男

電磁力	電磁気的な力に関んして本誌に発表された最近のいくつかの	33-19	石黒浩三
	論文を拝読して ・・・・・・・・・・・・・・・・・		State State
	平行二直線間力の考察・・・・・・・・・・・・・・・・・・・・・・・・・・・・・・・・・・・・	32-2	染谷太郎
	二つの直線電流が及ぼし合う力・・・・・・・・・・・・・・・・・・・・・・・・・・・・・・・・・・・・	31-34	育野 修
	二つの直線電流の間にはたらくカー・・・・・・・・・・・・・・・・・・・・・・・・・・・・・・・・・・・・	31-1	膀不隆
	ロジェーの跳躍子の設計・・・・・・・・・・・・・	30 - 4	滕島一演
		21-4	山田盛天
電磁誘	<b>等</b>		
	電磁誘導の新しいパラドックス・・・・・・・・・・・・・・・・・・・・・・・・・・・・・・・・・・・・		
電磁誘導法則	電磁誘導法則の科学史的検討 ・・・・・・・・・・・・・・・・・・・・・・・・・・・・・・・・・・・・	32-2	須藤喜久男
	電磁誘導法則の解釈 ・・・・・・・・・・・・・・・・・・・・・・・・・・・・・・・・・・・・	31-14	染谷太郎
	電磁誘導の説明の混乱や誤解について・・・・・・・・・・・・・・・・・・・・・・・・・・・・・・・・・・・・	20-1	霜田光一
	発電機型電磁誘導実験装置エネルキー 消費の問題も含めて・・・	33-4	高橋成和
	パソコンを利用した電磁誘導の演示実験・・・・・・・・	33-2	
	フェライト磁石と会声信号を利用した湍元実験 ・・・・・・	32-2	福山 響
	「電磁誘導法則実験器」の検出コイルの形状について・・・・ 生徒実験用「電磁誘導法則実験器」の開発・・・・・・・・	31-3*	三角下至
	上 治 宝 路田 「 電	30-4	五十嵐靖則
	ーー検出コイルの形状と起電力の直線性を廻ってー・・・・	<i>,</i>	TI I M-NAI
	電磁誘導の法則の生徒用検証実験・・・・・・・・・・・・・・・・・・・・・・・・・・・・・・・・・・・・	30-2	三門正吾
	エアトラックにトス電磁制動の組織 ・・・・・・・・・・	25-1	那波信男*
	エアトラックによる電磁制動の観測 ・・・・・・・・・・・・・・・・・・・・・・・・・・・・・・・・・・・・	21-2	矢野淳滋
	電磁  「電磁  「ないである」という。	21-2	田中文男
	電磁誘導を利用したエア・トラックの記録装置 ・・・・・・ 簡単な電気の実験 ・・・・・・・・・・・・・・・・・・・・・・・・・・・・・・・・・・・・	2-2	石田美雄
相互誘導	相互誘導における位相差の測定 ・・・・・・・・・・・・・・・・ーー 電流計とストップウォッチによる方法――・・・・・・・ーー 自己誘導と相互誘導の実験 ・・・・・・・・・・・・・・・・・・・・・・・・・・・・・・・・・・・・	33-3	鬼塚史朗
	電流計とストップウォッチによる方法·・・・・・		
	自己誘導と相互誘導の実験・・・・・・・・・・・・・・・・・・・・・・・・・・・・・・・・・・・・	33-3	柿元 醇
	相互誘導と電荷の加速度運動との関係について・・・・・・	30-2	須藤喜久男
		20 18	<b>△.1.0</b> iibr .
誘導電界	磁界中を動く導体内にできるのは電界 · · · · · · · · · · · · · · · · · · ·	32-17	金城符一
	緑電流による電磁誘導現象・・・・・・・・・・・・・・・・・・・・・・・・・・・・・・・・・・・・	32"1	
	一様な磁場の湧き口の運動によって生じる電場について・・	31-4	平山 修
砂市学	CMDを体へが改声針の記作レスの利用	21-2	海鋒修二
磁束計	SMDを使った磁束計の試作とその利用 · · · · · · · · · · · · · · · · · · ·	15-1	<b>花崎文一</b>
	做米侧走路	15-1	化呵义一
交流	粒子エデルによるな法律法共通法	25-24	万会光丰士
文侃	な法にトス Tanla 数の 子安 ・・・・・・・・・・・・・・・・・・・・・・・・・・・・・・・・・・・	202	山田成土
	粒子モデルによる交流電流指導法 交流によるJoule熱の考察 高校物理におけるインピーダンスの取扱いについて ・・・・・	11-2	以 以 以 以 以 以 に に に に に に に に に に に に に
	脈流電源と物理実験     水銀接点リレーを用いた過渡現象の実験     交流法による等電位線の測定     交流がつくる電場の検出     交流の実効値に関する実験     ・・・・・・・・・・・・・・・・・・・・・・・・・・・・・・・・・	24 - 4	<b>蘇公正行</b>
	水の風吹し物性大歌	24 4	学出 录》
	- 小数技点リレーを用いた歴像光泳シ大塚 - 本法注に上る筆電台線の測定 - ・・・・・・・・・・・・・・・・・・・・・・・・・・・・・・・・・・・	24 4	かい チャ
	大流仏による守电匹林の内に - 六流がつくる電視の論出 ・・・・・・・・・・・・・・・・・・・・・・・・・・・・・・・・・・・・	27 1	万里法三
	大祝が 2~3 電物20K日	0-1	本田和田
	大師の大が直に内する大塚	, 1	ГЩЛЕЛ
	<b>交流記録タイマーについて ・・・・・・・・・・・・</b>	16-1	須藤夏久男
	交流記録タイマーについて ・・・・・・・・・・・・・ 2.5 級の交流電圧計の周波数特性について ・・・・・・・	14-2	林補
	ALV BY LY VOR BITTHE LAND BY THE CALL	4	17 95
三相交流	三相交流および回転磁界の説明実験具 ・・・・・・・・	8-3	糠谷正行
	三相交流および回転磁界の説明実験具 · · · · · · · · · · · · · · · · · · ·	7-2	加藤史郎
トランス	無電極スペクトル放電管とイグナイタートランス · · · · · · · · · · · · · · · · · · ·	33-4	花崎文一*
	差動トランスによる線膨張の測定 ・・・・・・・・・・	31 -4	前田健悟*
	差動トランスを利用したヤング率の測定・・・・・・・・・	29-1	山下太利*

### 電気振動・電磁波

電気振動	探究の課程をとり入れた電気振動の指導 L.C. 並列回路共振演示実験 ・・・・・・・・・・・・・・・・・・・・・・・・・・・・・・・・・・・・	7-3	藤田喜一* 五十嵐靖則 篠原省治 黒田芳郎 黒田芳郎
発振器		33-1# 32-2 29-1 28-2 22-2	金城啓一 柿本 群 中込八郎 矢野淳滋 矢野
電磁波	一部の高等学校教科書-物理 II にある電磁波の伝搬の説明は 正しいか・・・・・・・・・・・・・・・・・・・・・・・・・・・・・・・・・・・・	29-2 26-4 26-2	山口重雄 霜田光一 霜田光一
	電波実験器・・・・・・・・・・・・・・・・・・・・・・・・・・・・・・・・・・・・	33-3 6-2 9-1	矢野淳滋 篠原省治 安藤 章
	広い空隙をもつコンデンサーに流れる電流・・・・・・・ 電磁気学における漏洩Gおよび抵抗R(電信方程式中)の力学 との対応について・・・・・・・・・・・・・・・・・・・・・・・・・・・・・・・・・・・・	26-3 11-1	吉岡明夫* 井戸川 <b>功雄</b>
半導体			
ダイオード	ダイオード温度計を用いた液体の比熱の測定 ・・・・・・・ パーソナルコンピューターによるPN接合の動的表示教材 ・・ 工学部低学年における物理実験テーマの改善 『・・・・・ 一半導体ダイオード・・・・・・・・・・・・・・・・・・・・・・・・・・・・・・・・・・・・	26-2 32-3 24-1	西岡正泰* 大杉 功* 大橋芳子* 長谷川 忍
トランジスター	トランジスター増幅回路の周波数特性とパルスに対する応答 トランジスタの実験 ・・・・・・・・・・・・・・・・・・・・・・・・・・・・・・・・・・・・	26-1 24-1 22-4 11-1 8-1	植原木正義 原木正義 原木正 東 京正 東 一 一 一 一 一 一 一 一 一 一 一 一 一 一 一 一 一 一
	LEDを用いた光速度測定 ・・・・・・・・・・・・・・・・・・・・・・・・・・・・・・・・・・・・	22-2 21-2	津山以外 第四人 第四人 第四人 第四人 第二人 第二人 第二人 第二人 第二人 第二人 第二人 第二人 第二人 第二
	バーソナル コンピュータによるエネルギーバンドの動的表示教材 パソコンによるフェルメ・ティラック積分の計算とその応用 ・・・・・ 半導体のモデルと実験 ・・・・・・・・・・・・・・・・・・・・・・・・・・・・・・・・・・・・	31-4 31-1 13-3	大杉 功* 大杉 功* 後藤道夫
電子			
電気素量	電気素量の測定実験につい ・・・・・・・・・・・・・・・・・・・・・・・・・・・・・・・・・・・・	15-4	中込八郎* 小田切理文 宮下敬司 後藤道夫

電子の移動		25-1 24-4	青木秀夫 嶋田 治*
	金属のホール効果による電子の流動速度測定 ・・・・・・・ 電気伝導について ・・・・・・・・・・・・・・・・・・・・・・・・・・・・・・・・・・・・	20-3	矢野淳滋 今井 勇 山田盛夫
	単体内の電流を電子の移動と考えると電界質内の電流は導体 内の倍になるか? ・・・・・・・・・・・・・・・・・・・・・・・・・・・・・・・・・・・・		花崎文一
	断熱不変量についてのマイクワ・コンヒューターによるシミュレーション - 束縛電子と重い荷電粒子の衝突-・・・・・・・・・・・・・・・・・・・・・・・・・・・・・・・・・・・・	33-4	下條隆嗣*
	- 束縛電子と重い荷電粒子の衝突 - ・・・・・・・・・ 平行電子線間の力 ・・・・・・・・・・・・・・・・・・・・・・・・・・・・・・・・・・・・	22-1	福井常勝
比電荷	e/m 測定器用ヘルムホルツのコイルにおける電流と磁束密度 との関係の実験的決定法について ・・・・・・・・・・・・・・・・・・・・・・・・・・・・・・・・・・・・	24-1	平田邦男
	との関係の実験的決定法について ・・・・・・・・ 対向磁界を用いたe/m 測定 ・・・・・・・・・・・・・・・・・・・・・・・・・・・・・・・・・・・		小松惠一
	電子の速度、比電荷の測定と相対論的な影響について・・・・	21-4	森田一郎*
	飛行時間法による電子の比電荷の測定・・・・・・・・・	20 - 3	霜田光一
	電子の比電何測定 ・・・・・・・・・・・・・・・・・・・・・・・・・・・・・・・・・・・・	20-2 12-1	森田一郎* 堰田昌邦*
	京圧電源を用いた。 三の実験 ・・・・・・・・・・・・・・・・・・・・・・・・・・・・・・・・・・・・	11-3	<b>佐山自州</b>
	電子の比電荷測定 ・・・・・・・・・・・・・・・・・・・・・・・・・・・・・・・・・・・・	10-3	金代五郎
電子管	無電極スペクトル放電管とイグナイタートランス ・・・・・	33-4	花崎文一*
	ルックス管の中で羽根車が回るわけ · · · · · · · · · · · · · · · · · · ·	24 - 2	矢野淳滋
	2極管にかける電圧について ・・・・・・・・・・・・	10-17	中込八郎
	Blectron Tube を用いた Digital Circuit について ・・・	7-2	徳広龍男*
	廃真空管でできる実験 ・・・・・・・・・・・・・・・・・・・・・・・・・・・・・・・・・・・・	1 - 2	金山広吉
	電子線回折管とその応用・・・・・・・・・・・・・・・・・・・・・・・・・・・・・・・・・・・・	22-2	進上芳雄
	電子線凹折官の試作とその応用 ・・・・・・・・・・・	21-1	進上芳雄
	バーナゲリンドュータ によるエネルギーバンドの動的表示教材 ···	31 -4	大杉 功*
	パソコンによるフェルミ・ディラック積分の計算とその応用	31-1	大杉 功*
	電子顕微鏡の原理と結晶学への応用 ・・・・・・・・・・・・・・・・・・・・・・・・・・・・・・・・・・・・	26-2	丸山宰佑
	<b>数場の傾向による5位士のエネルキー例定 ・・・・・・・</b>	33-3	笠 耐*
	PSSCにおける原子電子の扱いと高校物理教育における問題	10-1	吉本 市
相対論			
	電磁場と相対論(相対論導入への一つの試み)・・・・・・	33-4	綿引隆文
	電磁場と相対論(相対論導入への一つの試み)・・・・・・ 電磁法則と相対性原理・・・・・・・・・・・・・・・	15-4	廢崎達雄
その他			
	教材用熱発電器の試作 ・・・・・・・・・・・・・・・	30-3	小島 勉*
	電磁作用による結合振子の共振 ・・・・・・・・・・・		千葉芳明
	電磁作用による振り子の減衰振動と共振 ・・・・・・・・ 新しい物理実験 電気的な音響実験について ・・・・・・	26 - 4 10 - 1	千葉芳明 芳本利次
	光電流に生ずる屈折点からプランク定数を求める実験・・・・	26-2	進上芳雄

#### 「物理教育」電磁気論文一覧 ( Vol.1-1~ 33-4 )

# \*共同発表者あり キ 寄書 ダ 談話室 7 α 欄 ジ 実験メモ

1985	33-4 綿引隆文	電磁場と相対論(相対論導入への一つの試み)
	33-4 榎本成己	パソコンの自動計測による平面上の電磁界分布測定
	33-4 下條隆嗣*	断熱不変量についてのマイクロ・コンヒューターによるシミュレーション
	22 I I MAISSING	- 束縛電子と重い荷電粒子の衝突
	33-4 高橋成和	発電機型電磁誘導実験装置―エネルギー消費の問題も含めて
	33-4 花崎文一*	無電極スペクトル放電管とイグナイタートランス
	33-3 鬼塚史朗	無電優スペントル放電音とインティン ドランス 相互誘導における位相差の測定
		相互誘導につける世相差の例と —— 電流計とストップウォッチによる方法
	33-3 鬼塚史朗	
	33-3 柿元 醇	自己誘導と相互誘導の実験
	33-3 笠 耐*	磁場の偏向によるβ粒子のエネルギー測定
	33-3 伊藤幸夫	図形と式との関連について電気抵抗の合成の場合
	33-3 矢野淳滋	電波実験器
	33-34 霜田光一	電磁誘導の新しいパラドックス
	33-2 中川隆之	パソコンを利用した電磁誘導の演示実験
	33-1 西条敏美	磁気振子による磁気力の逆二乗法則に関する簡単な生徒実験
		<b>――クーロンの実験(1785)の復原的方法――</b>
	33-14 染谷太郎	ローレンツ力と静電エネルギー
	33-19 金城啓一	超音波素子用発信器・受信増幅器について
	33-19 石黒浩三	電磁気的な力に関んして本誌に発表された最近のいくつかの論文を
	)) I) HMIL—	拝読して
1985	33-1 霜田光一	レーザーとエレクトロニクスによる物理教育
1984	32-4 矢野淳滋	ローレンツ力とホール効果
1904		Biot-Savart の法則の検証と電磁力のOHP実験
	32-3 山田盛夫	パーソナルコンピューターによるPN接合の動的表示教材
	32-3 大杉 功*	
	32-39 五十嵐靖則	ローレンツ力による電磁誘導現象の説明
		――ローレンツ力は真に仕事をしないのか?――
	32-2 染谷太郎	平行二直線間力の考察
	32-2 須藤喜久男	電磁誘導法則の科学史的検討
	32-24 須藤喜久男	磁束は磁石の運動に随伴するか
	32-2 福山 豊	フェライト磁石と音声信号を利用した演示実験
	32-2 柿元 醇	音の実験のための発振器の試作
	32-1 染谷太郎	線電流による電磁誘導現象
	32-14 五十嵐靖則	L. C. 並列回路共振演示実験
	32-19 金城啓一	磁界中を動く導体内にできるのは電界
1984	32-19 青野 修	ローレンツ力と電磁誘導
1983	31-4 前田健悟*	差動トランスによる線膨張の測定
	31-4 矢野淳滋	生徒用クーロン力実験器
	31-4 平山 修	一様な磁場の湧き口の運動によって生じる電場について
	31-4 大杉 功*	バーソナロソジュータ によるエネルギーバンドの動的表示教材
	31-4 安田 明	電気二重層コンデンサーの特性と利用
	31-34 青野 修	二つの直線電流が及ぼし合う力
	31-34 三門正吾	「電磁誘導法則実験器」の検出コイルの形状について
	31-34 安田 明	電気二重層コンデンサーの製作実験
	31-39 五十嵐靖則	電ス二単層コングングの設計大級ローレンツ力による電磁誘導現象の説明の混乱や誤解につい
	31-2 木下昭一*	小磁針をプローブとした電流のまわりの磁界の生徒実験
	71-7 小小哈一本	小磁列をプロープとした電視のよわりの磁作の主に失場 ――その実践と吟味――
	21 1 124 2日	
	31-1 勝木 渥	
	31-1 荒川泰二*	「等電位線の実験」の一方法
	31-1 大杉 功*	バソコンによるフェルミ・ディラック積分の計算とその応用
1983	31-14 染谷太郎	電磁誘導法則の解釈
1982	30-4 五十嵐靖則	生徒実験用「電磁誘導法則実験器」の開発
		――検出コイルの形状と起電力の直線性を廻って――
	30-4 藤島一満	ロジェーの跳躍子の設計
	30-4 津留俊介*	LEDを用いた光速度測定
	30-4 飯田修一	MKSP電磁気単位系の高校教育への導入——藤崎氏へのコメント
	30-4キ 鯖田秀樹	換算質量と電気抵抗
	30-49 山本宗一	MKSV単位系

```
歴史的見地によるクーロン法則指導の意義と実際
      30-3 西条敏美
         小島 勉*
                 教材用熱発電器の試作
      30-3
         千葉芳明
                 電磁作用による結合振子の共振
      30-3
         藤崎達雄
                 MKSP単位系と高校教育
      30-2
                 電磁誘導の法則の生徒用検証実験
          三門正吾
      30-2
                 相互誘導と電荷の加速度運動との関係について
      30-2
         須藤喜久男
1982
                 変形回路における磁気エネルギーについて
         染谷太郎
1981
      29-4
                 電子蚊取り器に使われている感温半導体の特性
      29-4
         安田節子*
                 電池とモーターを用いた高校物理実験
      29-3 片桐 泉
                 ー斉実験によるコンデンサの学習…―その実践と吟味―
      29-3 木下昭一*
      29-2 永宮健夫
                 磁件
      29-29 奥野 浩
                 電場の流体モデルについて
                 電磁気学の新単位系MKSP系による新しい電磁気学教育の
      29-2 飯田修一
                  実行方法に就いて
                 高校物理における「静電界の作図学習」その実践
      29-2 木下昭一*
                 一部の高等学校教科書「物理 🛭 」にある電磁波の伝搬速度の説明は
      29-2 山口重雄
                  正しいか
                 スタートのコントロールできる方形波の発振器
      29-1
         中込八郎
                 差動トランスを利用したヤング率の測定
         山下太利*
      29-1
         石川孝夫
                 電池とモーターから始める高校物理
      29-1
1981
                 等電位実験によるクーロンの法則の考察
         佐々木教夫
      28-4
1980
                 磁力線を図に描く実験(Ⅱ)
      28-3
         田中憲治*
                 個人学習法による物理授業の試み
      28-3
         深谷晃次
                 接点開閉式電波発振器
      28-2
         矢野淳滋
                 静電気メーターにおける静電誘導の過渡現象
      28-2 須藤喜久男
                 磁力線を図に描く実験(Ⅰ)
      28-1 田中憲治*
1980
                 高校用電磁石の改造
1979
      27-49 篠原省治
                 簡単な電気振動測定
      27-45 篠原省治
      27-45 平井司寸
                 誘電体の帯電列
                 てんびん法による電流磁界の実験
      27-3 山田盛夫
                 同心円電極を用いた等電位線実験(Ⅱ)
      27-3
         津留俊介*
                 クーロン法則探究過程における直接的方法と間接的方法
      27-2
         西条敏美
                 熱電流による電磁石の実験
1979
      27-2
         植村健一*
                 電磁作用による振り子の減衰振動と共振
      26-4
         千葉芳明
1978
                 平行導線を電磁波が伝わる機構の新しい説明
         霜田光一
      26-4
         竹山義雄*
                 種々の境界条件下における等電位線の実験
      26-3
                 同心円電極を用いた等電位線実験
      26-3
         津留俊介*
                 広い空隙をもつコンデンサーに流れる電流
      26-3
         吉岡明夫*
                 ダイオード温度計を用いた液体の比熱の測定
      26-2 西岡正泰*
         丸山宰佑
                 電子顕微鏡の原理と結晶学への応用
      26-2
                 光電流に生ずる屈折点からプランク定数を求める実験
      26-2
         進上芳雄
                 円形電流のつくる磁界の空間分布曲線の作図
      26-2
         西条斂美
                 振動双極子からどうして電波が放射されるか
      26-2
         霜田光一
                 トランジスター 増幅回路の周波数特性とパルスに対する応答
1978
      26-1
         楠原正子*
                 電流回路学習過程における問題点
         藤井 清*
1977
      25-4
                  ―形成的評価のためのCMIの活用例として―
      25-4
         霜田光一
                 ローレンツカの反作用
                 ローレンツカの反作用はどこにあるか?
         霜田光一
      25-3
                 電磁気の基本を発見的に学習する試案
      25-3 稲葉 正
      25-39 山田盛夫
                 \mu, \epsilon \epsilon \epsilon \epsilon \epsilon \epsilon \epsilon
                 帯電体の電気量の測定—相接する2球について-
      25-2 柿元 醇
                 電磁気学の新しい単位系と新しい考え方について
         飯田修一
      25-2
                 LED表示器とICを用いたユニバーサルカウンター
         山口雅之*
      25-2
                 中学3年生の「力」と「電流」について
      25-2 柏木聞吉
                 粒子モデルによる交流電流指導法
      25-29 石金益夫*
      25-1 那波信男*
                 エアトラックによる電磁制動の観測
                 導線を伝わる「信号の速さ」の測定
      25-1
         青木秀夫
                 電気力線の作図
      25-1
         石黒浩三
                 ―電気的双極子のまわりの電気力線の時間的変化の追跡
1977
                 電子運動モデル実験器の開発について
      24-4 嶋田 治*
1976
                 ―円板状小形フェライト磁石とエアテーブルを用いる二、三の実験
```

```
脈流電源と物理実験
         糠谷正行
      24-4
                 等電位線実験の一例―円筒まわりの理想流体の流れ―
      24-4
         新井洋二
                 水銀接点リレーを用いた過渡現象の実験
         赤沢 孝*
      24-4
                 導電性銅塗料とデジタルパラメーターを用いた等電位線実験
         新井洋二
      24 - 3
                 クルックス管の中で羽根車が回るわけ
      24 - 2
         矢野淳滋
                 トランジスタの実験
      24 - 1
         青木正義*
         青木秀夫
                 交流法による等電位線の測定
      24-1
         平田邦男
                 ቀ/□ 測定器用ヘルムホルツのコイルにおける電流と磁束密度との
      24-1
                  関係の実験的決定法について
                 電流天秤の試作と実験
      24 - 1
         石川徳治*
                 工学部低学年における物理実験テーマの改善 11 一半導体ダイオード
         大橋芳子*
      24-1
                 磁力線の効果的な観察法
1976
      24 - 1
         山田盛夫
1975
      23-4
         小松惠一
                 対向磁界を用いたe/m 測定
         篠原文陽児
                 カリキュラムと評価問題
      23-4
                 ―高等学校物理の粒子モテル によるオーム の法則の取り扱い―
      23-3
         近角聰信
                 最近の磁性研究と強磁場
                 初等電磁気学における「電流と磁界」の教授体系について
         平田邦男
      23-3
                 電解質溶液による電磁気現象
      23-3
         江口 保*
                 内部抵抗測定実験の試料としての電池
      23-3
         安藤
             潔
      23-2
         石黒浩三
                 ビオサバールの式に対する電束電流の寄与の考察
                 オヘアンプを用いたコンテンサーの実験―高校の物理のために―
      23-1
         柿元 醇
                 工学部低学年における物理実験テーマの改善 ]
         長田信夫*
      23-1
                   総論・固体の電気抵抗ー
1975
                 電束電流の磁気作用とビオサバールの法則
1974
      22-4
         石黒浩三
                 フォトトランジスターを利用した弦の自励振動装置
      22-4
         草鹿堅一
                 固体中の電子に働くローレンツ力の生徒実験
      22-3
         岡崎 正*
                   - 生徒の理解プロセスとその指導-
                 ICの物理実験への活用法
      22-3
         中込八郎
                 Biot Savart の法則の誘導法
      22-2
         山田盛夫
                 静電誘導型火花発振器
      22-2
         矢野淳滋
         進上芳雄
                 電子線回折管とその応用
      22-2
                 ICを利用したスパーク・タイマーの自作
      22-2
         那波信男
         福井常勝
                 平行電子線間の力
      22-1
         石黒浩三
1974
      22-1
                 交流がつくる電場の検出
         森田一郎*
                 電子の速度、比電荷の測定と相対論的な影響について
      21-4
1973
                 金属のホール効果による電子の流動速度測定
         矢野淳滋
      21-4
                 平行電流間の力
      21-4
         山田盛夫
                 ローレンツ力の導入法に関する一つの試み
      21-3
         石黒浩三
                 SMDを使った磁束計の試作とその利用
      21-2
         海鋒修二
                 記録ミリボルト計による平行平板コンデンサーの実験
         霜田光一
      21-2
                 記録(電圧)計を使用したコンデンサーの実験
      21-2
         藤田喜一*
         矢野淳滋
                 記録計を用いた誘導起電力の測定
      21-2
                 電磁誘導を利用したエア・トラックの記録装置
      21-2
         田中文男
         進上芳雄
                 電子線回折管の試作とその応用
      21-1
                 周波数連続可変の電磁石の製作と活用法
1973
      21 - 1
         中込八郎
                 電気素量の測定実験につい
      20-4
         中込八郎*
1972
      20-3
                 電気伝導について
         今井 勇
                 飛行時間法による電子の比電荷の測定
      20-3
         霜田光--
      20-2
         森田一郎*
                 電子の比電荷測定
                 交流によるJoule熱の考察
         山田盛夫
      20-2
                 探究の課程をとり入れた電気振動の指導
      20-2 藤田喜一*
                 電磁誘導の説明の混乱や誤解について
1972
      20-1
         霜田光一
                 フレミングの法則とローレンツ力の一指導法
      19-29 伊藤甕雄
1971
                 コンデンサーに蓄えられるエネルギーの測定
1970
      18-3 永川堯久
                 フレミングの法則について
      18-29 堀田昌邦
                 ローレンツ力の指導について
      18-29 大川吉昭
                 高校前段階としての電流の指導についての考察
         国分昌彦
1970
      18-1
      17-2
1969
         那波信男
                 電流天秤の改良
                 電流の自由電子モデルについて
      17-29 山田盛夫
                 力線による場の指導法の問題点
      17-29 柏木聞吉
                 力線による場の指導について
      17-29 藤崎達雄
```

```
17-1 小田切理文 油滴実験とその教育的方法についての研究
1969
                 コンデンサ実験上の留意点
1968
      16-2 林 禎
      16-1 中込八郎
                 電気力線を示す実験
1968
          須藤喜久男
                 交流記録タイマーについて
      16-1
                 電磁法則と相対性原理
1967
      15-4
          藤崎達雄
      15-4
          宮下敬司
                 PSSCのミリカンの実験装置を使用してみて
      15-1
          花崎文一
                 磁束測定器
          藤崎達雄
                 CAS単位系の提唱
1967
      15-1
          後藤道夫
                  ミリカンの実験
1966
      14-4
      14-3
          黒田芳郎
                 コンデンサーの実験
                 磁気コロイドによる磁区の観察
         伊藤信隆*
      14-2
      14-2
         林
           禎
                 2.5 級の交流電圧計の周波数特性について
1966
      14-2
         林禎
                 高校物理におけるインピーダンスの取扱いについて
1965
      13-3
          後藤道夫
                 半導体のモデルと実験
      13-2
         鈴木 皇
                 電気天秤
          中込八郎
                 コイルを流れる電流について
      13-2
                 MKSA有理系について
      13-2
          藤崎達雄
      13-2
         藤崎達雄
                 MKSA研究会報告
                 基礎教育における電磁気学に関する二、三の問題
1965
      13-1
          荒川泰二
1964
          橘高知義
                 イオン泳動による電気力線
      12-1
          堀田昌邦*
                 ブラウン管利用による電子の比電荷測定
1964
      12-1
1963
      11-3
          矢野淳滋
                 高圧電源を用いた二、三の実験
      11-3
         越後宰男
                 コンデンサーについての生徒実験
      11-3
                 電気容量の測定
          長谷川次郎
      11-3
          堀田昌邦
                 一様な電界中におかれた帯電球に働く力の測定
      11-2
          岩田一雄
                 m.k.s.A 有理単位系について
          越後宰男
                 大型コイルの製作とその効用について
      11-2
                 ダイオードの電圧対電流特性直視実験
      11-2
         長谷川 忍
      11-1 唐木 宏
                 初等電磁気学習における場の扱いについて
      11-1 井戸川功雄
                 電磁気学における漏洩Gおよび抵抗R(電信方程式中の)の
                   力学との対応について
1963
      11-1 長谷川 忍
                 トランジスタの基礎実験
                 電子の比電荷の測定一同調指示管内の電界分布一
1962
      10-3 金代五郎
      10-2 糠谷正行
                 ゴム磁石の利用および磁界を示す実験
      10-27 花崎文一
                 導体内の電流を電子の移動と考えると電界質内の電流は導体内の
                   倍になるか?
                 コンデンサーの実験
      10-27 黒田芳郎
      10-1 吉本 市
                 PSSCにおける原子電子の扱いと高校物理教育における問題
                 新しい物理実験 電気的な音響実験について
      10-1 芳本利次
      10-1 熊谷寛夫
                 電磁気学と大学・高校の物理教育について
                 2極管にかける電圧について
1962
      10-17 中込八郎
       9-2 中谷雄治
                 Battery の自動充電方式の考案と研究
1961
       9-2 中谷雄治
                 バッテリーの充電における電解液の温度自動制御装置の試作
                 極超短波の高校物理実験への応用、その簡易実験装置の試作研究
       9-1
          安藤 章
          平田邦男
                 交流の実効値に関する実験
       9-1
1961
      9-1
                 簡単なセレン光電池の作り方と実験法
          後藤道夫
1960
       8-3
         糠谷正行
                 三相交流および回転磁界の説明実験具
       8-2 中込八郎
                 直流電源について
                 オームの法則の実験指導とその考察
       8-2
         藤田喜一
          菊池 誠
                 トランジスタの理論と応用
1960
       8-1
1959
       7-3 石川孝夫
                 可変定電圧電源
      7-3 黒田芳郎
                 L-C Circuit における Electromagnetic Wave Resonance の実験
                 Electron Tube を用いた Digital Circuit について
      7-2 徳広龍男*
1959
      7-2 加藤史郎
                 三相変相器による三相交流の実験
                 Thyraton Pulse Generator による電気振動実験装置について
1958
      6-2 黒田芳郎
                 電波の性質を見せる教師実験について
         篠原省治
1958
      6-2
1957
      5-2
         篠原省治
                   つの教師実験―水波の干渉と電界を見せる実験について
      4-19 多田芳郎
                 「電気分解の法則」の説明方法について
1956
                 水位と電位
1955
      3-37 花崎文一
                 簡単な電気の実験
      2-2 石田美雄
1954
1953
      1-2
         金山広吉
                 廃真空管でできる実験
```

### 電磁気学通信討論資料集

1986年3月28日 発行

発 行 日本物理教育学会 東京都小石川郵便局 私書箱29号

印 刷 日本情報プリントセンター